

ESAME : 2 PARTI

PARTE A → esercizi, 1 ora e mezza, divise in due durante
 ≥ 18 le lezioni entrambe in novembre

PARTE B → teoria, pre-appello a dicembre (forse), 4 domande scritte
 ≥ 18 da 8 punti l'una

MANIPOLATORE

/ROBOT INDUSTRIALE → strutture meccaniche per trasportare materiali

↳ multifunzionale → può eseguire varie funzioni

↳ reprogrammabile → anche con lo stesso utensile

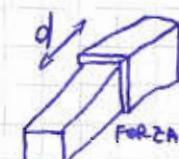
strumento il più flessibile possibile.

MANIPOLATORE → organo meccanico costituito da bracci interconnessi tra loro

GIUNTI → connessioni tra i bracci; divisi in due categorie:

- ROTOIDALI → i bracci si muovono grazie all'asse di rotazione; il movimento è caratterizzato dallo spostamento angolare dello ANGOLO DI GIUNTO & ad esempio le braccia.

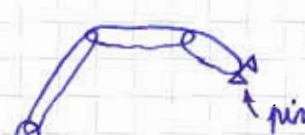
- PRISMATICI → movimento traslatorio; caratterizzato da un OFFSET



DI GIUNTO I.

Ad esempio la gru.

ROBOT A CATENA CINEMATICA APERTA → i bracci sono consecutivi



Più usati, più semplici

ROBOT A CATENA CINEMATICA CHIUSA → i bracci formano degli anelli



Più precisi

GRADI DI LIBERTÀ DI UN MANIPOLATORE → numero di movimenti indipendenti che i giunti del manipolatore possono compiere.

6 bracci consecutivi \rightarrow 6 gradi di libertà

POSIZIONAMENTO DEL MANIPOLATORE

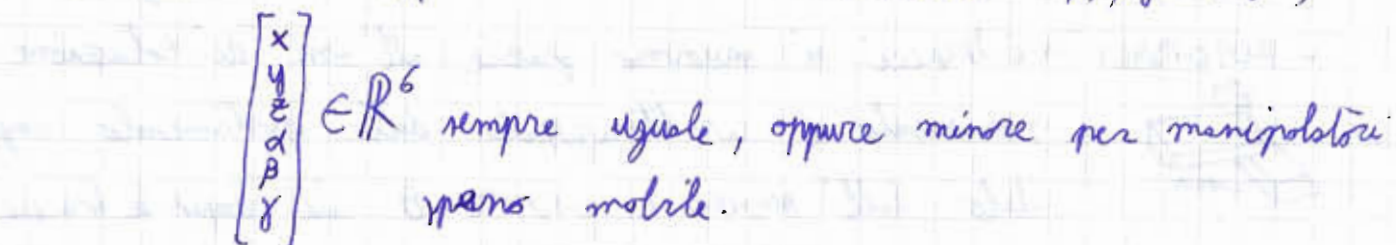
- CON ANGOLI \rightarrow li colleziono in un vettore che rappresenta il punto nel cosiddetto SPAZIO DEI GIUNTI, che caratterizza la



Le 6 giunti, 6 variabili q , o angoli o offset. Lo spazio dei giunti ha le dimensioni dei gradi di libertà:

$$\bar{q} = \begin{bmatrix} q_1 \\ q_2 \\ q_3 \\ q_4 \\ q_5 \\ q_6 \end{bmatrix} \in \mathbb{R}^6$$

- SPAZIO OPERATIVO \rightarrow più limitata, descrive solo la posizione dell'oggetto utile, che è quello che fa il lavoro e guida interno. Coordinate cartesiane x, y, z ma anche informazioni di orientamento α, β, γ (angoli)



Problemi \rightarrow relazioni tra i due spazi.



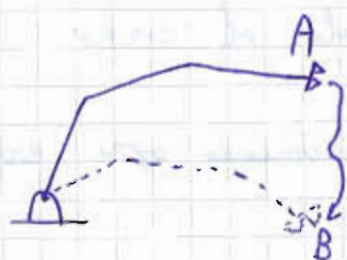
Il resto del corso verte sul problema della CINEMATICA DIFFERENZIALE DIRETTA e CINEMATICA DIFFERENZIALE INVERSA, che tratta le velocità di movimento dei giunti e dell'utile.

Poi problemi sulla DINAMICA (diretta e inversa) DEI MANIPOLATORI, ovvero come possiamo mettere in movimento i corpi con FORZE, che trascano il corpo, e COPPIE, che ruotano il corpo.

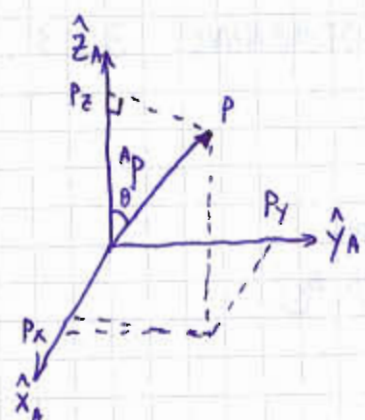
TORQUE = COPPIA

DINAMICA INVERSA \rightarrow dato il vettore \vec{q} , la velocità $\dot{\vec{q}}$ e la accelerazione $\ddot{\vec{q}}$, ricavare il vettore delle forze $\vec{\Sigma}$ (o coppie)

DINAMICA DIRETTA \rightarrow dato le posizioni iniziali del manipolatore \vec{q}_0 , la sua velocità iniziale $\dot{\vec{q}}_0$ e la legge della forza $\vec{x}(t)$, ricavare posizione $\vec{q}(t)$, velocità $\dot{\vec{q}}(t)$ e accelerazione $\ddot{\vec{q}}(t)$ del manipolatore a ogni istante.



PIANIFICAZIONE
DI TRAIETTORIE \Rightarrow percorso a cui dico a che
(non percorso) istante di tempo toccherò i vari
punti del percorso $\begin{cases} x = x(t) \\ y = y(t) \end{cases}$



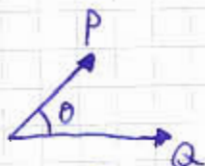
$${}^A P \equiv \begin{bmatrix} P_x \\ P_y \\ P_z \end{bmatrix}$$

$\begin{array}{c} \hat{x}_A, \hat{y}_A, \hat{z}_A \\ \text{versori} \end{array} \rightarrow$ TERNA DI RIFERIMENTO $\{A\}$
versori \rightarrow vettori a modulo unitario

I versori sono disposti secondo la regola LEVOGIRA (regole mano destra)



Come calcolare ${}^P Q$? Rispolvero il concetto di prodotto scalare tra due vettori:



$$P \equiv \begin{bmatrix} P_x \\ P_y \\ P_z \end{bmatrix} \quad Q \equiv \begin{bmatrix} Q_x \\ Q_y \\ Q_z \end{bmatrix}$$

$$P \cdot Q = \|P\| \cdot \|Q\| \cdot \cos \theta = P^T \cdot Q =$$

$$= \begin{bmatrix} P_x & P_y & P_z \end{bmatrix} \cdot \begin{bmatrix} Q_x \\ Q_y \\ Q_z \end{bmatrix} = P_x Q_x + P_y Q_y + P_z Q_z$$

terna di riferimento

$${}^A Z_A = \begin{bmatrix} 0 \\ 0 \\ 1 \end{bmatrix}$$

$$\|{}^A Z_A\| = 1 \quad (\text{è un versore})$$

$$P_z = \|{}^A P\| \cdot \cos \theta$$

angolo
compresso

$$P_z = \|{}^A Z_A\| \cdot \|{}^A P\| \cdot \cos \theta = \frac{{}^A P \cdot {}^A Z_A}{\|{}^A Z_A\|}$$

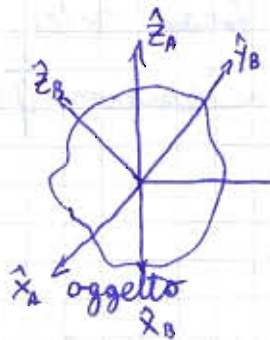
$$\begin{aligned} P_x &= {}^A P \cdot {}^A \hat{x}_A \\ P_y &= {}^A P \cdot {}^A \hat{y}_A \\ P_z &= {}^A P \cdot {}^A \hat{z}_A \end{aligned}$$

$${}^A P \cdot {}^A Q = {}^B P \cdot {}^B Q$$

per definizione

vettori descritti
rispetto a basi
differenti

ORIENTAMENTO



1) fisso una terna di riferimento immobile A

2) fisso una seconda terna B fissata al corpo

3) esprimo l'orientamento di B rispetto ad A, esprimendo ogni vettore di B e lo esprimo rispetto ad A:

$$\left[{}^A \hat{x}_B ; {}^A \hat{y}_B ; {}^A \hat{z}_B \right] = {}_B^A R = \text{MATRICE DI ROTAZIONE } 3 \times 3$$

$${}_B^A R = \begin{bmatrix} {}^A \hat{x}_B & {}^A \hat{y}_B & {}^A \hat{z}_B \\ {}^A \hat{x}_A & {}^A \hat{y}_A & {}^A \hat{z}_A \\ {}^A \hat{y}_A & {}^A \hat{z}_A & {}^A \hat{x}_A \\ {}^A \hat{z}_A & {}^A \hat{x}_A & {}^A \hat{y}_A \end{bmatrix} \quad \begin{array}{l} \text{non specifica la} \\ \text{terna di descrizione} \\ \text{tanto } {}^A P \cdot {}^A Q = {}^B P \cdot {}^B Q \end{array}$$

Matrice di rotazione che descrive l'orientamento di B rispetto ad A.

$${}_A^B R = \left[{}^B \hat{x}_A ; {}^B \hat{y}_A ; {}^B \hat{z}_A \right] = \left[{}^A \hat{x}_B ; {}^A \hat{y}_B ; {}^A \hat{z}_B \right] = {}_A^B R^T$$

$${}_B^A R^{-1} = {}_A^B R^T \quad \text{dimostrazione:}$$

$${}_B^A R^T \cdot {}_B^A R = Id$$

$$\begin{bmatrix} {}^A \hat{x}_B \\ {}^A \hat{y}_B \\ {}^A \hat{z}_B \end{bmatrix} \cdot \begin{bmatrix} {}^A \hat{x}_A & {}^A \hat{y}_A & {}^A \hat{z}_A \\ {}^A \hat{y}_A & {}^A \hat{z}_A & {}^A \hat{x}_A \\ {}^A \hat{z}_A & {}^A \hat{x}_A & {}^A \hat{y}_A \end{bmatrix} = \begin{bmatrix} {}^A \hat{x}_B \cdot {}^A \hat{x}_A & {}^A \hat{x}_B \cdot {}^A \hat{y}_A & {}^A \hat{x}_B \cdot {}^A \hat{z}_A \\ {}^A \hat{y}_B \cdot {}^A \hat{x}_A & {}^A \hat{y}_B \cdot {}^A \hat{y}_A & {}^A \hat{y}_B \cdot {}^A \hat{z}_A \\ {}^A \hat{z}_B \cdot {}^A \hat{x}_A & {}^A \hat{z}_B \cdot {}^A \hat{y}_A & {}^A \hat{z}_B \cdot {}^A \hat{z}_A \end{bmatrix} =$$

$${}^A \hat{x}_B \cdot {}^A \hat{x}_A = \| {}^A \hat{x}_B \| \cdot \| {}^A \hat{x}_A \| \cdot \cos \theta$$

$$= \begin{bmatrix} 1 & 0 & 0 \\ 0 & 1 & 0 \\ 0 & 0 & 1 \end{bmatrix}$$

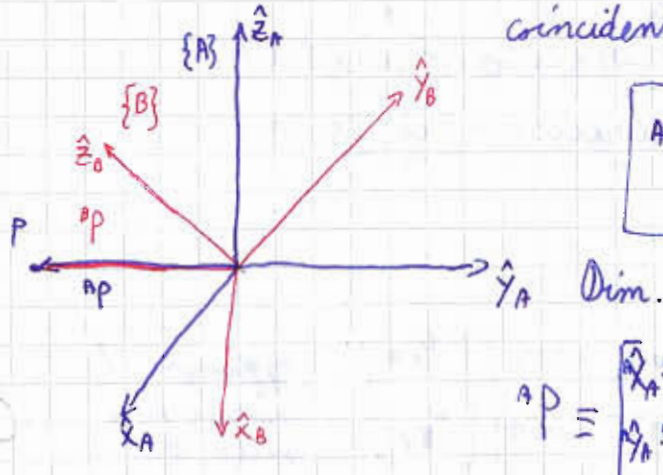


30/9/09

E' possibile fare operazioni tra vettori solo se questi sono descritti rispetto alla stessa Terra.

USI DELLA MATRICE DI ROTAZIONE

- Cambio di descrizione di un punto rispetto a due terne con origine coincidente:



$${}^A P = {}^B R \cdot {}^B P$$

Dim.

$${}^A P = \begin{bmatrix} \hat{x}_A \cdot P \\ \hat{y}_A \cdot P \\ \hat{z}_A \cdot P \end{bmatrix} = \begin{bmatrix} {}^A \hat{x}_A^T \cdot {}^A P \\ {}^A \hat{y}_A^T \cdot {}^A P \\ {}^A \hat{z}_A^T \cdot {}^A P \end{bmatrix} = \begin{bmatrix} {}^B \hat{x}_A^T \cdot {}^B P \\ {}^B \hat{y}_A^T \cdot {}^B P \\ {}^B \hat{z}_A^T \cdot {}^B P \end{bmatrix} = \begin{bmatrix} {}^B \hat{x}_A^T \\ {}^B \hat{y}_A^T \\ {}^B \hat{z}_A^T \end{bmatrix} \cdot {}^B P$$

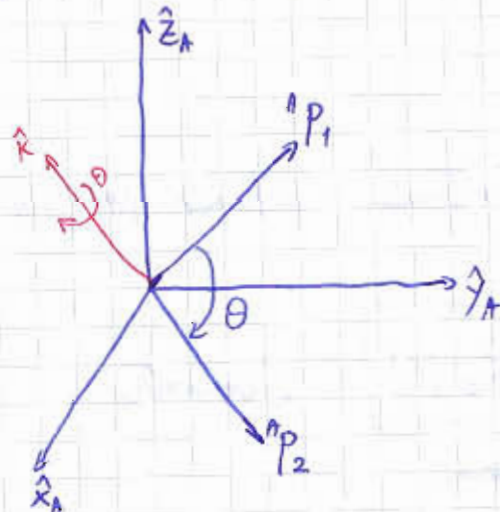
proprietà

matrice 3×3

$$={}^B R^T \cdot {}^B P = {}^A R \cdot {}^A P$$

↑ matrice di rotazione

- Rotazione di vettori

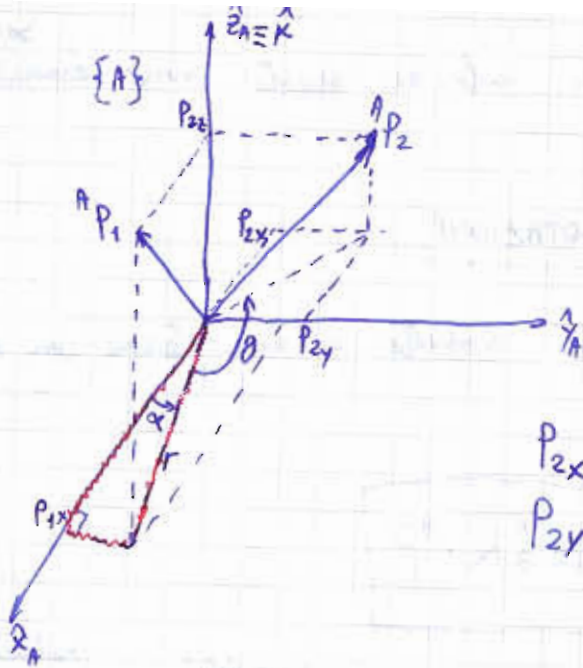


Vogliamo ruotare ${}^A P_1$ rispetto all'asse \hat{z} di un angolo θ .

$${}^A P_2 = R_z(\theta) \cdot {}^A P_1$$

↑ operatore di rotazione

Ricavo la matrice di rotazione considerando \hat{z} come asse di rotazione (più semplice da dimostrare)



$${}^A P_2 = R_z(\theta) {}^A P_1$$

$$P_{2z} = P_{1z}$$

$$P_{1x} = r \cdot \cos \alpha$$

$P_{2x} = r \cdot \cos(\alpha + \theta)$ non dimostrato

$$P_{1y} = r \cdot \sin \alpha$$

$$P_{2y} = r \cdot \sin(\alpha + \theta)$$

$$P_{2x} = [r \cos \alpha \cos \theta - r \sin \alpha \sin \theta]$$

$$P_{2y} = [r \sin \alpha \cos \theta + r \cos \alpha \sin \theta]$$

$$P_{2x} = P_{1x} \cos \theta - P_{1y} \sin \theta$$

$$P_{2y} = P_{1x} \sin \theta + P_{1y} \cos \theta$$

$$\begin{bmatrix} P_{2x} \\ P_{2y} \end{bmatrix} = \begin{bmatrix} \cos \theta & -\sin \theta \\ \sin \theta & \cos \theta \end{bmatrix} \begin{bmatrix} P_{1x} \\ P_{1y} \end{bmatrix}$$

aggiungo le informazioni nulli \mathbf{z}

$$\begin{bmatrix} P_{2x} \\ P_{2y} \\ P_{2z} \end{bmatrix} = \begin{bmatrix} \cos \theta & -\sin \theta & 0 \\ \sin \theta & \cos \theta & 0 \\ 0 & 0 & 1 \end{bmatrix} \begin{bmatrix} P_{1x} \\ P_{1y} \\ P_{1z} \end{bmatrix}$$

$${}^A P_2 = R_z(\theta) {}^A P_1$$

$$\hat{z}_A = \hat{z}_B$$

$\{B\}$ è ottenuta ruotando $\{A\}$ rispetto a \mathbf{z} .

$${}^A_B R = R_z(\theta)$$

Dimostra:

come prima

$${}^A_B R = \begin{bmatrix} {}^A X_B & {}^A Y_B & {}^A Z_B \end{bmatrix} = \begin{bmatrix} R_z(\theta) {}^A X_A & R_z(\theta) {}^A Y_A & R_z(\theta) {}^A Z_A \end{bmatrix} =$$

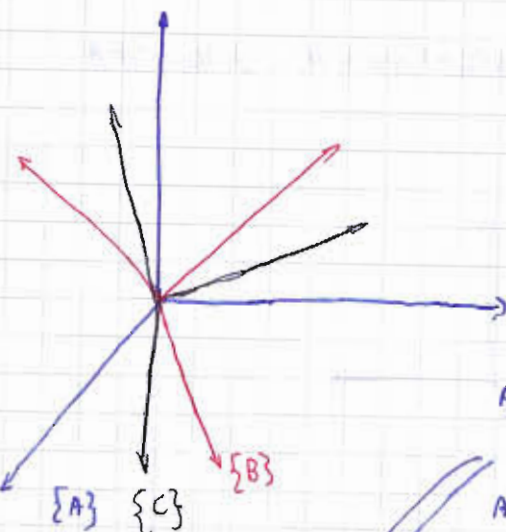
$$= R_z(\theta) \cdot \begin{bmatrix} {}^A X_A & {}^A Y_A & {}^A Z_A \end{bmatrix} = R_z(\theta) \cdot \begin{bmatrix} 1 & 0 & 0 \\ 0 & 1 & 0 \\ 0 & 0 & 1 \end{bmatrix} = R_z(\theta) \otimes I_d$$

• Descrivere una terna rispetto a un'altra.

$$R_x(\theta) = \begin{bmatrix} 1 & 0 & 0 \\ 0 & \cos\theta & -\sin\theta \\ 0 & \sin\theta & \cos\theta \end{bmatrix}$$

$$R_y(\theta) = \begin{bmatrix} \cos\theta & 0 & \sin\theta \\ 0 & 1 & 0 \\ -\sin\theta & 0 & \cos\theta \end{bmatrix}$$

$$R_z(\theta) = \begin{bmatrix} \cos\theta & -\sin\theta & 0 \\ \sin\theta & \cos\theta & 0 \\ 0 & 0 & 1 \end{bmatrix}$$



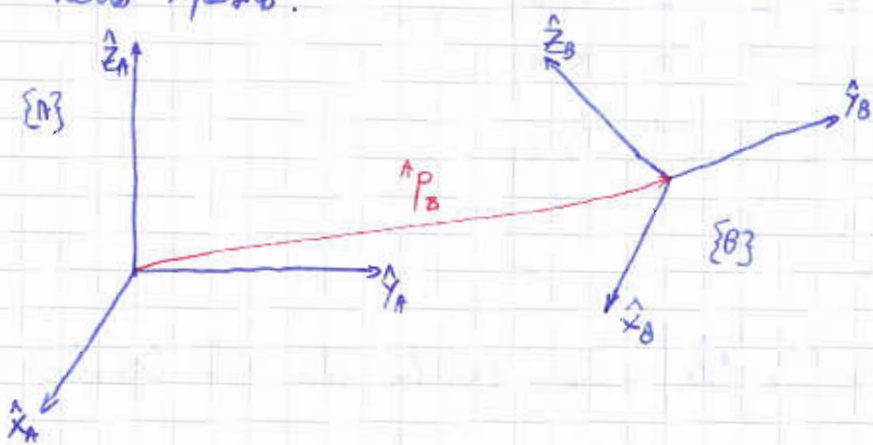
Dati:

$$\begin{array}{l} {}^A R \text{ e } {}^B R \\ \downarrow \quad \downarrow \\ {}^C R ? \end{array}$$

$$\begin{array}{l} {}^A P = {}^A R \cdot {}^C P \\ {}^A P = {}^B R \cdot {}^B P \end{array}$$

$$\boxed{{}^A R = {}^B R \cdot {}^C R}$$

Finora abbiamo parlato di terne coincidenti. Passiamo ora a parlare di terne nello spazio.



${}^A R \rightarrow$ matrice di rotazione
 ${}^A P_B \rightarrow$ vettore che unisce le due origini

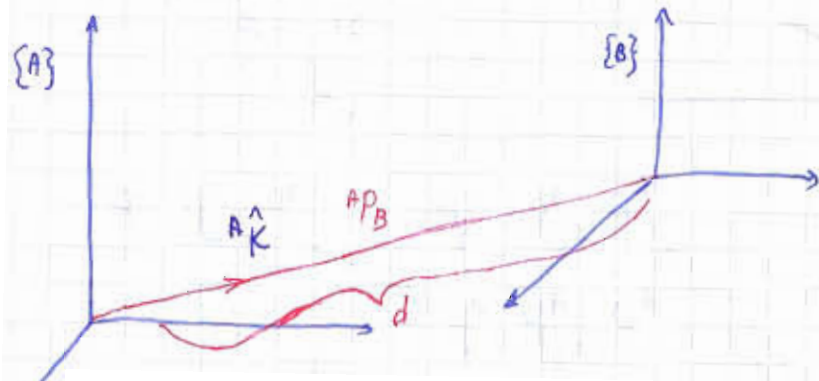
descrivono la terna B rispetto alle A

${}^A R \cdot {}^A P_B$ li posso unire per ottenere la MATRICE DI TRASFORMAZIONE OMogenea che descrive la terna B rispetto alla terna A.

$${}^A_B T = \begin{bmatrix} {}^A_B R & {}^A_B P_B \\ 0 & 1 \end{bmatrix}_{4 \times 4}$$

USO DELLA MATRICE DI TRASFORMAZIONE OMOGENEA

- traslazione di una terna



$${}^A_B P_B = {}^A_K d$$

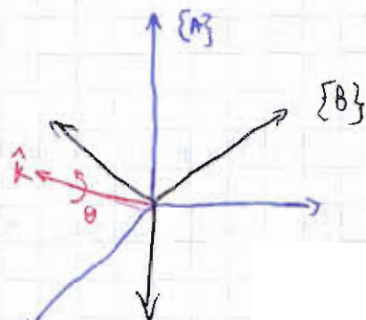
$${}^A_B P_B = \begin{bmatrix} K_x d \\ K_y d \\ K_z d \end{bmatrix}$$

$${}^A_K = \begin{bmatrix} K_x \\ K_y \\ K_z \end{bmatrix}$$

$${}^A_B T = T_K(d) = \begin{bmatrix} 1 & 0 & 0 & | & K_x d \\ 0 & 1 & 0 & | & K_y d \\ 0 & 0 & -1 & | & K_z d \\ 0 & 0 & 0 & | & 1 \end{bmatrix}$$

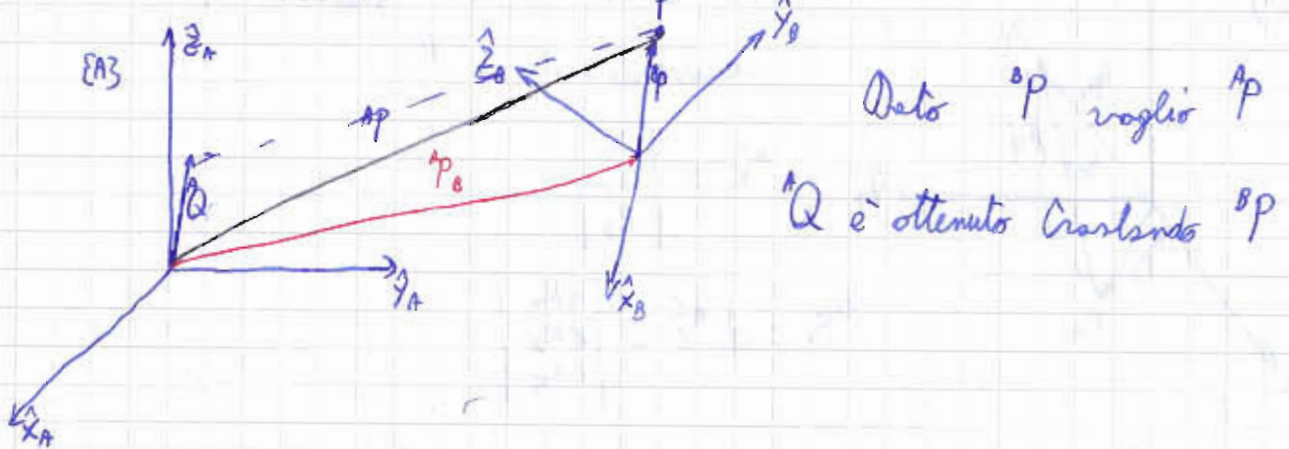
$${}^A_B R = \begin{bmatrix} {}^A_X_B & | & {}^A_Y_B & | & {}^A_Z_B \end{bmatrix} = \begin{bmatrix} {}^A_X_A & | & {}^A_Y_A & | & {}^A_Z_A \end{bmatrix} = I_4 \text{ perché ho solo traslato la terna}$$

- rotazione di una terna rispetto a un asse K



$${}^A_B T = T_K(\theta) = \begin{bmatrix} R_K(\theta) & | & 0 \\ 0 & | & 0 \\ 0 & | & 1 \end{bmatrix} \quad \text{origine coincidente}$$

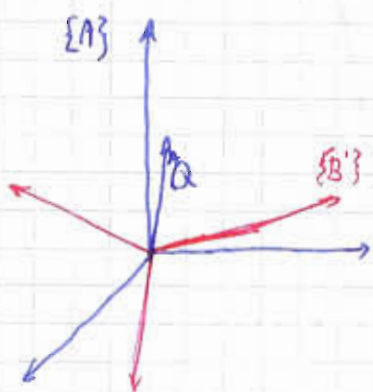
• espressione di un punto rispetto a un'altra linea



$${}^A P = {}^A Q + {}^A P_B$$

\uparrow dato

Pere capire quanto vale ${}^B P$ traslo $\{B\}$ sopra ad $\{A\}$



$${}^A Q = {}_0 R {}^B P$$

$${}^A R = {}_0 R \text{ perché } B' \text{ è pura traslazione di } B$$

$${}^A Q = {}_0 R \cdot {}^B P$$

${}^B P = {}^B P$ perché vettore e linea sono ottenuti per traslazione

$${}^A Q = {}_0 R \cdot {}^B P \Rightarrow$$

$$\boxed{{}^A P = {}_0 R \cdot {}^B P + {}^A P_0}$$

\uparrow NOTO \uparrow NOTO

formulas non omogenee
non mi piace

Ridefinisco il vettore di posizione

$${}^A \bar{P} = \begin{bmatrix} {}^A P \\ \vdots \\ 1 \end{bmatrix} \quad {}^B \bar{P} = \begin{bmatrix} {}^B P \\ \vdots \\ 1 \end{bmatrix}$$

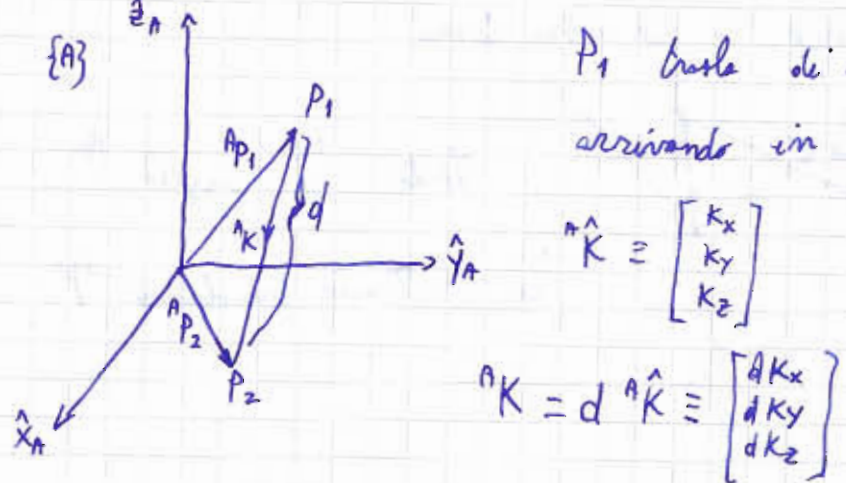
$${}^A T \cdot {}^B \bar{P} = \begin{bmatrix} {}^A R & | {}^A P_0 \\ {}_0 R & | \vdots \\ 0 & \ddots & | & 1 \end{bmatrix} \cdot \begin{bmatrix} {}^B P \\ \vdots \\ 1 \end{bmatrix} = \begin{bmatrix} {}^A R \cdot {}^B P + {}^A P_0 \\ \vdots \\ 1 \end{bmatrix} = {}^A \bar{P} \quad \square$$

le considero 2×2

$$\boxed{{}^A \bar{P} = {}_B T \cdot {}^B \bar{P}}$$

In questo caso sto usando un operatore omogeneo
 \Rightarrow OK

Successivamente ${}^B P = {}^A \bar{P}$: se lo moltiplico per una matrice 3×3 , finirà con 1.



$^B P_2 = ^A P_1 + ^A K$ operatore non omogeneo; voglio un operatore omogeneo.

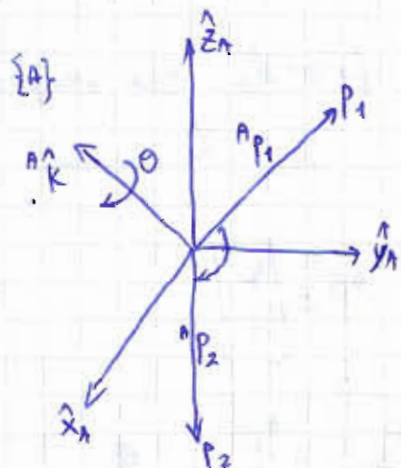
Idea: matrice di trasformazione omogenea

$$^A P_2 = \underbrace{\begin{bmatrix} I_3 & ^A K \\ 0 & 1 \end{bmatrix}}_{T_K(d)} \cdot \begin{bmatrix} ^A P_1 \\ 1 \end{bmatrix} = \begin{bmatrix} ^A P_1 + ^A K \\ 1 \end{bmatrix} = \begin{bmatrix} ^B P_2 \\ 1 \end{bmatrix}$$

$$^B P_2 = T_K(d) \cdot ^A P_1$$

Traslazione di un vettore

• Rotazione di vettore

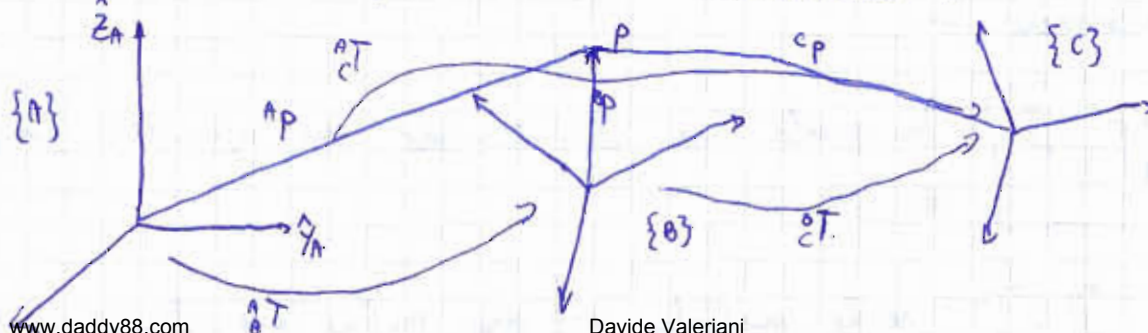


Con le matrici di rotazione, $^B P_2 = R_K(\theta) \cdot ^A P_1$

Con la matrice di trasformazione:

$$\underbrace{\begin{bmatrix} R_K(\theta) & 0 \\ 0 & 1 \end{bmatrix}}_{T_K(\theta)} \begin{bmatrix} ^A P_1 \\ 1 \end{bmatrix} = \begin{bmatrix} ^B P_2 \\ 1 \end{bmatrix}$$

COMPOSIZIONI DI TRASFORMAZIONI



Conosco ${}^A T$, matrice di trasformazione omogenea che descrive la terna B rispetto alla terna A , e la ${}^B C T$. Quanto vale ${}^C T$? Prendo un punto P e lo descrivo rispetto alle tre terne.

$$\begin{aligned} {}^A P &= {}^A T \cdot {}^C P \\ {}^B P &= {}^B T \cdot {}^C P \\ {}^C P &= {}^C T \cdot {}^B P \end{aligned} \quad \Rightarrow \quad {}^A P = {}^A T \cdot {}^B T \cdot {}^C P$$

${}^A T = {}^B T \cdot {}^C T$ come que le matrici di rotazione

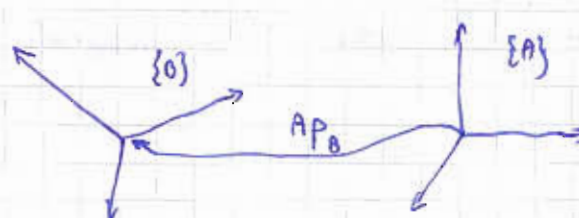
Conosco ${}^B T = \begin{bmatrix} {}^A R & {}^A P_B \\ 0 & 1 \end{bmatrix}$ e voglio sapere ${}^A T = \begin{bmatrix} {}^B R & {}^B P_A \\ 0 & 1 \end{bmatrix}$

$${}^B T \cdot {}^A T = {}^A T = I_d \quad \Rightarrow \quad {}^B T = ({}^A T)^{-1}$$

come appena visto

Con le matrici di rotazione, ${}^B R^{-1} = {}^B R^T$, ora non vale

$${}^B T = \underbrace{\begin{bmatrix} {}^B R^T & {}^B R^T \cdot {}^A P_B \\ 0 & 1 \end{bmatrix}}_{\dots}$$



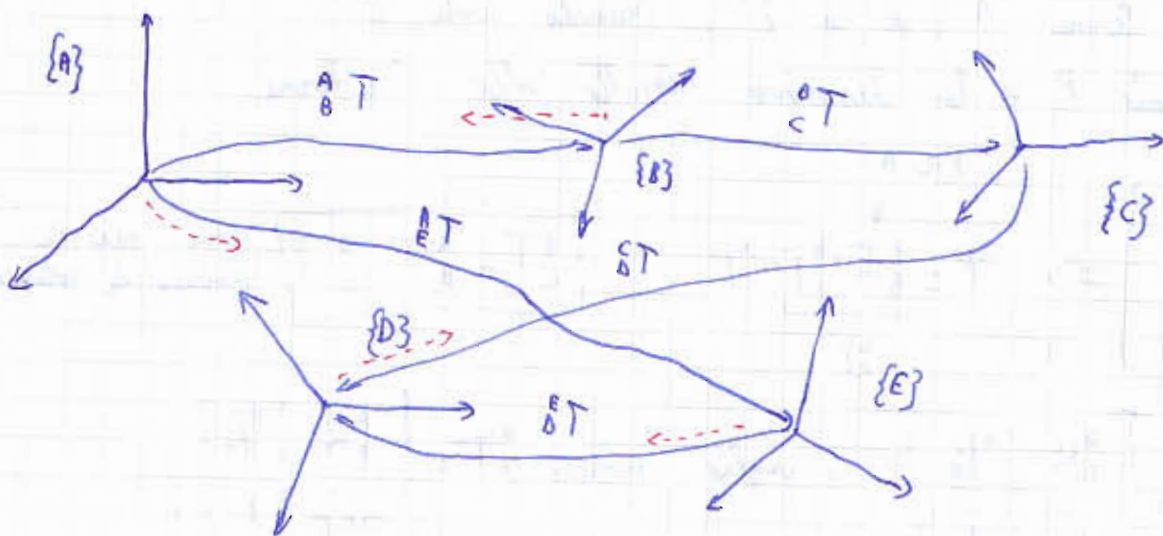
${}^A P_B$ descrive l'origine di B rispetto alla terna A .

${}^B T \cdot {}^A P_B$ descrive l'origine di B rispetto alla terna B , cioè è 0.

$${}^B T \cdot {}^A P_B = \begin{bmatrix} 0 \\ 0 \\ 0 \\ 1 \end{bmatrix} = \begin{bmatrix} {}^B R & {}^B P_B \\ 0 & 1 \end{bmatrix} \cdot \begin{bmatrix} {}^A P_B \\ 1 \end{bmatrix} \Rightarrow {}^B R {}^A P_B + {}^B P_B = 0 \quad {}^B P_B = -{}^B R {}^A P_B$$

$${}^B P_B = -{}^B R^T \cdot {}^A P_B$$

EQUAZIONI DI TRASFORMAZIONE



$${}^A T = {}^A T {}^E T \quad \text{oppure} \quad {}^A T = {}^A T {}^B T {}^C T {}^G T \quad \text{ignorando attergo}$$

$${}^A T {}^E T = {}^A T {}^B T {}^C T {}^G T$$

Suppongo di non conoscere ${}^G T$ e di volerlo ricavare

$${}^B T^{-1} {}^A T {}^E T {}^G T^{-1} = \underbrace{{}^B T^{-1} {}^A T}_\text{Id} \underbrace{{}^B T {}^C T {}^G T}_\text{Id} {}^C T {}^G T^{-1}$$

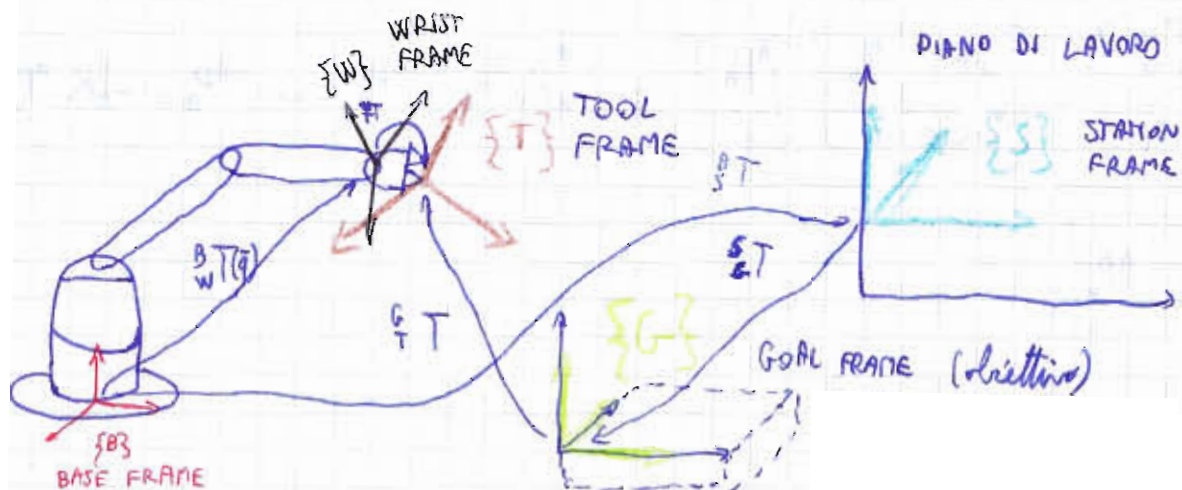
non cambiare l'ordine dei prodotti

Metodo più pratico: percorro il grafo delle code dell'incognita:

- frecce opposte \rightarrow matrice inversa

- frecce concorde \rightarrow matrice normale

fino ad arrivare alle punte delle frecce



Di solito, conoscere ${}^S T$, ${}^G T$, ${}^W T(\bar{q})$, ${}^W T$
 = dipende dalla posizione dei punti.

L'incognita è di solito ${}^G T$.

$${}^G T = ({}^S T)^{-1} ({}^G S T)^{-1} {}^W T(\bar{q}) {}^W T$$

NOTAZIONI MINIME DELL'ORIENTAMENTO

$${}^B R = [{}^A \hat{x}_B; {}^A \hat{y}_B; {}^A \hat{z}_B] = \begin{bmatrix} r_{11} & r_{12} & r_{13} \\ r_{21} & r_{22} & r_{23} \\ r_{31} & r_{32} & r_{33} \end{bmatrix}$$

ridondante $\cancel{\text{di}} \quad \text{ma nella prima lezione eravamo detto che bastavano 3 elementi (angoli) per descrivere l'orientamento}$

$$\|{}^A \hat{x}_B\| = 1$$

$$\|{}^A \hat{y}_B\| = 1$$

$$\|{}^A \hat{z}_B\| = 1$$

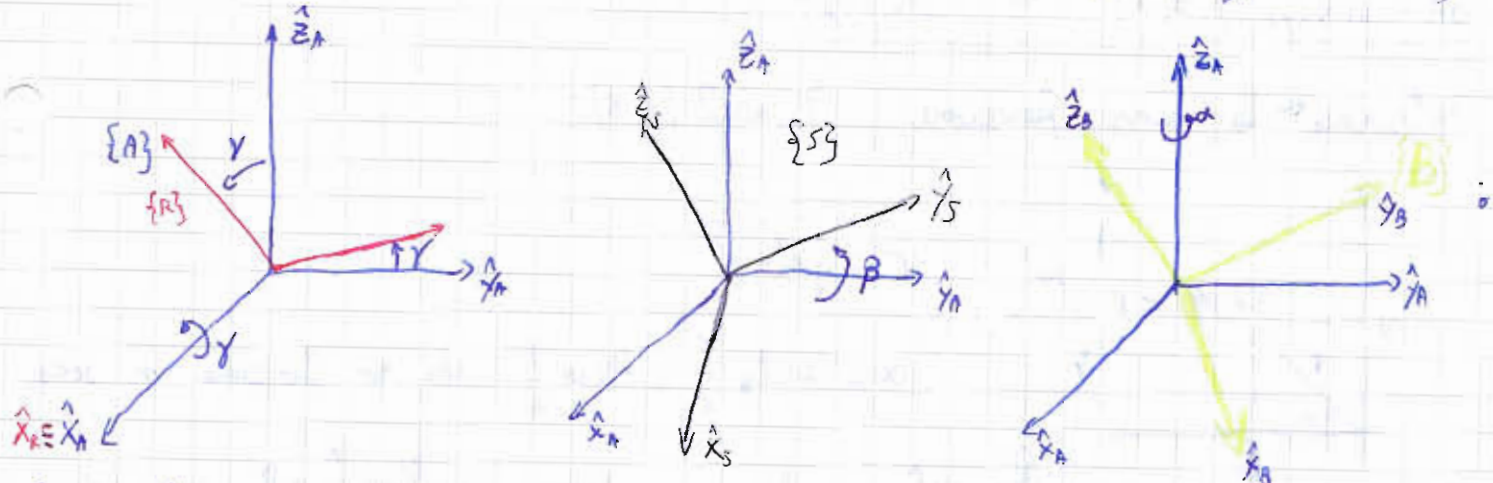
$${}^A \hat{x}_B \cdot {}^A \hat{y}_B = 0$$

$${}^A \hat{y}_B \cdot {}^A \hat{z}_B = 0$$

$${}^A \hat{z}_B \cdot {}^A \hat{x}_B = 0$$

6 equazioni che legano i 9 elementi
 $\Rightarrow 3$ gradi di libertà

• ASSI FISSI o RPY (Roll Pitch Yaw) = rollio, beccaggio, imbardata



Ruota la terra A rispetto all'asse X. ROLLIO BECCAGGIO IMBARDATA

Ogni angolo ha un segno, che si determina con la regola delle mani destre: pollice come il vettore, dita nel verso positivo.

Problema: $(\alpha, \beta, \gamma) \iff R \quad ???$

DA (α, β, γ) A ${}^A_R {}_{xyz}(\gamma, \beta, \alpha)$

$${}^A_R = R_x(\gamma)$$

$${}^A_R = {}^A_R {}^B_R {}^B_R = R_x(\gamma) \cancel{R_y(-\beta)}$$

Hanno ruotato rispetto a \hat{y}_A , non rispetto a \hat{y}_B .
non comodo

$${}^A \hat{z}_R = R_x(\gamma) {}^A \hat{z}_A$$

${}^A \hat{z}_S = R_y(\beta) {}^A \hat{z}_R$ per le proprietà viste (rotazione di un vettore rispetto al verso)

$${}^A \hat{z}_B = R_z(\alpha) {}^A \hat{z}_S$$

$${}^A \hat{z}_B = R_z(\alpha) R_y(\beta) R_x(\gamma) {}^A \hat{z}_A \quad \text{e analogamente}$$

$${}^A \hat{y}_B = R_z(\alpha) R_y(\beta) R_x(\gamma) {}^A \hat{y}_A$$

$${}^A \hat{x}_B = R_z(\alpha) R_y(\beta) R_x(\gamma) {}^A \hat{x}_A$$

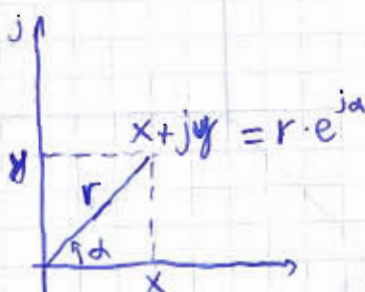
$${}^A_R = \begin{bmatrix} {}^A \hat{x}_B & {}^A \hat{y}_B & {}^A \hat{z}_B \end{bmatrix} = R_z(\alpha) R_y(\beta) R_x(\gamma) \underbrace{\begin{bmatrix} {}^A \hat{x}_A & {}^A \hat{y}_A & {}^A \hat{z}_A \end{bmatrix}}_{\text{Id}} = \underline{R_z(\alpha) R_y(\beta) R_x(\gamma)}$$

3^a rot. 2^a rot. 1^a rot.

L'ordine del prodotto è inverso rispetto a quello usato per fare le rotazioni.

DA ${}^A_R {}_{xyz}(\gamma, \beta, \alpha)$ A (α, β, γ)

Introduco la nuova funzione Atan2(y, x).

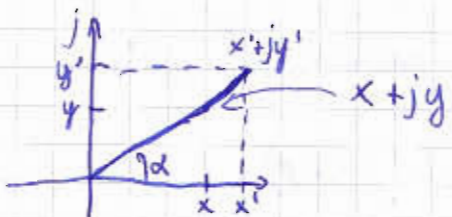


$$r = \sqrt{x^2 + y^2}$$

$$\alpha = \arctg \frac{y}{x} = \text{Atan} \frac{y}{x} \quad \text{che non funziona se } x < 0$$

Per sistemare le cose uso $\alpha = \text{Atan} \frac{y}{x} + \pi$ per $x < 0$

$$\text{Atan2}(y, x) = \begin{cases} \text{Atan}(y, x) & \text{per } x \geq 0 \\ \text{Atan}(y, x) + \pi & \text{per } x < 0 \end{cases}$$

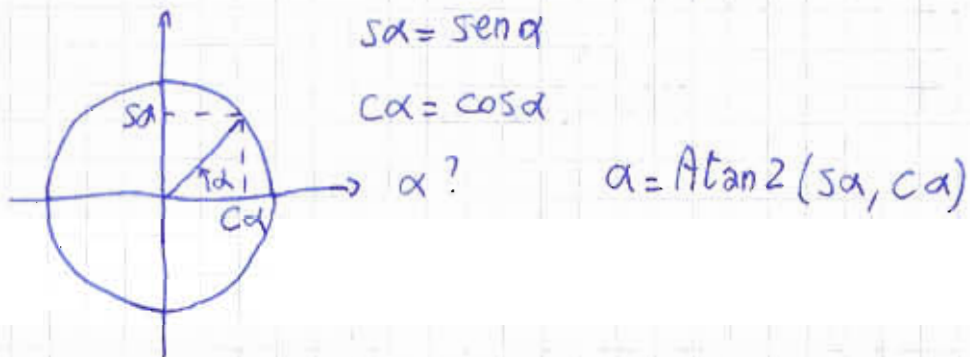


Scrivere un numero in cui
 $x' = kx$
 $y' = ky$

$$x' + jy' = kx + jky \quad \text{Atan}2(y, x) = \text{Atan}2(y', x')$$

$$\boxed{\text{Atan}2(y, x) = \text{Atan}2(ky, kx)}$$

Nel nostro caso, dimentichiamoci dei numeri complessi e dirigiamoci in cerchio trigonometrico



Scriviamo il problema ${}^aR_{xyz}(x, \beta, \alpha) \rightarrow \alpha, \beta, \gamma$

$$\begin{aligned}
 {}^aR_{xyz}(x, \beta, \alpha) &= R_z(\alpha) R_y(\beta) R_x(x) = \begin{bmatrix} \cos \alpha & -\sin \alpha & 0 \\ \sin \alpha & \cos \alpha & 0 \\ 0 & 0 & 1 \end{bmatrix} \begin{bmatrix} \cos \beta & 0 & \sin \beta \\ 0 & 1 & 0 \\ -\sin \beta & 0 & \cos \beta \end{bmatrix} \begin{bmatrix} 1 & 0 & 0 \\ 0 & \cos \gamma & -\sin \gamma \\ 0 & \sin \gamma & \cos \gamma \end{bmatrix} = \\
 &= \begin{bmatrix} \cos \alpha \cos \beta & \cos \alpha \sin \beta & -\sin \alpha \\ \sin \alpha \cos \beta & \sin \alpha \sin \beta & \cos \alpha \\ -\sin \beta & \cos \beta & \cos \gamma \end{bmatrix}
 \end{aligned}$$

mi concentro qui

$${}^aR_{xyz}(x, \beta, \alpha) = \begin{bmatrix} r_{11} & r_{12} & r_{13} \\ r_{21} & r_{22} & r_{23} \\ r_{31} & r_{32} & r_{33} \end{bmatrix}$$

$$\begin{cases} r_{11} = \cos \alpha \cos \beta \\ r_{21} = \sin \alpha \cos \beta \\ r_{31} = -\sin \beta \end{cases} \xrightarrow[\text{quadrato}]{\text{diviso}} \begin{cases} r_{11}^2 = \cos^2 \alpha \cos^2 \beta \\ r_{21}^2 = \sin^2 \alpha \cos^2 \beta \\ r_{31} = -\sin \beta \end{cases} \xrightarrow[\text{somma}]{\text{somma}}$$

$$\begin{aligned}
 r_{11}^2 + r_{21}^2 &= \cos^2 \beta [\underbrace{\cos^2 \alpha + \sin^2 \alpha}_1] = \cos^2 \beta \Rightarrow \begin{cases} \cos \beta = \pm \sqrt{r_{11}^2 + r_{21}^2} \\ \sin \beta = -r_{31} \end{cases} \xrightarrow[\text{NON univoca}]{\text{soltuzione del problema}}
 \end{aligned}$$

SOL 1 : $c\beta > 0$

$$\begin{cases} c\beta = \sqrt{r_{11}^2 + r_{21}^2} \\ s\beta = -r_{31} \end{cases} \quad \beta \in \left(-\frac{\pi}{2}, \frac{\pi}{2}\right) \xrightarrow{\text{intervalle aperto perché in } \pm \frac{\pi}{2} \text{ problema}} \Rightarrow \beta = \text{Atan2}(s\beta, c\beta) = \text{Atan2}(-r_{31}, \sqrt{r_{11}^2 + r_{21}^2})$$

$$\begin{cases} r_{11} = c\alpha c\beta \\ r_{21} = s\alpha c\beta \end{cases} \Rightarrow \begin{cases} c\alpha = \frac{r_{11}}{c\beta} \\ s\alpha = \frac{r_{21}}{c\beta} \end{cases} \quad \alpha = \text{Atan2}\left(\frac{r_{21}}{c\beta}, \frac{r_{11}}{c\beta}\right) = \text{Atan2}(r_{21}, r_{11}) \text{ per scalatura (proprietà di Atan2 essendo } c\beta > 0)$$

$$\begin{cases} r_{32} = c\beta s\gamma \\ r_{33} = c\beta c\gamma \end{cases} \Rightarrow \begin{cases} s\gamma = \frac{r_{32}}{c\beta} \\ c\gamma = \frac{r_{33}}{c\beta} \end{cases} \quad \gamma = \text{Atan2}\left(\frac{r_{32}}{c\beta}, \frac{r_{33}}{c\beta}\right) = \text{Atan2}(r_{32}, r_{33})$$

SOL 2 : $c\beta < 0$

$$\begin{cases} c\beta = -\sqrt{r_{11}^2 + r_{21}^2} \\ s\beta = -r_{31} \end{cases} \quad \beta \in \left(\frac{\pi}{2}, \frac{3\pi}{2}\right) \Rightarrow \beta = \text{Atan2}(-r_{31}, -\sqrt{r_{11}^2 + r_{21}^2}) \quad \text{realtura} \quad \alpha = \text{Atan2}\left(\frac{r_{21}}{c\beta}, \frac{r_{11}}{c\beta}\right) = \text{Atan2}(-r_{21}, -r_{11}) \quad \gamma = \text{Atan2}\left(\frac{r_{32}}{c\beta}, \frac{r_{33}}{c\beta}\right) = \text{Atan2}(-r_{32}, -r_{33})$$

CASI PARTICOLARI

$c\beta = 0 \Rightarrow \beta = \frac{\pi}{2}$

$${}^3R_{XYZ}(\gamma, \beta, \alpha) = \begin{bmatrix} 0 & c\alpha s\gamma - s\alpha c\gamma & c\alpha c\gamma + s\alpha s\gamma \\ 0 & s\alpha s\gamma + c\alpha c\gamma & s\alpha c\gamma - c\alpha s\gamma \\ -1 & 0 & 0 \end{bmatrix} = \begin{bmatrix} 0 & s(\gamma-\alpha) & c(\gamma-\alpha) \\ 0 & c(\gamma-\alpha) & -s(\gamma-\alpha) \\ -1 & 0 & 0 \end{bmatrix}$$

$$r_{12} = \sin(\gamma-\alpha) \quad r_{22} = \cos(\gamma-\alpha) \Rightarrow \gamma-\alpha = \text{Atan2}(r_{12}, r_{22}) \quad \text{nelgo } \alpha \text{ e misure } (\alpha \text{ 'ad.})$$

$$\begin{cases} \alpha = \text{qualsiasi} \\ \beta = \frac{\pi}{2} \\ \gamma = \alpha + \text{Atan2}(r_{12}, r_{22}) \end{cases}$$

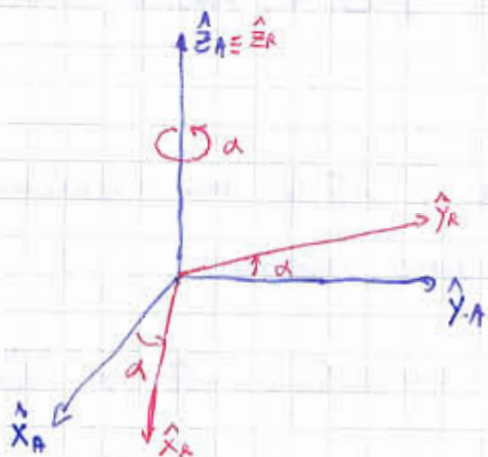
$$2) \beta = -\frac{\pi}{2} \quad {}^0R_{XYZ}(r, \beta, \alpha) = \begin{bmatrix} 0 & \dots & \dots \\ 0 & \dots & \dots \\ 1 & 0 & 0 \end{bmatrix}$$

$\alpha = \text{qualunque}$

$$\beta = -\frac{\pi}{2}$$

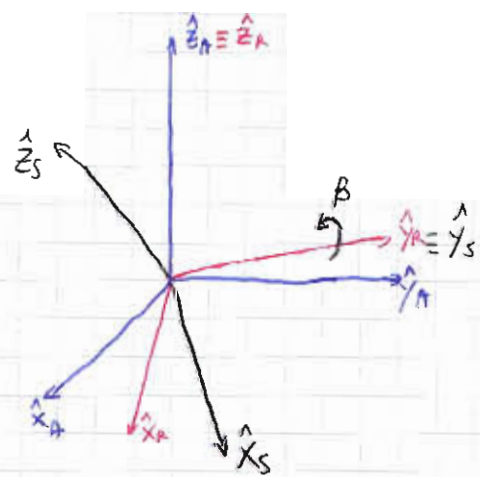
$$\gamma = -\alpha + \text{Atan2}(-r_{12}, r_{22})$$

• ANGOLI DI EULERO o ASSI MOBILI



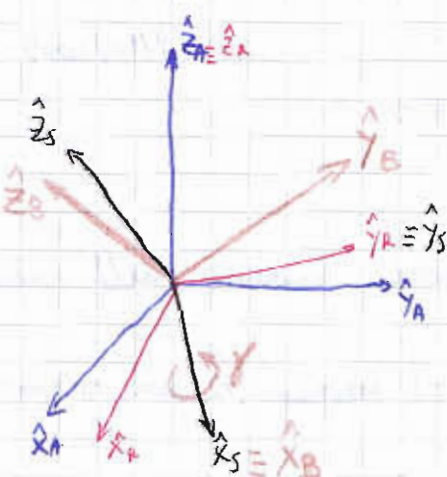
Ruoto attorno all'asse \hat{z}_A

$${}^0R = R_z(\alpha)$$



Ruoto attorno all'asse \hat{y}_A , comune con $\{S\}$

${}^0R = R_y(\beta)$ e per questo che vale queste relazioni



Ruoto attorno all'asse \hat{x}_A , comune con $\{B\}$

$${}^0R = R_x(\gamma)$$

Gli assi di rotazione sono in questo caso mobili

$${}^A_R z'_y x' (\alpha, \beta, \gamma) = {}^A_R {}^B_R {}^B_R \text{ proprietà di composizione}$$

spieghi assi mobili

note ↑ ↓

$${}^B_R z'_y x' (\alpha, \beta, \gamma) = R_z(\alpha) R_y(\beta) R_x(\gamma)$$

stesso ordine tra matrici e rotazioni

PROPRIETÀ:

tre rotazioni realizzate intorno ad assi fissi portano allo stesso orientamento finale ottenibile delle stesse tre rotazioni prese in ordine inverso attorno ad assi mobili.

Potrei scegliere una sequenza di rotazioni diversa e otterro' uno orientamento diverso, con un'altra matrice e un'altra notazione minima.

Non posso mai ruotare per due volte consecutive attorno allo stesso asse.

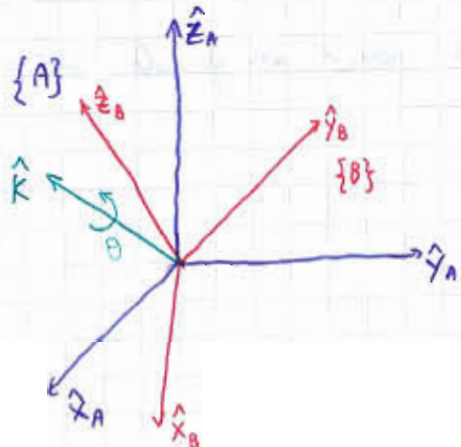
Elenco notazioni minime: 12.

$X Y Z$	$Y Z X$	$Z Y X$	più frequenti
$X Z Y$	$Y X Z$	$Z X Y$	
$X Y X$	$Y X Y$	$Z X Z$	
$X Z X$	$Y Z Y$	$Z Y Z$	

$${}^B_R y_{zx} (\alpha, \beta, \gamma) = R_x(\gamma) R_z(\beta) R_y(\alpha)$$

7/10/2009

RAPPRESENTAZIONE ASSE-ANGOLO



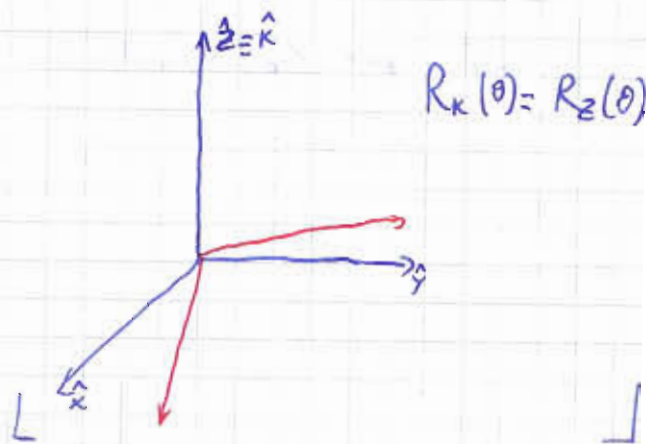
$\hat{k}, \theta \rightarrow$ rappresentazione minima dell'orientazione

$$\hat{k} = \begin{bmatrix} k_x \\ k_y \\ k_z \end{bmatrix} \quad \text{ma} \quad \|\hat{k}\|=1 \quad \text{essendo} \quad K \quad \text{un versore}$$

Rappresentazione a 4 elementi ma con 3 gradi di libertà.

Dato $\hat{K}, \theta \rightarrow {}^B R_K(\theta)$

- Caso particolare:



Senza dimostrarlo, so che

$$R_K(\theta) = \begin{bmatrix} K_x^2 v\theta + c\theta & K_x K_y v\theta - k_z s\theta & K_x k_z v\theta + k_y s\theta \\ K_x K_y v\theta + k_z s\theta & K_y^2 v\theta + c\theta & K_y k_z v\theta - k_x s\theta \\ K_x k_z v\theta - k_y s\theta & K_y k_z v\theta + k_x s\theta & K_z^2 v\theta + c\theta \end{bmatrix}$$

dove $v\theta = 1 - c\theta$, $c\theta = \cos\theta$, $s\theta = \sin\theta$

Dato ${}^B R_K(\theta) \rightarrow \hat{K}, \theta$

$${}^B R = \begin{bmatrix} r_{11} & r_{12} & r_{13} \\ r_{21} & r_{22} & r_{23} \\ r_{31} & r_{32} & r_{33} \end{bmatrix} \quad r_{11} + r_{22} + r_{33} = {}^B \theta \underbrace{(K_x^2 + K_y^2 + K_z^2)}_{\|K\|^2 = 1} + 3c\theta = 1 - c\theta + 3c\theta = 1 + 2c\theta$$
$$c\theta = \frac{r_{11} + r_{22} + r_{33} - 1}{2}$$

Mi piacerebbe trovare anche $s\theta$, ma rigirando quelle equazioni non ci si riesce.

$\theta = \arccos \frac{r_{11} + r_{22} + r_{33} - 1}{2}$ che non vale però per tutti i quadranti.
Lo metto un \pm però tutta funzione

Doppia soluzione \Rightarrow problema.

Trovare le altre componenti:

$$r_{21} - r_{12} = 2K_z \sin \theta \Rightarrow K_z = \frac{r_{21} - r_{12}}{2 \sin \theta} \quad \text{ricorre ho due valori diversi}$$

per θ , ci saranno due valori
anche per K_x, K_y e K_x

$$r_{13} - r_{31} = 2K_y \sin \theta \Rightarrow K_y = \frac{r_{13} - r_{31}}{2 \sin \theta}$$

$$r_{32} - r_{23} = 2K_x \sin \theta \Rightarrow K_x = \frac{r_{32} - r_{23}}{2 \sin \theta}$$

CASI PARTICOLARI

$$\theta = 0 \Rightarrow \sin \theta = 0$$

rotazione nulla

$$R_K(\theta) = \begin{bmatrix} 1 & 0 & 0 \\ 0 & 1 & 0 \\ 0 & 0 & 1 \end{bmatrix} \quad \begin{array}{l} \text{matrice identità} \\ \Downarrow \\ \text{o bene un } K \text{ qualunque} \end{array}$$

$$\theta = \pi \Rightarrow \sin \theta = 0$$

$$R_K(\theta) = \begin{bmatrix} 2K_x^2 - 1 & 2K_x K_y & 2K_x K_z \\ 2K_x K_y & 2K_y^2 - 1 & 2K_y K_z \\ 2K_x K_z & 2K_y K_z & 2K_z^2 - 1 \end{bmatrix} \quad \begin{array}{l} \text{matrice} \\ \text{simmetrica} \end{array}$$

$$r_{11} = 2K_x^2 - 1 \Rightarrow |K_x| = \sqrt{\frac{r_{11} + 1}{2}}$$

$$r_{33} = 2K_z^2 - 1 \Rightarrow |K_z| = \sqrt{\frac{r_{33} + 1}{2}}$$

$$r_{22} = 2K_y^2 - 1 \Rightarrow |K_y| = \sqrt{\frac{r_{22} + 1}{2}}$$

L'angolo θ che considero va da $-\pi$ a π , mentre K è qualsiasi

RAPPRESENTAZIONE QUATERNIONE UNITARIO

(chiamate anche "PARAMETRI DI EULERO" (non angoli!!), che sono 4.

$$E_1 = K_x \cdot \sin \frac{\theta}{2} \quad E_2 = K_y \cdot \sin \frac{\theta}{2} \quad E_3 = K_z \cdot \sin \frac{\theta}{2} \quad E_4 = \cos \frac{\theta}{2}$$

Dove K_x, K_y, K_z sono le componenti di R del caso precedente.

VANTAGGI

- Una sola soluzione di θ

- Una sola singolarità

$$\boldsymbol{\varepsilon} = \begin{bmatrix} \varepsilon_1 \\ \varepsilon_2 \\ \varepsilon_3 \\ \varepsilon_4 \end{bmatrix} \quad \|\boldsymbol{\varepsilon}\| = \sqrt{(K_x^2 + K_y^2 + K_z^2) \sin^2 \frac{\theta}{2} + \cos^2 \frac{\theta}{2}} = \sqrt{\underbrace{\sin^2 \frac{\theta}{2} + \cos^2 \frac{\theta}{2}}_{1}} = 1$$

$\Rightarrow \boldsymbol{\varepsilon}$ è un vettore !!

I gradi di libertà sono ancora 3.

Dati $\varepsilon_1, \varepsilon_2, \varepsilon_3, \varepsilon_4 \rightarrow {}^B R_E$. Prendiamo la matrice senza dimostrarla

$${}^B R_E = \begin{bmatrix} 1 - 2\varepsilon_2^2 - 2\varepsilon_3^2 & 2(\varepsilon_1\varepsilon_2 - \varepsilon_3\varepsilon_4) & 2(\varepsilon_1\varepsilon_3 + \varepsilon_2\varepsilon_4) \\ 2(\varepsilon_1\varepsilon_2 + \varepsilon_3\varepsilon_4) & 1 - 2\varepsilon_1^2 - 2\varepsilon_3^2 & 2(\varepsilon_2\varepsilon_3 - \varepsilon_1\varepsilon_4) \\ 2(\varepsilon_1\varepsilon_3 - \varepsilon_2\varepsilon_4) & 2(\varepsilon_2\varepsilon_3 + \varepsilon_1\varepsilon_4) & 1 - 2\varepsilon_1^2 - 2\varepsilon_2^2 \end{bmatrix}$$

Dato ${}^B R_E \rightarrow \varepsilon_1, \varepsilon_2, \varepsilon_3, \varepsilon_4$

$$r_{11} + r_{22} + r_{33} = 3 - 4(\varepsilon_1^2 + \varepsilon_2^2 + \varepsilon_3^2) = 4 - 4(\varepsilon_1^2 + \varepsilon_2^2 + \varepsilon_3^2) - 1 = 4 \underbrace{(1 - \varepsilon_1^2 - \varepsilon_2^2 - \varepsilon_3^2)}_{\varepsilon_4^2} - 1$$

$$\varepsilon_4 = \sqrt{\frac{r_{11} + r_{22} + r_{33} + 1}{4}} = \cos \frac{\theta}{2} \quad \theta \text{ varia sempre tra } -\pi \text{ e } \pi$$

$\frac{\theta}{2} \text{ varia tra } -\frac{\pi}{2} \text{ e } \frac{\pi}{2}$

Il coseno tra $-\frac{\pi}{2}$ e $\frac{\pi}{2}$ è sempre positivo \Rightarrow scarto la soluzione negativa

$$\varepsilon_4 = \sqrt{\frac{r_{11} + r_{22} + r_{33} + 1}{4}}$$

$$r_{21} - r_{12} = 4\varepsilon_3\varepsilon_4 \Rightarrow \varepsilon_3 = \frac{r_{21} - r_{12}}{4\varepsilon_4}$$

$$r_{13} - r_{31} = 4\varepsilon_2\varepsilon_4 \Rightarrow \varepsilon_2 = \frac{r_{13} - r_{31}}{4\varepsilon_4}$$

$$r_{32} - r_{23} = 4\varepsilon_1\varepsilon_4 \Rightarrow \varepsilon_1 = \frac{r_{32} - r_{23}}{4\varepsilon_4}$$

Unica singolarità: $E_4 = 0$ cioè $\theta = \pm \pi$. Non vediamo la completa selezione particolare.

CINEMATICA DIRETTA DEI MANIPOLATORI



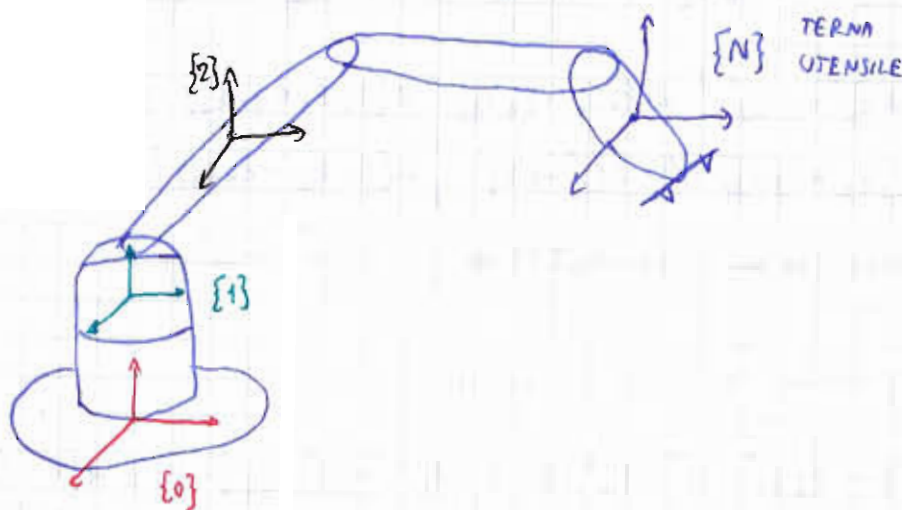
$$\vec{q} = \begin{bmatrix} q_1 \\ q_2 \\ \vdots \\ q_N \end{bmatrix}$$

POSIZIONE
DEI GIUNTI
↓
indiretta

$$\vec{x} = \begin{bmatrix} P \\ \phi \end{bmatrix}$$

COORDINATE
SPAZIO OPERATIVO
↓
diretta

cinematica diretta



${}^1T(q_1)$
variabile
di giunto

Per ogni giunto posso trovare la matrice di trasformazione omogenea.

${}^2T(q_2)$

Se trovo la matrice generica ${}^nT(\vec{q})$ sono a posto.

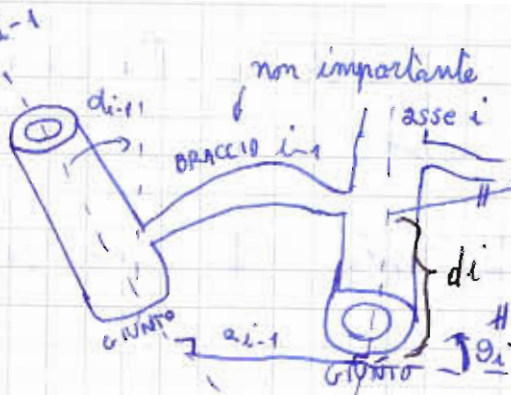
$${}^nT(\vec{q}) = \begin{bmatrix} {}^nR(\vec{q}) & {}^nP_n(\vec{q}) \\ 0 & 1 \end{bmatrix}$$

Tutto il gioco è trovare queste matrici (dato \vec{q}) per poi passare dalle matrici di rotazione alle forme minime.

Uso le regole di composizione.

$${}^nT(\vec{q}) = {}^1T(q_1) {}^2T(q_2) {}^3T(q_3) \dots {}^{N-1}T(q_{N-1}) {}^NT(q_N)$$

Dovrò quindi trovare queste matrici



E' importante dire come sono messi gli assi tra loro.
Per farlo mi servono due numeri:
 - distanza tra gli assi
 - angolo tra gli assi.

La distanza è perpendicolare a entrambe le rette ed è il segmento di minor lunghezza che unisce le due rette.

$Q_{i-1} \rightarrow$ LUNGHEZZA DI BRACCIO

$d_{i-1} \rightarrow$ TORSIONE DI BRACCIO

La lunghezza di braccio può essere al di fuori del braccio.

Voglio anche descrivere la relazione tra un braccio e il successivo mediante l'OFFSET DI GIUNTO o SCOSTAMENTO DI GIUNTO α_i e l'ANGOLI DI GIUNTO Q_i .

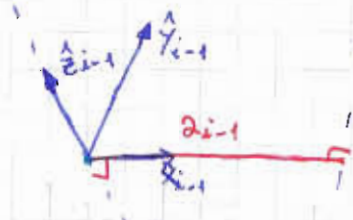
In totale avrò 4 parametri, due per la geometria del braccio e due per come questo si accoppia con il successivo. I primi due sono COSTANTI, mentre gli altri due cambiano:

- in caso di giunto rotoidale, d_i è costante mentre α_i varia nel tempo
- in caso di giunto prismatico, d_i varia nel tempo mentre α_i è costante.

TECNICA X FISSARE LE TERNE

Ci sono vari casi in cui possono essere messi gli assi:

① assi i-1

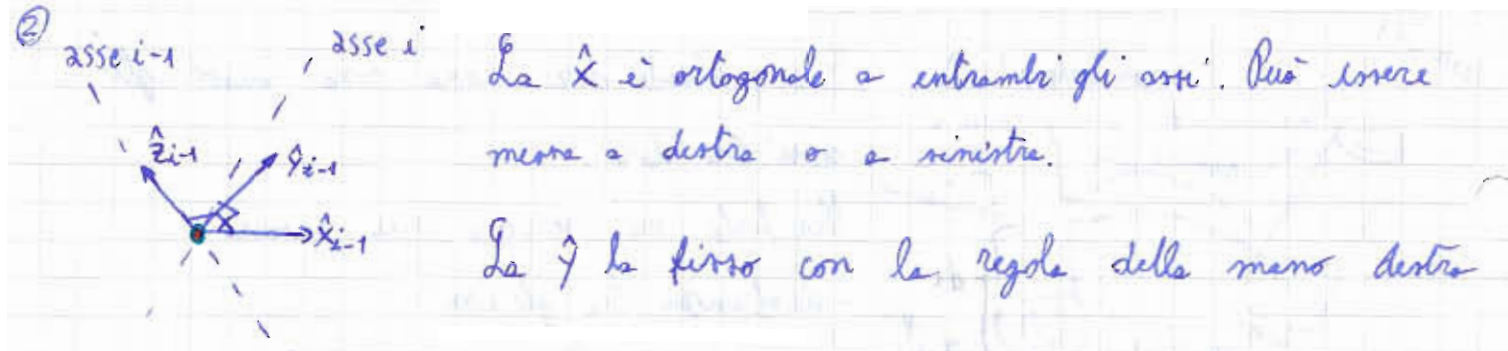


asse i

L'origine lo metto nel punto di intersezione tra la distanza e l'asse i-1.

Il versore z va sempre lungo l'asse i-1 nel verso che vi pare.

Il versore x va sempre lungo la distanza



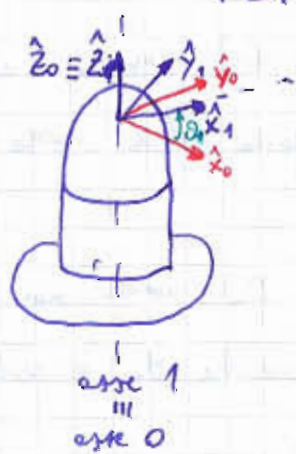
ASSI INCIDENTI



ASSI COINCIDENTI

TERNA DI BASE 0

19/10/2009



L'asse 0 è un asse virtuale \rightarrow lo mettiamo dove a piace. Convine mettere coincidente con l'asse 1 così alcuni parametri di braccio si annullano
 \hookrightarrow più semplice.

PARAMETRI CINEMATICI

$d_{i-1} = 0$ lunghezza di braccio

$z_{i-1} = 0$ distanza tra due assi

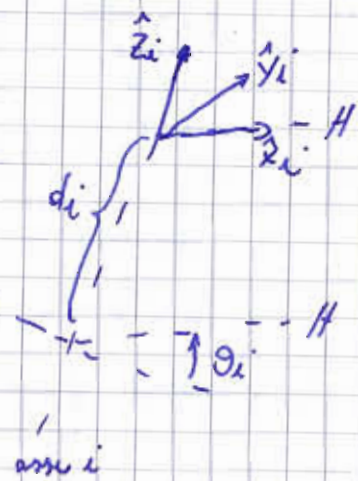
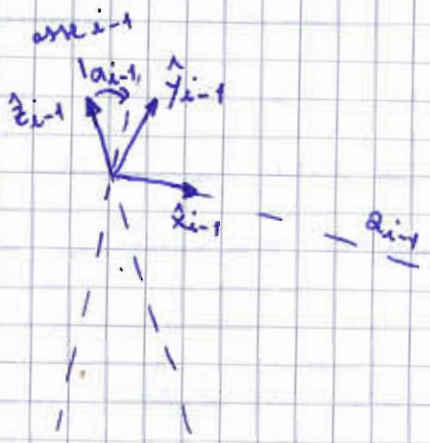
$d_i = 0$ offset di giunto (distanza delle x)

θ_i

L'origine della terna 0 la faccio coincidere con quella della terna 1.

Le terne o e le n si lasciano per ultime.

Ho mandato a o tre parametri anematici su quattro.



α_{i-1} = angolo da \hat{z}_{i-1} a \hat{z}_i con il segno di \hat{x}_{i-1}

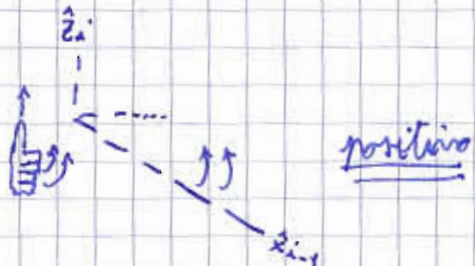
Rollice verso \hat{x}_{i-1} , dico che si chiudono nel verso positivo.

α_{i-1} = distanza da \hat{z}_{i-1} a \hat{z}_i con il segno di \hat{x}_{i-1} (sempre positiva per come assegnamo le terne)

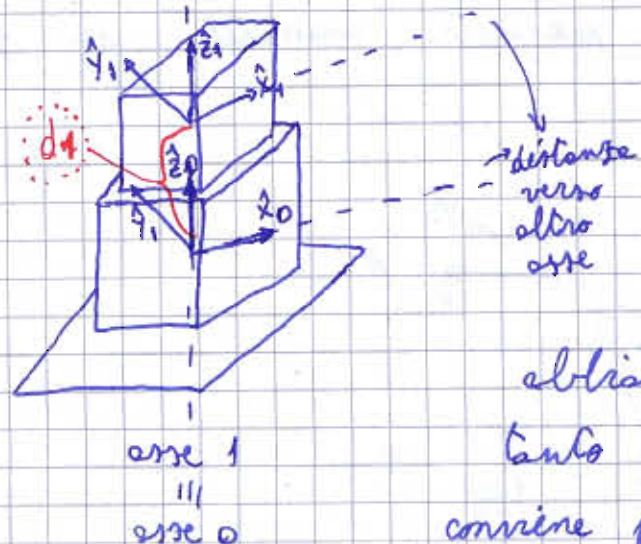
α_i = angolo da \hat{x}_{i-1} a \hat{x}_i con il segno di \hat{z}_i

d_i = distanza da \hat{x}_{i-1} a \hat{x}_i con il segno di \hat{z}_i (positivo in questo caso)

Se suppongo \hat{x}_{i-1} uscente dal foglio e \hat{x}_i più interno:



Nel caso di un GIUNTO PRISMATICO



La terza o è ancora un grado di libertà. Giacomo le terne sono solidali con il braccio, non ha senso che abbiano l'origine in comune perché tanti i bracci si muoveranno. Mi conviene però assegnare $\hat{x}_0 \parallel \hat{x}_1$ in modo che $\theta_i = 0$

PARAMETRI CINEMATICI

$$\alpha_{i-1} = 0$$

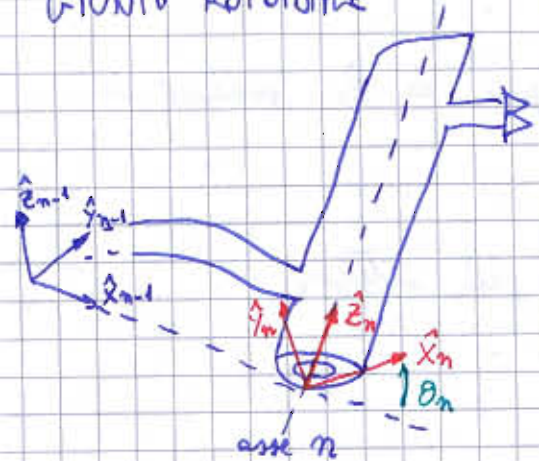
$$\omega_{i-1} = 0$$

$$d_i = d_1$$

$$\theta_i = 0$$

ASSEGNAZIONE ULTIMA TERNA n

GIUNTO ROTATORIO

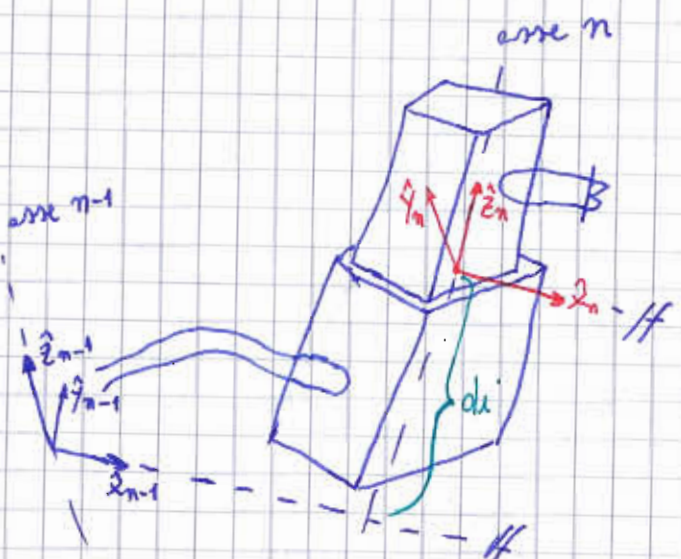


Non c'è un braccio successivo, per cui non c'è una distanza che mi vincola, per cui la posso mettere dove mi pare.

Mi conviene mettere l'origine sulla distanza, \hat{x}_n non allineata (tanto varia nel tempo)

$d_n = 0$ mentre tutti gli altri parametri sono in generale diversi da 0.

GIUNTO PRISMATICO



- - - - - FINE TEORIA

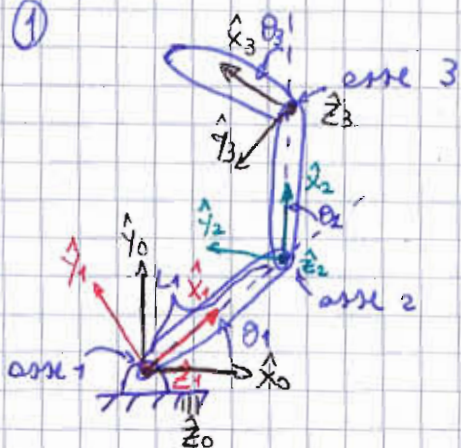
\hat{x}_n la prendo // a \hat{x}_{n-1} così
 $\theta_1 = 0$. La \hat{y}_n non è parallela
 altrimenti anche \hat{z}_n dovrebbe
 essere parallela.

Gli altri 3 parametri in
 generale variano.

I COMPITINO - - - -

ESERCIZI I COMPITINO

①



- 1) Fisso gli assi
- 2) Fisso le distanze. Per fissare
 la terna 1 devo sapere
 la distanza tra assi 1 e 2
 (rette parallele, distanza dove voglio)

3) Fisso la terna 1

↳ origine sull'asse 1 (• uscente x entrante)

↳ \hat{z} verso noi (uscente)

↳ \hat{x} lungo la distanza

↳ \hat{y} regola mano destra

4) Fisso la terna 2

↳ distanza lungo il braccio

↳ \hat{z} uscente

↳ \hat{x} lungo la distanza

↳ \hat{y} regola mano destra

5) Disegno le variabili di giunto

6) Fisso la terza o

↳ giunto rotoidale

↳ stessa origine di 1

$$\hookrightarrow \hat{z}_0 = \hat{z}_1$$

7) Fisso la terza n ($\neq 3$)

↳ come prima

8) Scrivo una tabella con tutti i parametri cinematici

↳ n° righe = n° bracci

↳ n° colonne = 4 (n° parametri)

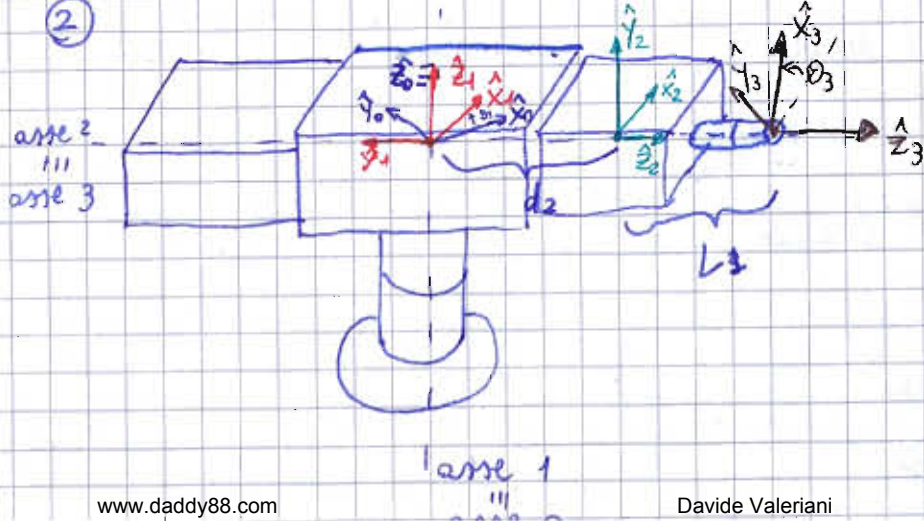
	α_{i-1}	d_{i-1}	θ_i	d_i
1	0	0	θ_1	0
2	0^*	L_1	θ_2	0^*
3	0	L_2	θ_3	0^*

* angolo tra \hat{z}_1 e $\hat{z}_2 = 0$

- x complanari: lungo la z
non c'è nessuna distanza
tra i vettori

Stare attenti ai segni delle costanti (da indicare nella tabella).
Le variabili di giunto invece si indicano senza segno

②



asse 2 \rightarrow asse di traslazione

asse 3 \rightarrow asse di rotazione

TERNA 1

Considero gli assi 1 e 2. Si intersecano \rightarrow l'origine va nel punto di intersezione. \hat{z}_1 va sull'asse 1. \hat{x}_1 va o entrante o uscente (a riscimento). \hat{y}_1 va per forza sull'asse 2 perché deve essere \perp a \hat{x}_1 e \hat{z}_1 .

TERNA 2

Considero gli assi 2 e 3. Sono coincidenti tra loro per cui l'origine le posso mettere dove voglio (non ha senso sull'incrocio perché l'anto si sposta). \hat{z}_2 va sull'asse 2; \hat{x}_2 lo metto parallelo a \hat{x}_1 per semplificare; \hat{y}_2 verso l'alto.

TERNA 3

L'origine scelgo di metterla sull'organo uterile \hat{x}_1 , lo metto non \parallel a \hat{x}_2 tanto il giunto ruota.

TERNA 0

Giunto rotoidale, origine come la terna 1

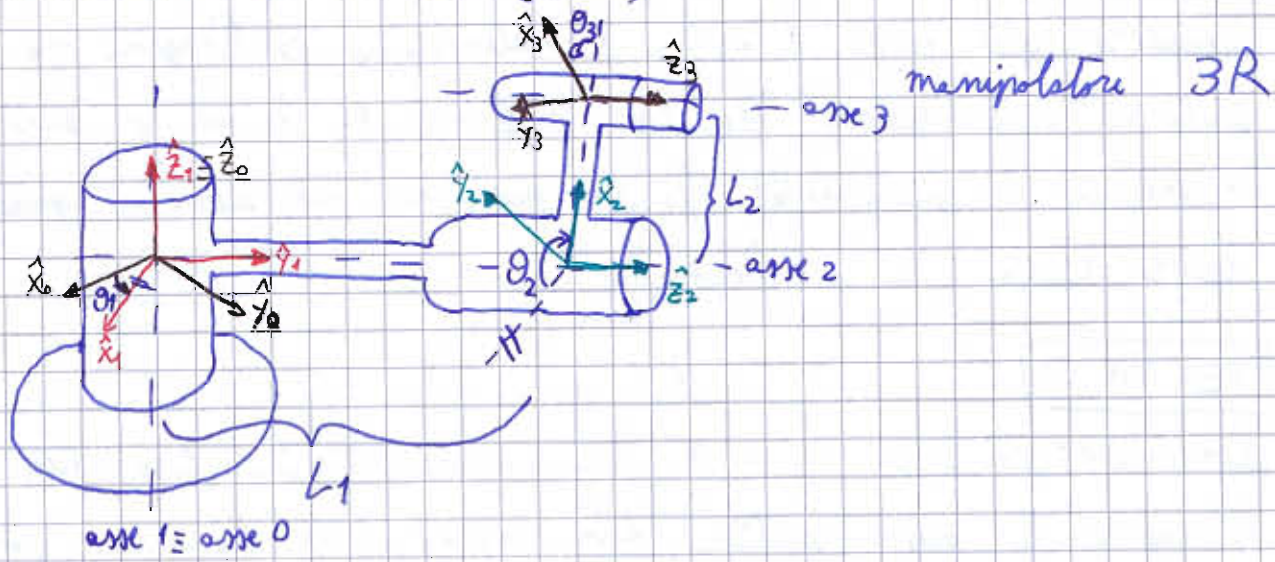
	d_{1i}	$2i_{-1}$	g_{1i}	d_i
1	0	0	g_1	0
2	$\frac{\pi}{2}$ tra \hat{z}_1 e \hat{z}_2	0	0	d_2
3	0	0	g_3	$+L_1$



se i prolungamenti dei versori
si incontrano, $2i_{-1} = 0$

Se l'origine della terna 2, essendo un grado di libertà, l'avesse messa coincidente con l'origine della terna 3, avrei semplificato ulteriormente le tabella ($L_1 = 0$)

③



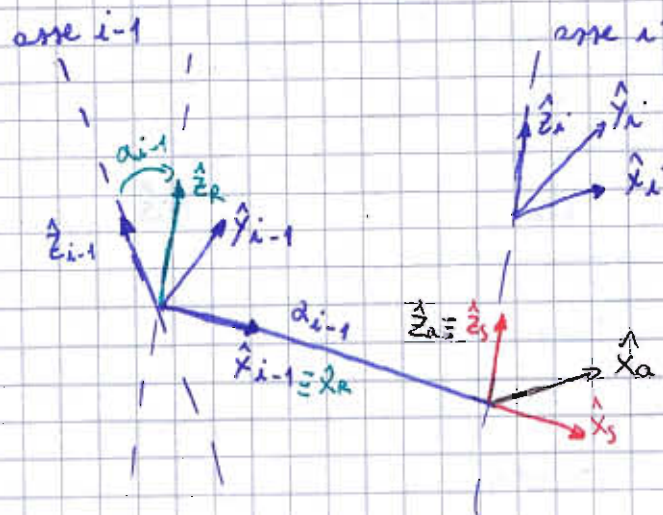
	α_{i-1}	θ_{i-1}	g_i	d_i
1	0	0	θ_1	0
2	$-\frac{\pi}{2}$	0	θ_2	$+L_1$
3	0	L_2	θ_3	0

parallelle $\hat{z}_2 \perp \hat{z}_3$

perché non segue il verso delle dita



CINEMATICA DIRETTA



Ruoto attorno a x la terna $i-1$ fino ad allinearla al nuovo asse. Ottengo la terna R

Traslo la terna R per ottenere la terna S

Ruoto di ϑ la terna S e ottengo la terna Q

Traslo la terna Q per farla allineare alla terna i

$${}^{i-1}T = T_x(\alpha_{i-1}) = \begin{bmatrix} R_x(\alpha_{i-1}) & 0 \\ 0 & 1 \\ 0 & 0 & 1 \end{bmatrix}$$

$${}^iT = T_x(\alpha_{i-1}) = \begin{bmatrix} I_3 & 0 \\ 0 & 1 \\ 0 & 0 & 1 \end{bmatrix} \leftarrow \begin{array}{l} \text{traslazione lungo} \\ \text{sopra l'asse x} \end{array}$$

$${}^iT = T_z(\vartheta_i) = \begin{bmatrix} R_z(\vartheta_i) & 0 \\ 0 & 1 \\ 0 & 0 & 1 \end{bmatrix}$$

$${}^iT = T_z(\alpha_i) = \begin{bmatrix} I_3 & 0 \\ 0 & 1 \\ 0 & 0 & 1 \end{bmatrix}$$

$${}^iT = {}^{i-1}T \cdot {}^R T \cdot {}^S T \cdot {}^Q T = \begin{bmatrix} Cg_i & -5g_i & 1 & 0 & 1 & \alpha_{i-1} \\ 5g_i C\alpha_{i-1} & Cg_i C\alpha_{i-1} & -5\alpha_{i-1} & -5\alpha_{i-1} d_i \\ 5g_i S\alpha_{i-1} & Cg_i S\alpha_{i-1} & C\alpha_{i-1} & C\alpha_{i-1} d_i \\ 0 & 1 & 0 & 1 & 0 & 1 \end{bmatrix}$$

Con la 1^a riga della tabella resto fuori iT

Con la n^a riga delle tabelle ottengo nT

$${}^nT = {}^iT \cdot {}^S T \cdots {}^nT$$

Applico la matrice all'esercizio ②

$${}^0T = \begin{bmatrix} c\theta_1 & -s\theta_1 & 0 & 1 \\ s\theta_1 & c\theta_1 & 0 & 0 \\ 0 & 0 & 1 & 0 \\ 0 & 0 & 0 & 1 \end{bmatrix} \text{ in effetti non ha nessuna traslazione}$$

$${}^1T = \begin{bmatrix} 1 & 0 & 0 & 0 \\ 0 & 0 & -1 & -d_2 \\ 0 & 1 & 0 & 0 \\ 0 & 0 & 0 & 1 \end{bmatrix} \quad s\theta_1 = s_1 \\ c\theta_1 = c_1$$

$${}^2T = \begin{bmatrix} c\theta_3 & -s\theta_3 & 0 & 0 \\ s\theta_3 & c\theta_3 & 0 & 0 \\ 0 & 0 & 1 & L_1 \\ 0 & 0 & 0 & 1 \end{bmatrix}$$

$${}^0T = {}^0T {}^1T {}^2T = \begin{bmatrix} c_1 c_3 & -c_1 s_3 & 1 & s_1 & 1 & (L_1 + d_2) s_1 \\ s_1 c_3 & -s_1 s_3 & 1 & -c_1 & 1 & -(L_1 + d_2) c_1 \\ - & - & - & 0 & 1 & 0 \\ 0 & 0 & 0 & 1 & 0 & 1 \end{bmatrix}$$

$$\bar{x} = \begin{bmatrix} P \\ \dots \\ \phi \end{bmatrix} \quad P = \begin{bmatrix} (L_1 + d_2) s_1 \\ -(L_1 + d_2) c_1 \\ 0 \end{bmatrix} \quad \phi ? \text{ devo ricavarla}$$

Mi si dice che userò la forma minima $R_{xyz}(\gamma, \beta, \alpha) \dots$

$$R_{xyz}(\gamma, \beta, \alpha) = \begin{bmatrix} c\alpha c\beta & c\alpha s\beta s\gamma - s\alpha c\gamma & c\alpha s\beta c\gamma + s\alpha s\gamma \\ s\alpha c\beta & s\alpha c\beta s\gamma + c\alpha c\gamma & s\alpha s\beta c\gamma - c\alpha s\gamma \\ -s\beta & c\beta s\gamma & c\beta c\gamma \end{bmatrix}$$

Confronto le matrici: prima gli elementi costanti.

$$\begin{cases} C\beta \cos \gamma = 0 \\ C\beta \sin \gamma = C_3 \end{cases} \Rightarrow C\gamma = 0 \Rightarrow \gamma = \pm \frac{\pi}{2}$$

$$1) \gamma = \frac{\pi}{2}$$

$$R_{xyz}(\gamma, \beta, \alpha) = \begin{bmatrix} C\alpha C\beta & C\alpha S\beta & S\alpha \\ S\alpha C\beta & S\alpha S\beta & -C\alpha \\ -S\beta & C\beta & 0 \end{bmatrix}$$

$$S\theta_3 = -S\beta$$

$$C\theta_3 = C\beta \Rightarrow \beta = -\theta_3$$

perche'



$$S\theta_1 = S\alpha$$

$$-C\theta_1 = -C\alpha \Rightarrow \alpha = \theta_1$$

$$\phi = \begin{bmatrix} \theta_1 \\ -\theta_3 \\ \frac{\pi}{2} \end{bmatrix}$$

$$2) \gamma = -\frac{\pi}{2}$$

$$R_{xyz}(\gamma, \beta, \alpha) = \begin{bmatrix} C\alpha C\beta & -C\alpha S\beta & -S\alpha \\ S\alpha C\beta & -S\alpha S\beta & C\alpha \\ -S\beta & C\beta & 0 \end{bmatrix}$$

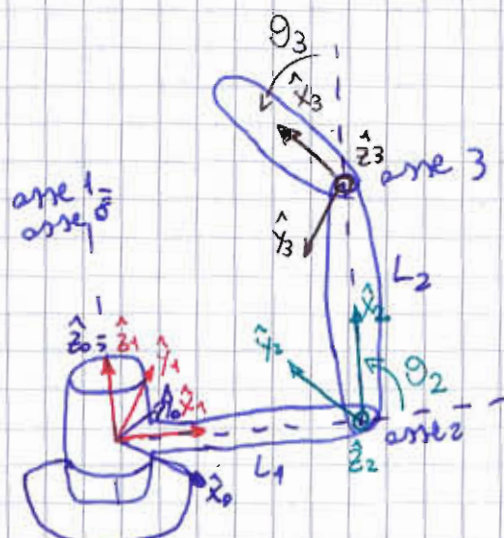
$$S\theta_3 = -S\beta$$

$$C\theta_3 = -C\beta \Rightarrow \theta_3 = \beta + \pi$$

$$S\theta_1 = -S\alpha$$

$$+C\theta_1 = -C\alpha \Rightarrow \theta_1 = \alpha + \pi$$

$$\phi = \begin{bmatrix} \alpha + \pi \\ \beta + \pi \\ -\frac{\pi}{2} \end{bmatrix}$$



	α_{i-1}	α_{i-1}	g_i	d_i
1	0	0	θ_1	0
2	$+\frac{\pi}{2}$	L_1	θ_2	0
3	0	L_2	θ_3	0

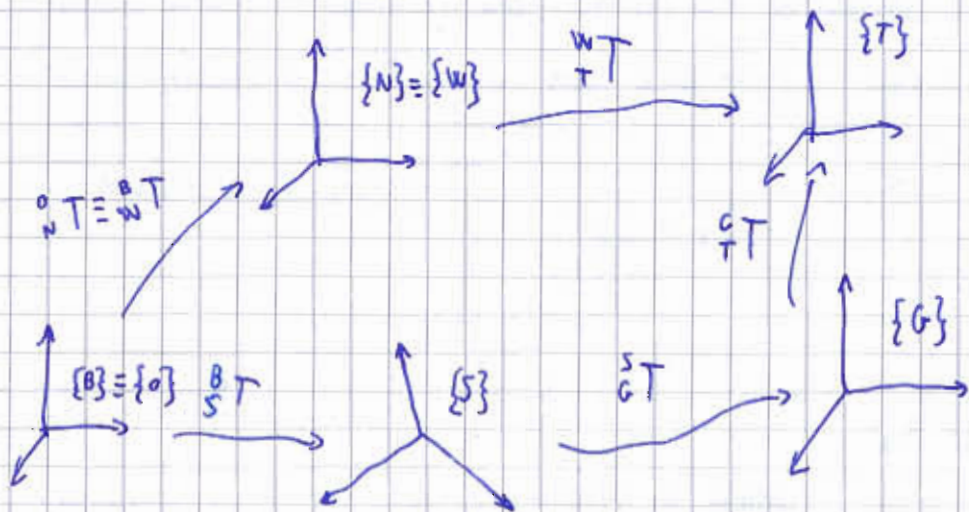
$${}^0T = \begin{bmatrix} c\theta_1 & -s\theta_1 & 0 & 1 & 0 \\ s\theta_1 & c\theta_1 & 0 & 0 & 0 \\ 0 & 0 & 1 & 0 & 0 \\ 0 & 0 & 0 & 1 & 0 \end{bmatrix}$$

$${}^1T = \begin{bmatrix} c_2 & -s_2 & 0 & 1 & L_2 \\ 0 & 0 & -1 & 0 & 0 \\ s_2 & c_2 & 0 & 0 & 0 \\ 0 & 0 & 0 & 1 & 0 \end{bmatrix}$$

$${}^2T = \begin{bmatrix} c_3 & -s_3 & 0 & 1 & L_2 \\ s_3 & c_3 & 0 & 0 & 0 \\ 0 & 0 & 1 & 0 & 0 \\ 0 & 0 & 0 & 1 & 0 \end{bmatrix}$$

$${}^3T = \begin{bmatrix} c_1 & -s_1 & 0 & 0 & 0 \\ s_1 & c_1 & 0 & 0 & 0 \\ 0 & 0 & 1 & 0 & 0 \\ 0 & 0 & 0 & 1 & 0 \end{bmatrix} \cdot \begin{bmatrix} c_2 & -s_2 & 0 & 1 & L_1 \\ 0 & 0 & -1 & 0 & 0 \\ s_2 & c_2 & 0 & 0 & 0 \\ 0 & 0 & 0 & 1 & 0 \end{bmatrix} \cdot \begin{bmatrix} c_3 & -s_3 & 0 & 1 & L_2 \\ s_3 & c_3 & 0 & 0 & 0 \\ 0 & 0 & 1 & 0 & 0 \\ 0 & 0 & 0 & 1 & 0 \end{bmatrix}$$

DATA le posizioni e l'orientamento dell'ultima leva, trovare i parametri cinematici.



L'unica incognita è ${}^oNT = {}^BWT$

$${}^oNT = {}^BWT \cdot {}^ST \cdot {}^GT \cdot {}^CT \cdot ({}^wT)^{-1} = \begin{bmatrix} r_{11} & r_{12} & r_{13} & p_x \\ r_{21} & r_{22} & r_{23} & p_y \\ r_{31} & r_{32} & r_{33} & p_z \\ 0 & 0 & 0 & 1 \end{bmatrix} = {}^oNT(\bar{q})$$

parte dalla coda

Dovrò trovare i valori di \bar{q} (variabili di giunto) ugualando la matrice vista per $T(\bar{q})$ con la precedente.

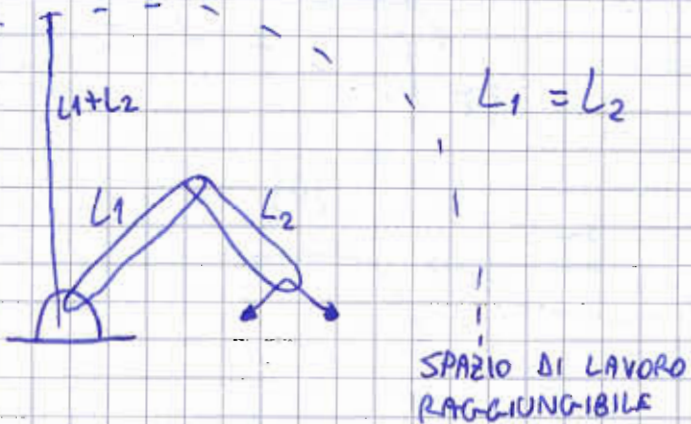
Per un manipolatore industriale a 6 giunti avrò almeno 6 equazioni ma meno di 12 (per la ridondanza di alcuni valori della matrice di rotazione).

Stiamo trattando un sistema non lineare \Rightarrow può non esserci soluzione!

SPAZIO DI LAVORO \rightarrow volume individuato dall'origine della leva utensile quando ai giunti si fanno descrivere tutti i moti possibili

SPAZIO DI LAVORO \rightarrow insieme dei punti che l'origine della terna
RAGGIUNGIBILE attorno alla quale può raggiungere con almeno un
orientamento.

SPAZIO DI LAVORO \rightarrow insieme dei punti che l'origine della terna utensile
DI DESTREZZA può raggiungere con qualsiasi orientamento.



SPAZIO DI DESTREZZA \rightarrow origine

SPAZIO DI LAVORO
RAGGIUNGIBILE

$$L_2 < L_1$$

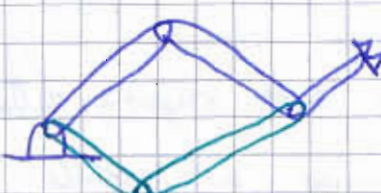
SPAZIO DI DESTREZZA = \emptyset

SPAZIO DI LAVORO RAGGIUNGIBILE Corona circolare

4° PROBLEMA \rightarrow quando si ha soluzione?

La soluzione non esiste se il punto assegnato non appartiene allo spazio di lavoro raggiungibile.

Le definizioni date in precedenza possono essere dati considerando le terni di polso.

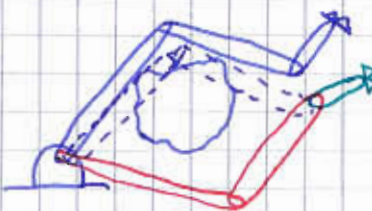


L'organo utensile può raggiungere il punto
in entrambi i casi \Rightarrow due soluzioni

SOLUZIONE MULTIPLA

Più soluzioni ci sono e più è vantaggioso per chi lo utilizza,
ma dobbiamo trovarle tutte!

Questo perché permette, ad esempio, di aggirare gli ostacoli.



voglio arrivare qui

Un robot antropomorfo (sei giunti: busto che ruota, braccio che si alza, avambraccio che si alza, gomito che si alza, si raddrizza e ruota) ha in generale 8 soluzioni. Robot più usati.

METODI SOLUTIVI

- 1) Metodi numerici (per tentativi)
- 2) Metodi di soluzioni in forme chiuse (analitica, equazione che risolve il problema)

Tutti i manipolatori con giunti prismatici e rotoidali aventi 6 gradi di libertà sono risolvibili.

Condizione sufficiente effinche un manipolatore con 6 giunti rotoidali abbia una soluzione in forme chiuse è che 3 assi di giunto contigui si intersecano in un punto o siano paralleli.

PRIMA PROVA INTERMEDIA: MARTEDÌ 3 NOVEMBRE

SECONDA PROVA INTERMEDIA: MARTEDÌ 1 DICEMBRE

$\circ T(\bar{x}) \rightarrow$ altro modo per il problema di cinematica inversa:

$$\stackrel{\text{eguagliar}}{\stackrel{\circ}{\stackrel{T(\bar{x})}{\stackrel{\uparrow}{\stackrel{\circ}{T(\bar{q})}}}} \Rightarrow \text{sulla fuori } \bar{q}(\bar{x})$$

Dominio a
Parametra

$$\bar{x} = \begin{bmatrix} p_x \\ p_y \\ p_z \\ \alpha \\ \beta \\ \gamma \end{bmatrix}$$

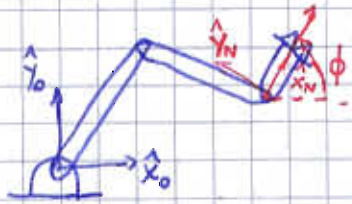
io voglio

$$q_1 = f(\bar{x})$$

$$q_2 = f(\bar{x})$$

:

altro modo di assegnare il problema è usando uno spazio ridotto:



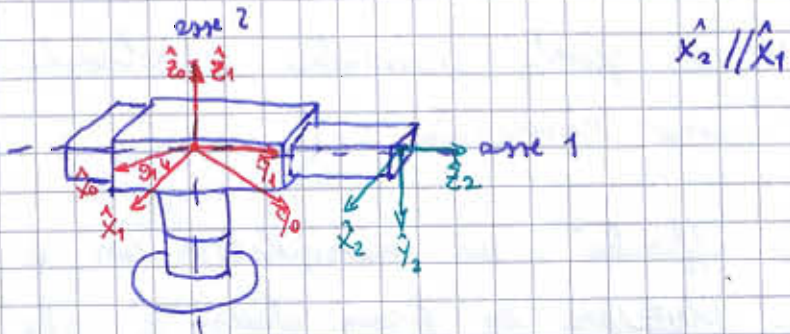
$$\bar{x} = \begin{bmatrix} x \\ y \\ \phi \end{bmatrix}$$

SPAZIO
OPERATIVO
RIDOTTO

→ niente \bar{x} perché sarebbe sempre 0.
Due angoli sono costanti,
uno ϕ per descrivere
l'orientamento

$${}^0T(\bar{x}) = \begin{bmatrix} c\phi & -s\phi & 0 & 1 & x \\ s\phi & c\phi & 0 & 1 & y \\ 0 & 0 & 1 & 0 & 0 \\ 0 & 0 & 0 & 1 & 1 \end{bmatrix}$$

Esempio

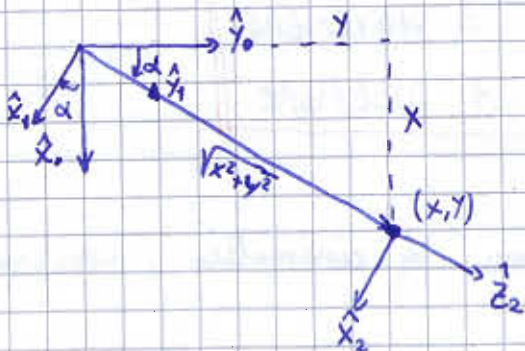


$$\hat{x}_2 // \hat{x}_1$$

La posizione può essere descritta da

$$\bar{x} = \begin{bmatrix} x \\ y \end{bmatrix}$$

Vediamo le forme dell'alto:



Mai volto assegnato al punto (x, y) , la linea utile può essere orientata in un solo modo.

$${}^o T(\bar{x}) = \begin{bmatrix} \bar{x} & 1 & x \\ f(x, y) & 1 & y \\ 1 & 0 & 1 \end{bmatrix} = \begin{bmatrix} \bar{x} & 1 & x \\ 0 & 1 & y \\ 0 & 0 & 1 \end{bmatrix}$$

de tagliere
dopo

Voglio descrivere ${}^2 R = {}^1 R {}^1 R = R_z(\alpha) \cdot R_x(-\frac{\pi}{2}) =$

$$= \begin{bmatrix} c\alpha & -s\alpha & 0 \\ s\alpha & c\alpha & 0 \\ 0 & 0 & 1 \end{bmatrix} \begin{bmatrix} 1 & 0 & 0 \\ 0 & 0 & 1 \\ 0 & -1 & 0 \end{bmatrix} = \begin{bmatrix} c\alpha & 0 & -s\alpha \\ s\alpha & 0 & c\alpha \\ 0 & -1 & 0 \end{bmatrix}$$

Io che $|c\alpha| = \frac{y}{\sqrt{x^2+y^2}}$ $|s\alpha| = \frac{x}{\sqrt{x^2+y^2}}$ in valore assoluto

Ora però devo considerare i segni. Ho studiato la cosa considerando $x>0$ e $y>0$, quindi $c\alpha$ e $s\alpha$ sono positivi.
Ma $\alpha<0$, quindi $c\alpha>0$ e $s\alpha<0$.

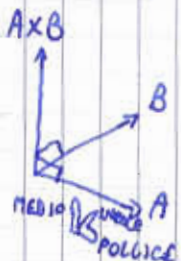
$$\Rightarrow c\alpha = \frac{y}{\sqrt{x^2+y^2}} \quad s\alpha = \frac{-x}{\sqrt{x^2+y^2}}$$

$${}^o T(\bar{x}) = \begin{bmatrix} \frac{y}{\sqrt{x^2+y^2}} & 0 & \frac{x}{\sqrt{x^2+y^2}} & 1 & x \\ \frac{-x}{\sqrt{x^2+y^2}} & 0 & \frac{y}{\sqrt{x^2+y^2}} & 1 & y \\ 0 & -1 & 0 & 1 & 0 \\ 0 & 0 & 0 & 1 & 1 \end{bmatrix}$$

PRODOTTO VETTORIALE

Il prodotto vettoriale $A \times B$ è un vettore che ha
 $\|A \times B\| = |A| \cdot |B| \cdot \sin \alpha$

ed è ortogonale a entrambi i vettori di partenza



$$A = \begin{bmatrix} \hat{x} \\ \hat{y} \\ \hat{z} \end{bmatrix} \quad B = \begin{bmatrix} b_x \\ b_y \\ b_z \end{bmatrix} \quad A \times B = \det \begin{vmatrix} \hat{x} & \hat{y} & \hat{z} \\ a_x & a_y & a_z \\ b_x & b_y & b_z \end{vmatrix} =$$

$$= (a_y b_z - a_z b_y) \hat{x} + (a_z b_x - a_x b_z) \hat{y} + (a_x b_y - a_y b_x) \hat{z}$$

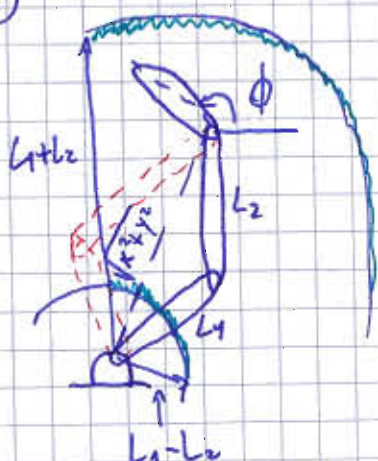
$$A \times B = \begin{bmatrix} a_y b_z - a_z b_y \\ a_z b_x - a_x b_z \\ a_x b_y - a_y b_x \end{bmatrix} \quad \text{Non è commutativo!!}$$

$\hat{x} \times \hat{y} = \hat{z}$
$\hat{y} \times \hat{z} = \hat{x}$
$\hat{z} \times \hat{x} = \hat{y}$

26/10/09

METODI RISOLUTIVI CINEMATICA INVERSA

①



	d_{i+1}	α_{i+1}	θ_i	d_i
1	0	0	θ_1	0
2	0	L_1	θ_2	0
3	0	L_2	θ_3	0

$${}^0 T = \begin{bmatrix} c_1 & -s_1 & 0 & 0 \\ s_1 & c_1 & 0 & 0 \\ 0 & 0 & 1 & 0 \\ 0 & 0 & 0 & 1 \end{bmatrix} \quad {}^1 T = \begin{bmatrix} c_2 & -s_2 & 0 & L_1 \\ s_2 & c_2 & 0 & 0 \\ 0 & 0 & 1 & 0 \\ 0 & 0 & 0 & 1 \end{bmatrix}$$

$${}^2T = \begin{bmatrix} C_3 & -S_3 & 0 & L_2 \\ S_3 & C_3 & 0 & 0 \\ 0 & 0 & 1 & 0 \\ 0 & 0 & 0 & 1 \end{bmatrix}$$

$${}^0T = {}^0T \cdot {}^1T = \begin{bmatrix} C_1C_2 - S_1S_2 & -C_1S_2 - S_1C_2 & 0 & L_1C_1 \\ S_1C_2 + C_1S_2 & -S_1S_2 + C_1C_2 & 0 & L_1S_1 \\ 0 & 0 & 1 & 0 \\ 0 & 0 & 0 & 1 \end{bmatrix} =$$

semplificare
 $C_{12} = C(\theta_1 + \theta_2)$

$$= \begin{bmatrix} C_{12} & -S_{12} & 0 & L_1C_1 \\ S_{12} & C_{12} & 0 & L_1S_1 \\ 0 & 0 & 1 & 0 \\ 0 & 0 & 0 & 1 \end{bmatrix}$$

per: ${}^0T \cdot {}^3T$

$${}^0T = \begin{bmatrix} C_{123} & -S_{123} & 0 & L_1C_1 + L_2C_2 \\ S_{123} & C_{123} & 0 & L_1S_1 + L_2S_2 \\ 0 & 0 & 1 & 0 \\ 0 & 0 & 0 & 1 \end{bmatrix}$$

DATA questa matrice risolviamo il problema di cinematica inversa.

Se che $T(\bar{x}) = \begin{bmatrix} C\phi & -S\phi & 0 & X \\ S\phi & C\phi & 0 & Y \\ 0 & 0 & 1 & 0 \\ 0 & 0 & 0 & 1 \end{bmatrix}$

Confronto le due matrici: le costanti devono corrispondere altrimenti una delle due matrici e' sbagliata.

Ricavo tutte le equazioni che servono.

$$C\phi = C_{123}$$

$$S\phi = S_{123}$$

$$x = L_1 C_1 + L_2 C_{12}$$

$$y = L_1 S_1 + L_2 S_{12}$$

SOLUZIONE ①: valida per i manipolatori con giunti rotoidali con assi //:

- elice al quadrato e somma x e y

$$x^2 + y^2 = L_1^2 C_1^2 + L_2^2 C_{12}^2 + 2L_1 L_2 C_{12} C_1 + L_1^2 S_1^2 + L_2^2 S_{12}^2 + 2L_1 L_2 S_{12} S_1 =$$

$$= L_1^2 \underbrace{(C_1^2 + S_1^2)}_1 + L_2^2 \underbrace{(C_{12}^2 + S_{12}^2)}_1 + 2L_1 L_2 \underbrace{(C_{12} C_1 + S_{12} S_1)}_{\cos(\theta_{H22} - \theta_1)} = \cos \theta_2$$

$$= L_1^2 + L_2^2 + 2L_1 L_2 C_2$$

$$\cos \theta_2 = \frac{x^2 + y^2 - L_1^2 - L_2^2}{2L_1 L_2}$$

ho trovato $\cos \theta_2$ in funzione delle variabili dello spazio operativo

Tuttavia, non posso usare θ_{H22} perché non riesco a ricavare S_2 .

$$\theta_2 = \pm \arccos \left(\frac{x^2 + y^2 - L_1^2 - L_2^2}{2L_1 L_2} \right) \quad \text{doppie soluzioni !!}$$

Dovrò però impostare che $\left| \frac{x^2 + y^2 - L_1^2 - L_2^2}{2L_1 L_2} \right| \leq 1$ perché il coseno è compreso tra -1 e 1.

$$|x^2 + y^2 - L_1^2 - L_2^2| \leq 2L_1 L_2$$

$$-2L_1 L_2 \leq x^2 + y^2 - L_1^2 - L_2^2 \leq 2L_1 L_2$$

$$-2L_1 L_2 + L_1^2 + L_2^2 \leq x^2 + y^2 \leq 2L_1 L_2 + L_1^2 + L_2^2$$

$$(L_1 - L_2)^2 \leq x^2 + y^2 \leq (L_1 + L_2)^2$$

Quindi il punto deve appartenere allo spazio di lavoro.
 (x, y) deve essere allo spazio operativo assegnato.

Espresso le equazioni di x e y .

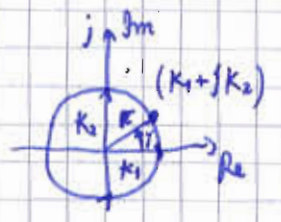
$$x = L_1 C_1 + L_2 C_1 C_2 - L_2 S_1 S_2$$

$$y = L_1 S_1 + L_2 S_1 C_2 + L_2 C_1 S_2$$

$$\begin{aligned} x &= \underbrace{(L_1 + L_2 C_2)}_{K_1} C_1 - \underbrace{L_2 S_1 S_2}_{K_2} = K_1 C_1 - K_2 S_1 \\ y &= \underbrace{L_2 S_2}_{K_2} C_1 + S_1 \underbrace{(L_1 + L_2 C_2)}_{K_1} = K_2 C_1 + K_1 S_1 \end{aligned}$$

ora devo trovare S_1 e C_1
 perché K_1 e K_2 sono noti

Vedo K_1 e K_2 come parte reale e parte immaginaria di un numero complesso:



$$r = \sqrt{K_1^2 + K_2^2}$$

$$K_1 = r \cos \gamma$$

$$K_2 = r \sin \gamma$$

$$\gamma = \text{Atan2}(K_2, K_1)$$

$$\begin{aligned} x &= r C \gamma C_1 - r S \gamma S_1 & \frac{x}{r} &= C \gamma C_1 - S \gamma S_1 = \cos(\gamma + \theta_1) \\ y &= r S \gamma C_1 + r C \gamma S_1 & \frac{y}{r} &= S \gamma C_1 + C \gamma S_1 = \sin(\gamma + \theta_1) \end{aligned}$$

$$\gamma + \theta_1 = \text{Atan2}\left(\frac{y}{r}, \frac{x}{r}\right) = \text{Atan2}(y, x)$$

magnitudo
tangente

$$\boxed{\theta_1 = \text{Atan2}(y, x) - \gamma = \text{Atan2}(y, x) - \text{Atan2}(K_2, K_1)}$$

$$\begin{cases} C\phi = C_{123} \\ S\phi = S_{123} \end{cases} \Rightarrow \phi = \theta_1 + \theta_2 + \theta_3 \Rightarrow \theta_3 = \phi - \theta_1 - \theta_2$$

dato appena calcolati

Queste formule non funziona quando:

$$y = x = 0$$

$$K_1 = K_2 = 0$$

$$r = 0$$

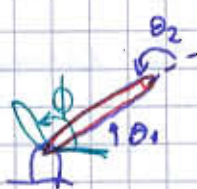
In realtà è un caso solo:

$$\text{se } K_1 = K_2 = 0, r = \sqrt{K_1^2 + K_2^2} = 0 \quad \text{e } K_1^2 + K_2^2 = (L_1 + L_2 C_2)^2 + (L_2 S_2)^2 = \\ = L_1^2 + L_2^2 C_2^2 + 2 L_1 L_2 C_2 + L_2^2 S_2^2 = L_1^2 + L_2^2 + 2 L_1 L_2 C_2 = x^2 + y^2 \Rightarrow \begin{array}{l} x = 0 \\ y = 0 \end{array}$$

visto prima

$L_1 \neq L_2 \Rightarrow$ le singolarità non si verifica

$$L_1 = L_2 \Rightarrow$$



$$\theta_2 = 180^\circ = \pi$$

θ_1 qualsiasi

$$\theta_3 = \phi - \theta_1 - \theta_2 \text{ come prima}$$

∞ soluzioni

② Metodo risolutivo

Se dopo un po' di calcoli mi viene una equazione del genere

$$a \cos \theta + b \sin \theta = c$$

Trasformo l'equazione in un'equazione polinomiale

$$u(\theta) : [-\pi, \pi] \rightarrow \mathbb{R}$$

$$\theta \rightarrow u = \operatorname{tg} \frac{\theta}{2}$$

$$\theta = 2 \operatorname{arctg} u$$

Dimostrazione

$$\cos \theta = \cos(2 \operatorname{arctg} u)$$

$$\sin \theta = \sin(2 \operatorname{arctg} u)$$

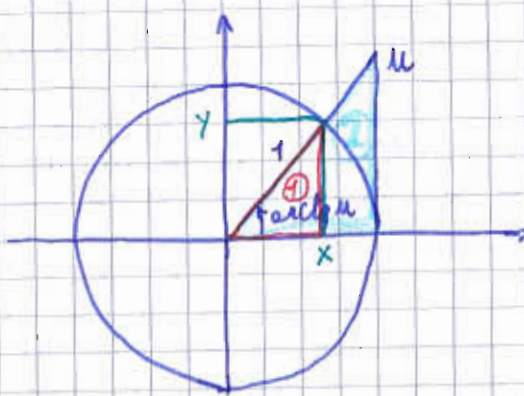
formula duplicazione angoli

$$\cos 2\alpha = \cos^2 \alpha - \sin^2 \alpha$$

$$\sin 2\alpha = 2 \sin \alpha \cos \alpha$$

$$\cos \theta = \cos^2(\arctg u) - \sin^2(\arctg u)$$

$$\sin \theta = 2 \sin(\arctg u) \cos(\arctg u)$$



$$x = \cos(\arctg u)$$

$$y = \sin(\arctg u)$$

simile

$$\frac{x}{1} = \frac{1}{\sqrt{1+u^2}}$$

ipotenusa
circonferenza
raggio unitario

$$\frac{y}{u} = \frac{1}{\sqrt{1+u^2}} \Rightarrow$$

$$\boxed{y = \frac{u}{\sqrt{1+u^2}}}$$

$$\boxed{x = \frac{1}{\sqrt{1+u^2}}}$$

$$\cos \theta = x^2 - y^2 = \frac{1}{1+u^2} - \frac{u^2}{1+u^2}$$

$$\sin \theta = 2xy = \frac{2u}{1+u^2}$$

$$\cos \theta = \frac{1-u^2}{1+u^2}$$

$$\sin \theta = \frac{2u}{1+u^2}$$

$$a \cdot \frac{1-u^2}{1+u^2} + b \cdot \frac{2u}{1+u^2} = c \quad a - au^2 + 2bu = c + cu^2$$

$$(c+a)u^2 - 2bu + (c-a) = 0 \quad a, b, c \text{ sono noti}$$

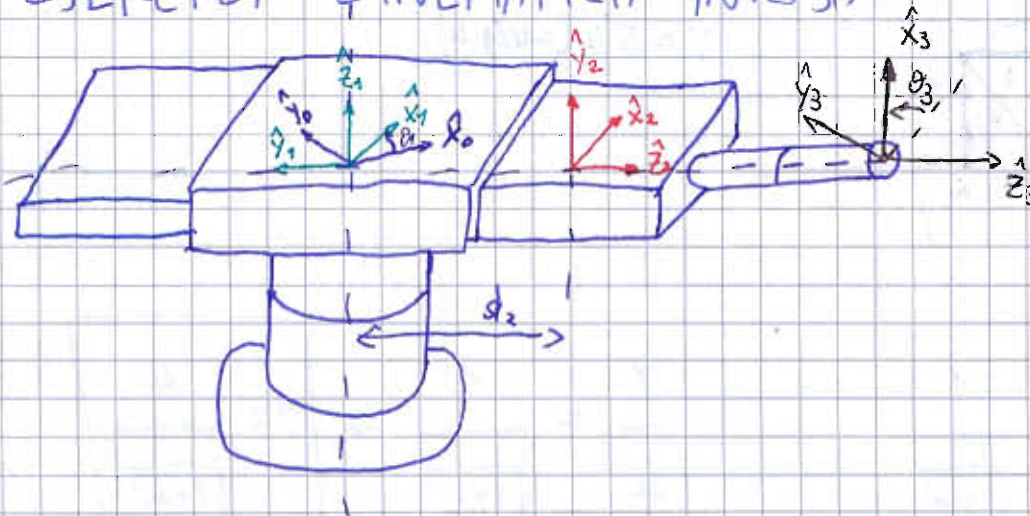
$$\mu_{1,2} = \frac{b \pm \sqrt{b^2 - (c^2 - a^2)}}{c+a} = \frac{b \pm \sqrt{b^2 + a^2 - c^2}}{c+a} \quad \text{ricavo la } \mu.$$

$$\boxed{\theta = 2\arctg \mu = 2\arctg \frac{b \pm \sqrt{b^2 + a^2 - c^2}}{c+a}} \quad \text{doppia soluzione}$$

ESERCIZI FINEMATICA INVERSA

28/10/09

①



$${}^3T(\theta_1, \theta_2, \theta_3) = \begin{bmatrix} \bar{c}_1 \bar{c}_3 & -\bar{c}_1 \bar{s}_3 & \bar{s}_1 & (L+d_2) \bar{s}_1 \\ \bar{s}_1 \bar{c}_3 & -\bar{s}_1 \bar{s}_3 & -\bar{c}_1 & -(L+d_2) \bar{c}_1 \\ \bar{s}_3 & \bar{c}_3 & 0 & 0 \\ 0 & 0 & 0 & 1 \end{bmatrix}$$

Dette $\begin{bmatrix} x \\ y \\ z \\ \phi \end{bmatrix}$ posso sapere tutto. Non uno è perché robot planare

ϕ è l'angolo tra \hat{x}_1 e \hat{x}_3 misurato rispetto a \hat{z}_3

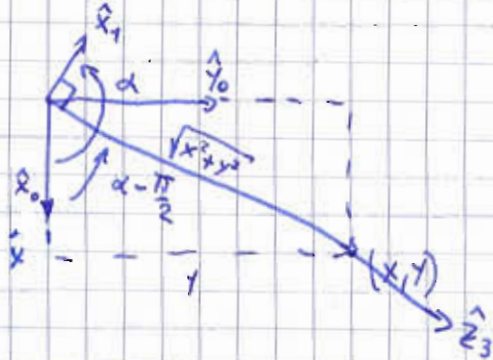
$${}^3R = R_z(\alpha) \cdot R_x(\frac{\pi}{2}) R_z(\phi) =$$

come θ_1 ma
soltanto x
rispetto giunti

rotazione rispetto
 $\alpha \times \text{di} + \frac{\pi}{2}$

$$\begin{aligned}
 &= \begin{bmatrix} c\alpha & -s\alpha & 0 \\ s\alpha & c\alpha & 0 \\ 0 & 0 & 1 \end{bmatrix} \begin{bmatrix} 1 & 0 & 0 \\ 0 & c\frac{\pi}{2} & -s\frac{\pi}{2} \\ 0 & s\frac{\pi}{2} & c\frac{\pi}{2} \end{bmatrix} \begin{bmatrix} c\phi & -s\phi & 0 \\ s\phi & c\phi & 0 \\ 0 & 0 & 1 \end{bmatrix} = \\
 &= \begin{bmatrix} c\alpha & 0 & s\alpha \\ s\alpha & 0 & -c\alpha \\ 0 & 1 & 0 \end{bmatrix} \begin{bmatrix} c\phi & -s\phi & 0 \\ s\phi & c\phi & 0 \\ 0 & 0 & 1 \end{bmatrix} = \begin{bmatrix} c\alpha c\phi & 1 - c\alpha s\phi & s\alpha \\ s\alpha c\phi & 1 - s\alpha s\phi & -c\alpha \\ s\phi & c\phi & 0 \end{bmatrix}
 \end{aligned}$$

α è spazio operativo definito e quindi lo devo togliere.
Guardo il robot dall'alto.

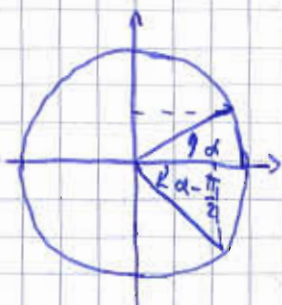


Ho messo il robot in una posizione diversa e quindi cambia α ma non il risultato.
Messo a guardarmi.

$$\cos(\alpha - \frac{\pi}{2}) = \frac{x}{\sqrt{x^2+y^2}}$$

$$\sin(\alpha - \frac{\pi}{2}) = \frac{y}{\sqrt{x^2+y^2}}$$

\cos e $\sin > 0$ perché $\alpha - \frac{\pi}{2} < \frac{\pi}{2}$



$$\cos(\alpha - \frac{\pi}{2}) = \sin \alpha$$

$$\sin(\alpha - \frac{\pi}{2}) = -\cos \alpha$$

$${}^3T(x, y, \phi) = \begin{bmatrix} -\frac{y}{\sqrt{x^2+y^2}} \cdot c\phi & \frac{y}{\sqrt{x^2+y^2}} s\phi & \frac{x}{\sqrt{x^2+y^2}} & | & x \\ \frac{x}{\sqrt{x^2+y^2}} \cdot c\phi & -\frac{x}{\sqrt{x^2+y^2}} s\phi & \frac{y}{\sqrt{x^2+y^2}} & | & y \\ s\phi & c\phi & 0 & | & 0 \\ 0 & 0 & 0 & | & 1 \end{bmatrix}$$

Comparando ${}^3T(x, y, \phi)$ con ${}^3T(\theta_1, d_2, \theta_3)$ e ricavando θ_1, d_2, θ_3 in funzione di x, y, ϕ

$$\begin{cases} S_3 = S\phi \\ C_3 = C\phi \end{cases} \Rightarrow \boxed{\theta_3 = \phi}$$

$$\begin{cases} S_1 = \frac{x}{\sqrt{x^2+y^2}} \\ C_1 = -\frac{y}{\sqrt{x^2+y^2}} \end{cases} \Rightarrow \boxed{\theta_1 = \text{Atan2}\left(\frac{x}{\sqrt{x^2+y^2}}, \frac{-y}{\sqrt{x^2+y^2}}\right) = \text{Atan2}(x, -y)}$$

noto perché $\sqrt{x^2+y^2} > 0$

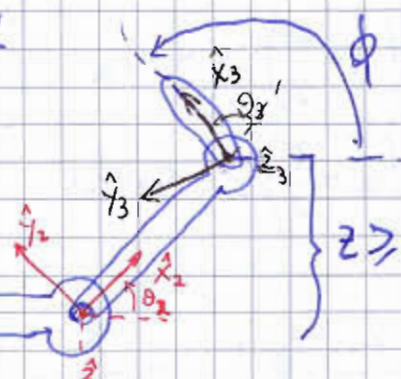
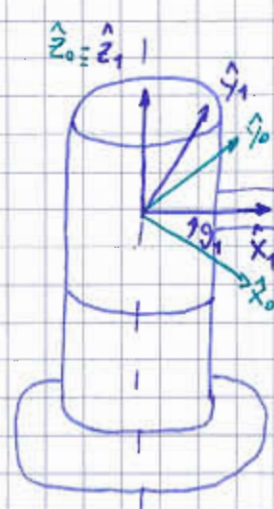
Casi singolari? $x=y=0$ punto est di fuori dello spazio operativo (altrimenti sarebbe θ_1 qualsiasi). Non c'è singolarità.

$$\begin{cases} x = S_1(L + d_2) \\ y = -C_1(L + d_2) \end{cases} \Rightarrow x = \frac{x}{\sqrt{x^2+y^2}}(L + d_2) \Rightarrow \boxed{d_2 = \sqrt{x^2+y^2} - L} \quad \begin{array}{l} \text{ottima soluzione,} \\ \text{non dà luogo} \\ \text{a singolarità} \end{array}$$

Se avessi fatto: $\frac{x}{S_1} = L + d_2 \Rightarrow d_2 = \frac{x}{S_1} - L$ θ_1 qualsiasi e si può essere uguale a 0.

Dovrei tenere conto dei casi particolari e dare una rappresentazione alternativa: $d_2 = -\frac{y}{C_1} - L$

②



così il braccio non va rotto

$${}^0T(\theta_1, \theta_2, \theta_3) = \begin{bmatrix} C_1 C_{23} & -C_1 S_{23} & S_1 & | & C_1(L_1 + L_2 C_2) \\ S_1 C_{23} & -S_1 S_{23} & -C_1 & | & S_1(L_1 + L_2 C_2) \\ S_{23} & C_{23} & 0 & | & L_2 S_2 \\ 0 & 0 & 0 & | & -1 \\ 0 & 0 & 0 & | & -1 \end{bmatrix}$$

posizione e
orientamento
della carna
intensile
rispetto alla
carra di base

Non mi viene data la forma minima ma una matrice

$${}^0T = \begin{bmatrix} r_{11} & r_{12} & r_{13} & | & x \\ r_{21} & r_{22} & r_{23} & | & y \\ r_{31} & r_{32} & 0 & | & z \\ 0 & 0 & 0 & | & 1 \end{bmatrix}$$

Risolvo la cinematica inversa.

$$\begin{aligned} S_1 &= r_{13} & \Rightarrow \theta_1 &= \text{Atan2}(S_1, C_1) = \text{Atan2}(r_{13}, -r_{23}) \\ C_1 &= -r_{23} & & \text{non possono essere} \\ & & & \checkmark, \text{ entrambi } 0. \\ & & & \hookrightarrow n \neq n; \\ & & & \text{errore} \\ & & & \text{operatore} \end{aligned}$$

$$\begin{aligned} x &= C_1(L_1 + L_2 C_2) \Rightarrow \left(\frac{x}{C_1} - L_1 \right) \cdot \frac{1}{L_2} = C_2 & \Rightarrow \theta_2 &= \text{Atan2}\left(\frac{z}{L_2}, \left(\frac{x}{C_1} - L_1 \right) \frac{1}{L_2}\right) \\ z &= L_2 S_2 \Rightarrow S_2 &= \frac{z}{L_2} \end{aligned}$$

Questa soluzione però presenta soluzioni singolari ($C_1=0$) da calcolare ...

Ottro provo a moltiplicare la prima equazione per C_1

$$x \cdot C_1 = C_1^2 (L_1 + L_2 C_2)$$

e la seconda equazione ($y=...$) per S_1

$$y \cdot S_1 = S_1^2 (L_1 + L_2 C_2)$$

poi sommo

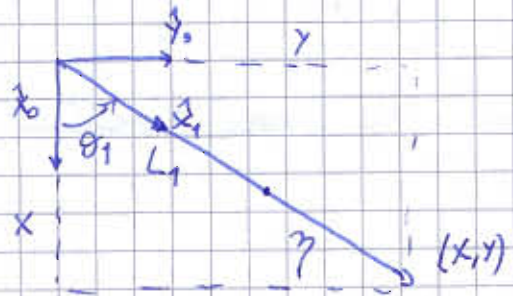
$$x \cdot C_1 + y \cdot S_1 = \underbrace{(S_1^2 + C_1^2)}_4 (L_1 + L_2 C_2) \Rightarrow C_2 = \frac{x \cdot C_1 + y \cdot S_1 - L_1}{L_2} \stackrel{\text{OK}}{\rightarrow} \text{sempre } > 0$$

Nessuna singolarità

$$S_2 = \frac{z}{L_2} \text{ come prima}$$

$$\theta_2 = \text{Atan2}(s_2, c_2) \stackrel{*}{=} \text{Atan2}(z_1 \cdot c_1 + y_1 \cdot -l_1)$$

Verifichiamo se c'è una singolarità qui. Guardo il manipolatore dall'alto



$\eta \rightarrow$ posizione primo braccio e terra

$$z_1 \rightarrow z_3$$



$$\theta_1 + \eta = h$$

$$h = \frac{x}{c_1} \Rightarrow x = h \cdot c_1$$

$$x \cdot c_1 + y \cdot s_1 - L_1 = h \cdot c_1^2 + h \cdot s_1^2 - L_1 = h - L_1 = \eta$$

$$h = \frac{y}{s_1} \Rightarrow y = h \cdot s_1 \quad \text{ma } h > L \text{ a meno che il braccio non sia verticale, ma in quel caso } \eta \geq 0$$

$\Rightarrow (0,0)$ non si può mai verificare.

$$\begin{aligned} s_{23} &= r_{31} \\ c_{23} &= r_{32} \end{aligned} \Rightarrow \theta_2 + \theta_3 = \text{Atan2}(s_{23}, c_{23}) = \text{Atan2}(r_{31}, r_{32})$$

$$\boxed{\theta_3 = \text{Atan2}(r_{31}, r_{32}) - \theta_2}$$

Nessuna singolarità neanche in questo caso.

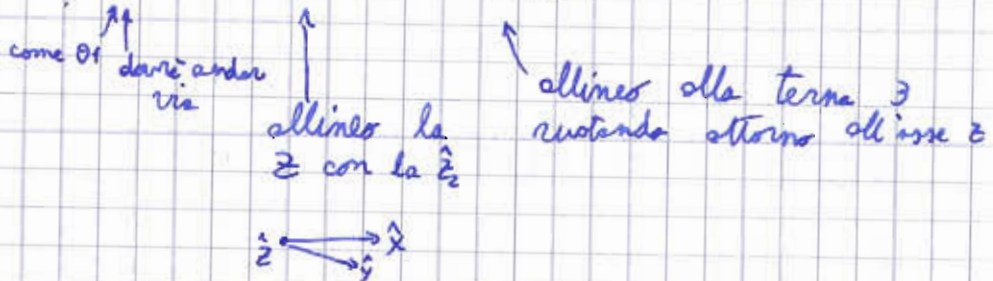
Rivediamo ora il problema nel modo precedente, ovvero avendo assegnato il punto nello spazio operativo.

$$\bar{x} = \begin{bmatrix} x \\ y \\ \phi \end{bmatrix}$$

la z non viene data perché le posso ricavare.

angolo tra \hat{x}_1 e \hat{x}_3 su \hat{z}_3

$${}^o R = R_z(\alpha) \cdot R_x\left(\frac{\pi}{2}\right) \cdot R_z(\phi)$$



La matrice finale è

$${}^o R = \begin{bmatrix} \cos \alpha & -\cos \phi & \sin \phi \\ \sin \alpha & \sin \phi & -\cos \phi \\ \sin \phi & \cos \phi & 0 \end{bmatrix}$$

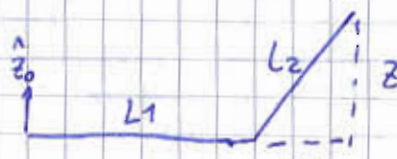
$$\cos \alpha = \frac{x}{r} \cdot \frac{x}{\sqrt{x^2+y^2}}$$

regni: $\alpha < \frac{\pi}{2}$
 $\Rightarrow \cos \alpha > 0$

$$\sin \alpha = \frac{y}{r} = \frac{y}{\sqrt{x^2+y^2}}$$

OK

Novo z



$$L_1 + \eta = \sqrt{x^2+y^2} \Rightarrow \eta = \sqrt{x^2+y^2} - L_1$$

$$z = \sqrt{L_2^2 - \eta^2} = \sqrt{L_2^2 - (\sqrt{x^2+y^2} - L_1)^2} = z(x, y)$$

$${}^o T(x, y, \phi) = \begin{bmatrix} \frac{x}{\sqrt{x^2+y^2}} \cos \phi & -\frac{x}{\sqrt{x^2+y^2}} \sin \phi & \frac{y}{\sqrt{x^2+y^2}} & x \\ \frac{y}{\sqrt{x^2+y^2}} \cos \phi & -\frac{y}{\sqrt{x^2+y^2}} \sin \phi & -\frac{x}{\sqrt{x^2+y^2}} & y \\ \sin \phi & \cos \phi & 0 & z(x, y) \\ 0 & 0 & 0 & 1 \end{bmatrix}$$

$$s_1 = \frac{y}{\sqrt{x^2+y^2}}$$

$$\Rightarrow \boxed{\theta_1 = \text{atan2}(+y, +x)}$$

$$c_1 = +\frac{x}{\sqrt{x^2+y^2}}$$

$\theta_2 = \text{atan2}(\dots)$ come prima

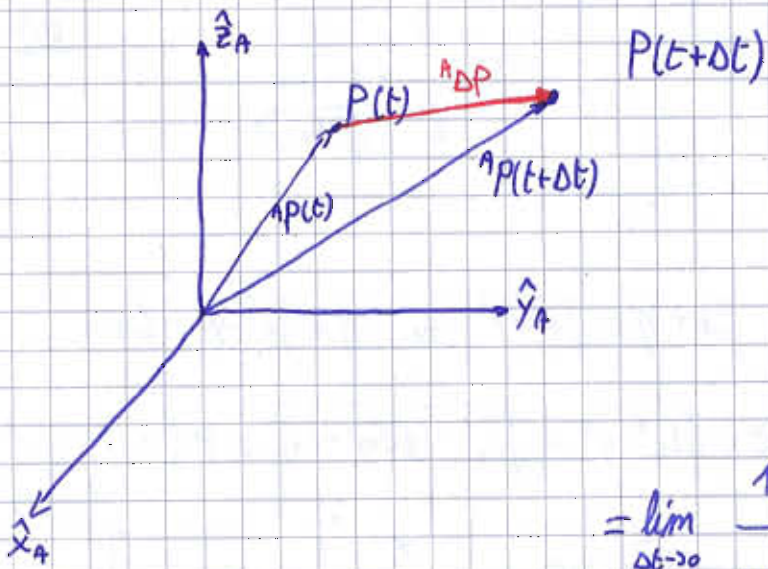
$$S_{23} = S\phi \Rightarrow \phi = \vartheta_2 + \vartheta_3 \Rightarrow \boxed{\vartheta_3 = \phi - \vartheta_2}$$

2/11/09

CINEMATICA DIFFERENZIALE

Consideriamo le velocità dei giunti.

$$v = \lim_{\Delta t \rightarrow 0} \frac{\Delta s}{\Delta t} = \frac{ds}{dt} = \dot{s}$$



$$\Delta P = P(t+Δt) - P(t)$$

$$v_{P,A} = \lim_{\Delta t \rightarrow 0} \frac{\Delta P}{\Delta t} = \lim_{\Delta t \rightarrow 0} \frac{P(t+Δt) - P(t)}{\Delta t} =$$

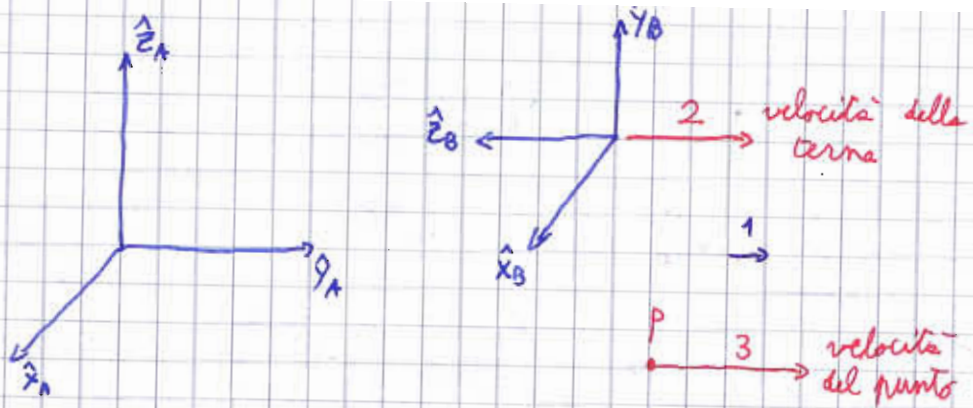
$$= \lim_{\Delta t \rightarrow 0} \frac{1}{\Delta t} \cdot \begin{bmatrix} P_x(t+Δt) - P_x(t) \\ P_y(t+Δt) - P_y(t) \\ P_z(t+Δt) - P_z(t) \end{bmatrix} =$$

$$= \begin{bmatrix} \lim_{\Delta t \rightarrow 0} \frac{P_x(t+Δt) - P_x(t)}{\Delta t} \\ \lim_{\Delta t \rightarrow 0} \frac{P_y(t+Δt) - P_y(t)}{\Delta t} \\ \lim_{\Delta t \rightarrow 0} \frac{P_z(t+Δt) - P_z(t)}{\Delta t} \end{bmatrix} = \begin{bmatrix} \lim_{\Delta t \rightarrow 0} \frac{\Delta P_x}{\Delta t} \\ \lim_{\Delta t \rightarrow 0} \frac{\Delta P_y}{\Delta t} \\ \lim_{\Delta t \rightarrow 0} \frac{\Delta P_z}{\Delta t} \end{bmatrix} = \begin{bmatrix} \dot{P}_x \\ \dot{P}_y \\ \dot{P}_z \end{bmatrix}$$

velocità del punto
P rispetto alla terza A
descritta rispetto alla
terza A

$$\Delta P_{P,A} = \begin{bmatrix} \dot{P}_x \\ \dot{P}_y \\ \dot{P}_z \end{bmatrix}$$

in generale non sono la stessa cosa



$${}^A \bar{v}_{P,A} = \begin{bmatrix} 0 \\ 3 \\ 0 \end{bmatrix}$$

$${}^A \bar{v}_{B,A} = \begin{bmatrix} 0 \\ 2 \\ 0 \end{bmatrix}$$

velocità
della terza
B rispetto
ad A

$${}^A \bar{v}_{P,B} = \begin{bmatrix} 0 \\ 1 \\ 0 \end{bmatrix} = {}^A \bar{v}_{P,A} - {}^A \bar{v}_{B,A}$$

$${}^B \bar{v}_{P,B} = \begin{bmatrix} 0 \\ 0 \\ -1 \end{bmatrix}$$

→ perché si muove nello stesso Z in verso opposto.

da A ad B

$${}^B R = R_x\left(-\frac{\pi}{2}\right) = \begin{bmatrix} 1 & 0 & 0 \\ 0 & 0 & 1 \\ 0 & -1 & 0 \end{bmatrix}$$

in questo caso

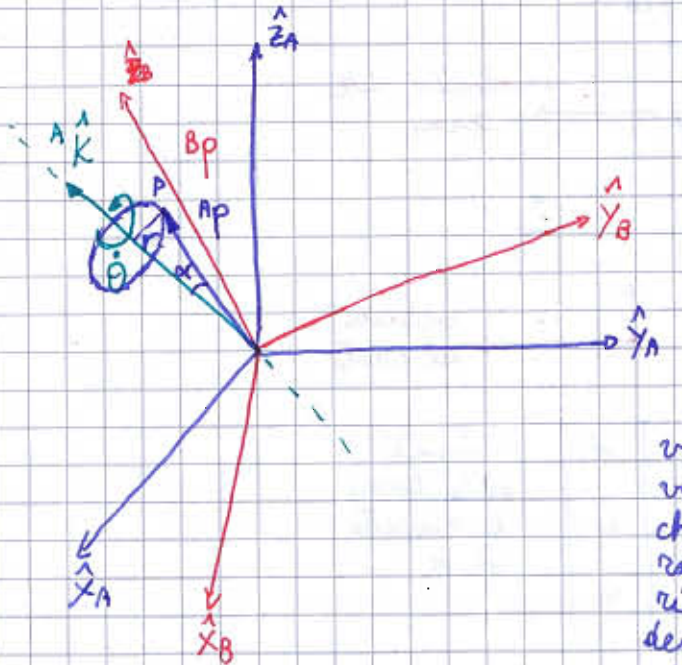
$$\boxed{{}^B \bar{v}_{P,B} = {}^A R \cdot {}^A \bar{v}_{P,B}}$$

$${}^B \bar{v}_{P,B} = \begin{bmatrix} 1 & 0 & 0 \\ 0 & 0 & 1 \\ 0 & -1 & 0 \end{bmatrix} \cdot \begin{bmatrix} 0 \\ 1 \\ 0 \end{bmatrix} = \begin{bmatrix} 0 \\ 0 \\ -1 \end{bmatrix} \quad \underline{\underline{\text{OK}}}$$

C'è una terza che supponiamo sempre fisso, chiamate TERZA INERZIALE. Per i nostri robot la terza inerziale è la Terra \mathcal{O} , e di solito non lo intendono: $\bar{v}_P := {}^B \bar{v}_{P,\mathcal{O}}$.

$$\bar{v}_{P,A} := {}^B \bar{v}_{P,A}$$

$${}^A \bar{v}_P := {}^A \bar{v}_{P,\mathcal{O}}$$



$$\hat{K} = \begin{bmatrix} K_x \\ K_y \\ K_z \end{bmatrix}$$

$${}^A\omega_{B,A} \triangleq \dot{\theta} \cdot \hat{K} = \begin{bmatrix} \dot{\theta} K_x \\ \dot{\theta} K_y \\ \dot{\theta} K_z \end{bmatrix} = \begin{bmatrix} w_x \\ w_y \\ w_z \end{bmatrix}$$

vettore di velocità angolare che descrive la rotazione di B rispetto ad A, descritto rispetto ad A.

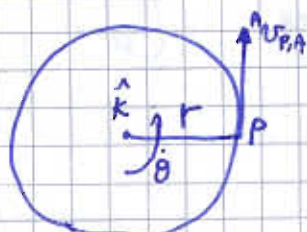
$$\| {}^A\omega_{B,A} \| = \dot{\theta}$$

Anche la velocità angolare ha un segno: poniamo secondo il verso di \hat{K} e se stiamo ruotando nel verso delle dita segno +.

P è solidale con la terna B. Anche P ruota con B attorno all'asse K e individua una velocità lineare.

$${}^Bv_{P,B} = 0 \text{ perché } P \text{ è solidale con } B : {}^Bp = \text{costante}$$

$${}^A\omega_{P,A} = ? \quad r \rightarrow \text{raggio circonferenza}$$



$$\| {}^A\omega_{P,A} \| = \dot{\theta} \cdot r = \| {}^A\omega_{B,A} \| \cdot \| {}^Bp \| \sin \alpha$$

$${}^A\omega_{P,A} = {}^A\omega_{B,A} \times {}^A\omega_{P,B}$$

prodotto vettoriale

$$\dot{\theta} = \| {}^A\omega_{B,A} \|$$

$$r = \| {}^Bp \| \cdot \sin \alpha$$

Se mi forse dato ${}^B P$, ricavo ${}^A P$ come ${}^A P = {}^B R \cdot {}^B P$

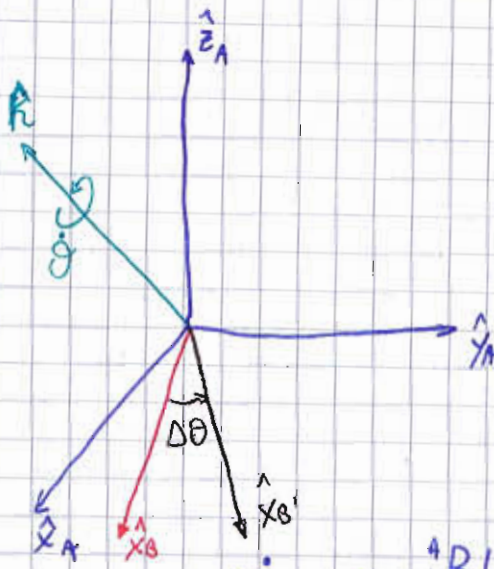
$${}^A \nabla_{P,A} = {}^A w_{B,A} \times {}^A {}_B R \cdot {}^B P$$

N.B. il prodotto vettoriale va fatto dopo il prodotto scalare tra matrice

$$w_B \triangleq {}^0 w_{B,0}$$

$$w_{B,A} \triangleq {}^0 w_{B,A}$$

$${}^A w_B \triangleq {}^A w_{B,0}$$



L'orientamento della terna B rispetto alla terna A non è costante.

$$\frac{{}^A R(t)}{{}^B R} \longrightarrow \frac{{}^A R(t + \Delta t)}{{}^B R}$$

$$\frac{{}^A \dot{R}}{B} = \lim_{\Delta t \rightarrow 0} \frac{{}^A R(t + \Delta t) - {}^A R(t)}{\Delta t} = \lim_{\Delta t \rightarrow 0} \frac{{}^A R - {}^B R}{\Delta t} \neq 0$$

$$\frac{{}^A R}{B} = \left[\begin{array}{c} {}^A \hat{x}_B \\ {}^A \hat{y}_B \\ {}^A \hat{z}_B \end{array} \right]$$

$${}^A \hat{x}_B = R_k(\Delta \theta) {}^A \hat{x}_B \quad \text{rotazione infinitesima } \Delta \theta \rightarrow 0, \text{ pertanto } \sin \Delta \theta,$$

$${}^A \hat{y}_B = R_k(\Delta \theta) {}^A \hat{y}_B \quad C \Delta \theta \text{ si possono semplificare:}$$

$$\left\{ \begin{array}{l} \sin \Delta \theta = \Delta \theta \\ \cos \Delta \theta = 1 \end{array} \right.$$

$$R_k(\Delta \theta) = \begin{bmatrix} k_x^2(1 - \cos \theta) + \cos \theta & k_x k_y(1 - \cos \theta) - k_z \sin \theta & k_z k_x(1 - \cos \theta) + k_y \sin \theta \\ k_x k_y(1 - \cos \theta) + k_z \sin \theta & k_y^2(1 - \cos \theta) + \cos \theta & k_y k_z(1 - \cos \theta) - k_x \sin \theta \\ k_z k_x(1 - \cos \theta) - k_y \sin \theta & k_y k_z(1 - \cos \theta) + k_x \sin \theta & k_z^2(1 - \cos \theta) + \cos \theta \end{bmatrix}$$

$$R_k(\Delta\theta) = \begin{bmatrix} 1 & -K_z \Delta\theta & K_y \Delta\theta \\ K_z \Delta\theta & 1 & -K_x \Delta\theta \\ -K_y \Delta\theta & K_x \Delta\theta & 1 \end{bmatrix}$$

$$\boxed{{}^A_B R = \left[R_k(\Delta\theta) {}^A_{x_0}, {}^A_{y_0}, {}^A_{z_0} \right] = R_k(\Delta\theta) \cdot {}^A_B R}$$

$$\dot{{}^A_B R} = \lim_{\Delta t \rightarrow 0} \frac{{}^A_B R - {}^A_B R}{\Delta t} = \lim_{\Delta t \rightarrow 0} \frac{1}{\Delta t} (R_k(\Delta\theta) {}^A_B R - {}^A_B R) =$$

$$= \lim_{\Delta t \rightarrow 0} \frac{1}{\Delta t} (R_k(\Delta\theta) - I_3) {}^A_B R$$

$$\dot{{}^A_B R} = \lim_{\Delta t \rightarrow 0} \frac{1}{\Delta t} \cdot \begin{bmatrix} 0 & -K_z \Delta\theta & K_y \Delta\theta \\ K_z \Delta\theta & 0 & -K_x \Delta\theta \\ -K_y \Delta\theta & K_x \Delta\theta & 0 \end{bmatrix} \cdot {}^A_B R =$$

$$= \lim_{\Delta t \rightarrow 0} \begin{bmatrix} 0 & -K_z \frac{\Delta\theta}{\Delta t} & K_y \frac{\Delta\theta}{\Delta t} \\ K_z \frac{\Delta\theta}{\Delta t} & 0 & -K_x \frac{\Delta\theta}{\Delta t} \\ -K_y \frac{\Delta\theta}{\Delta t} & K_x \frac{\Delta\theta}{\Delta t} & 0 \end{bmatrix} {}^A_B R = \begin{bmatrix} 0 & -K_z \dot{\theta} & K_y \dot{\theta} \\ K_z \dot{\theta} & 0 & -K_x \dot{\theta} \\ -K_y \dot{\theta} & K_x \dot{\theta} & 0 \end{bmatrix} {}^A_B R =$$

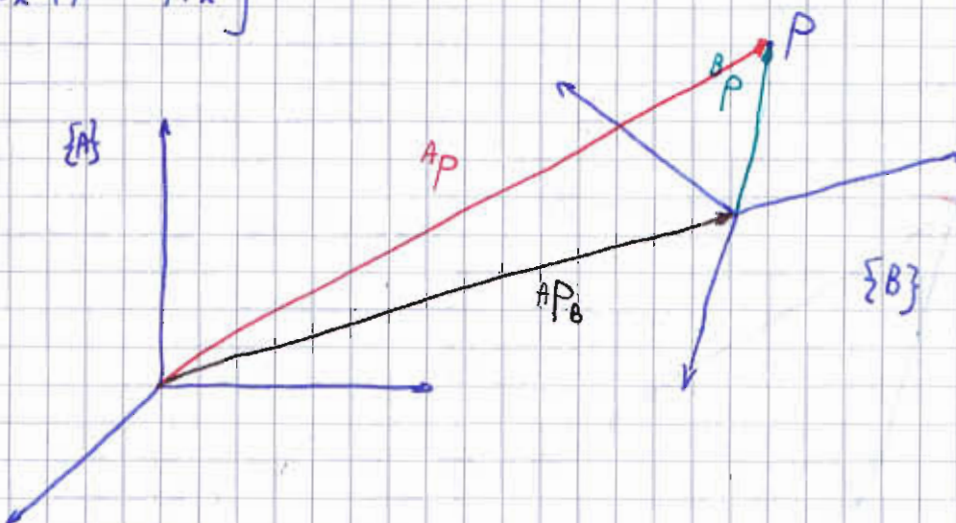
$$= \begin{bmatrix} 0 & -w_z & w_y \\ w_z & 0 & -w_x \\ -w_y & w_x & 0 \end{bmatrix} {}^A_B R \triangleq S({}^A w_{B,A}) \cdot {}^A_B R$$

matrice antisimmetrica: $S = -S^T$

$$\boxed{{}^A_B \dot{R} = S({}^A w_{B,A}) \cdot {}^A_B R}$$

$$S(^A w_{B,A}) {}^A P = \begin{bmatrix} 0 & -w_z & w_y \\ w_z & 0 & -w_x \\ -w_y & w_x & 0 \end{bmatrix} \cdot \begin{bmatrix} P_x \\ P_y \\ P_z \end{bmatrix} =$$

$$= \begin{bmatrix} w_y P_z - w_z P_y \\ w_z P_x - w_x P_z \\ w_x P_y - w_y P_x \end{bmatrix} = {}^A w_{B,A} \times {}^A P$$



$\{B\}$ rototrasale rispetto ad $\{A\}$.

$\{A\}$ ferma

P si muove rispetto alla terra $\{B\}$

$${}^A \tilde{P} = {}_B^A T \cdot {}^B \tilde{P} \quad \text{oppure} \quad {}^A P = {}_B^A R \cdot {}^B P + {}^A P_B$$

${}^A V_{P/A} = ?$ PROBLEMA DELLA COMPOSIZIONE DI VELOCITÀ

$$\begin{aligned} {}^A V_{P/A} &= {}^A \dot{P} = {}_B^A \dot{R} \cdot {}^B P + {}_B^A R \cdot {}^B \dot{P} + {}^A \dot{P}_B = \\ &= S({}^A w_{B,A}) {}_B^A R \cdot {}^B P + {}_B^A R \cdot {}^A V_{P,B} + {}^A V_{B,A} = \end{aligned}$$

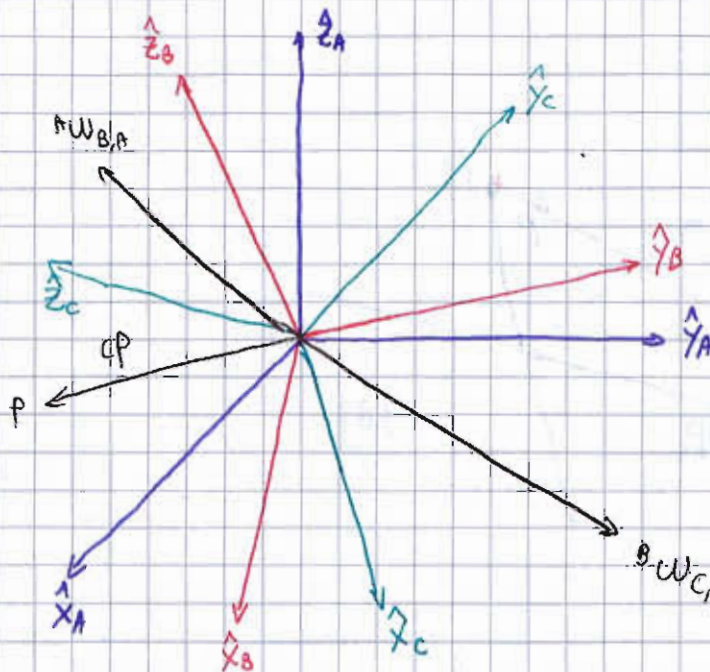
$$\boxed{{}^A V_{P/A} = {}^A w_{B,A} \times {}_B^A R \cdot {}^B P + {}_B^A R \cdot {}^A V_{P,B} + {}^A V_{B,A}}$$

${}^A V_{B,A} \rightarrow$ velocità lineare della terra B rispetto ad A.

${}^A R {}^B v_{P,B} \rightarrow$ velocità relativa del punto P rispetto alla Cima B, descritta rispetto alla terna A.

${}^A w_{B,A} \times {}^B R {}^B v_P \rightarrow$ velocità angolare dovuta alla rotazione.

4/11/09



{A} fissa

{B} ruota rispetto ad {A}

{C} ruota rispetto a {B}

${}^A w_{B,A}, {}^B w_{C,B}$ li conosciamo.

Dovendo trovare ${}^A w_{C,A}$.

cP è costante

$${}^A p = {}^C R {}^C p = {}^B R {}^C R {}^C p$$

$${}^A v_{P,A} = {}^A p = {}^C R {}^C p + {}^C R {}^C p = {}^C R {}^C p = S({}^A w_{C,A}) {}^C R {}^C p = \underbrace{({}^A w_{C,A})}_{\text{vettore}} \times {}^C R {}^C p$$

$$\begin{aligned} {}^A v_{P,A} &= {}^A p = {}^B R {}^C R {}^C p + {}^B R {}^C R {}^C p + {}^B R {}^C R {}^C p = S({}^A w_{B,A}) {}^B R {}^C R {}^C p + {}^B R S({}^B w_{C,B}) {}^C R {}^C p \\ &= S({}^A w_{B,A}) {}^B R {}^C p + {}^B R ({}^B w_{C,B} \times {}^C R {}^C p) = \end{aligned}$$

$$= {}^A w_{B,A} \times {}^B R {}^C p + {}^B R {}^B w_{C,B} \times \frac{{}^B R {}^C R}{{}^B R} {}^C p = \left[\begin{array}{c} {}^A w_{B,A} + {}^B R {}^B w_{C,B} \\ \hline \end{array} \right] \times {}^B R {}^C p$$

solo in questo caso

¶

Il prodotto tra matrici e il prodotto vettoriale non godono della proprietà distributiva, eccetto che per le matrici di rotazione, che sono matrici ORTONORMALI (colonne ortogonali tra loro e di modulo 1) PROPRIE (determinante = 1).

Misagliando le due espressioni della velocità ottengo:

$${}^A w_{c,A} = {}^A w_{B,A} + {}^A R {}^B w_{c,B}$$

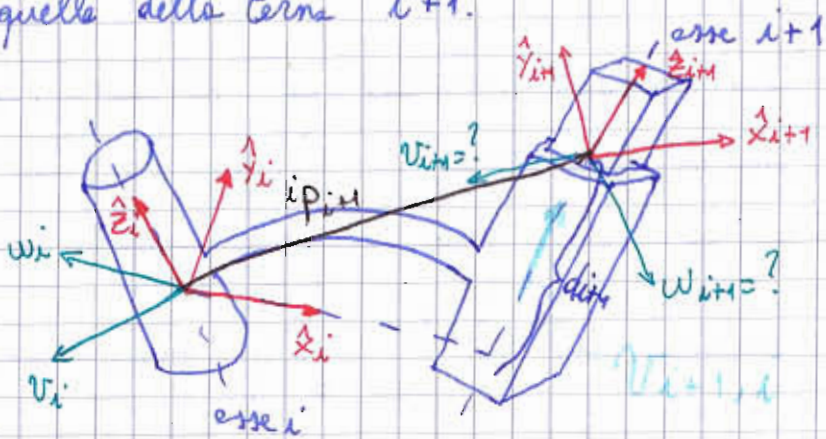
COMPOSIZIONE DELLE
VELOCITÀ ANGOLARI

Grazie a queste relazioni la cinematica differenziale diretta si risolve in modo immediato.

Dato il valore delle velocità di giunto, trovare le velocità lineare e angolare dell'organo utile.

$$\dot{q} = \begin{bmatrix} \dot{q}_1 \\ \dot{q}_2 \\ \vdots \\ \dot{q}_n \end{bmatrix} \implies v_w, w_n$$

Il problema viene risolto mediante un algoritmo. Cerco una formula che date le velocità della terna i riesce a calcolare quella della terna $i+1$.



Da qualche parte ci sarà anche la terna o , che è la terna immobile.

Le terne i sta rototraslando rispetto alla terna o . Il caso delle composizioni fra terne:

$$\{A\} = \{o\} \quad \{B\} = \{i\} \quad P = \{i+1\}_{\text{ORIGINE}}$$

Uso le stesse relazioni trovate in precedenza.

$${}^A v_{P,A} = {}^A v_{B,A} + {}^A R {}^B v_{P,B} + {}^A w_{B,A} \times {}^A R {}^B p$$

$${}^oV_{i+1,0} = {}^oV_{i,0} + {}^iR \cdot {}^iV_{i+1,i} + {}^oW_{i,0} \times {}^iR \cdot {}^iP_{i+1}$$

E ho già risolto il primo problema (V_{i+1}). Ma è poco efficiente dal punto di vista computazionale. Il problema è la ${}^iR = {}^iR \cdot {}^i_1R \cdots {}^iR$ che consuma molto tempo.

Cerco una forma che eviti questo calcolo. Moltiplico entrambi i membri per ${}^iR = {}^{i+1}R \cdot {}^iR$

$${}^{i+1}R \cdot {}^oV_{i+1,0} = \underbrace{{}^{i+1}R \cdot {}^iR \cdot {}^oV_{i,0}}_{{}^{i+1}R \cdot {}^iR \cdot {}^iV_{i+1,i}} + {}^{i+1}R \cdot {}^iR \cdot \underbrace{{}^iR \cdot {}^iR \cdot [{}^oW_{i,0} \times {}^iR \cdot {}^iP_{i+1}]}_{{}^iR \cdot {}^iR \cdot [{}^iR \cdot {}^oW_{i,0} \times {}^iR \cdot {}^iP_{i+1}]}$$

$${}^{i+1}R \cdot {}^oV_{i+1,0} = {}^{i+1}R \cdot {}^iV_{i,0} + {}^{i+1}V_{i+1,i} + {}^{i+1}R \cdot \underbrace{[{}^iR \cdot {}^oW_{i,0} \times \underbrace{{}^iR \cdot {}^iR \cdot {}^iP_{i+1}}_{Id}]}_{{}^iR \cdot {}^iR \cdot {}^iP_{i+1}}$$

$$\boxed{{}^{i+1}V_{i+1} = {}^{i+1}R \left[{}^iV_i + {}^iW_i \times {}^iP_{i+1} \right] + {}^{i+1}V_{i+1,i}}$$

Abbiamo il prodotto per una singola matrice di rotazione, che semplifica i calcoli dal punto di vista computazionale. Nei controllori dei manipolatori si trova quasi sempre questa formula.

Della cinematica diretta conosciamo ${}^{i+1}T = \begin{bmatrix} {}^{i+1}R & {}^{i+1}P_{i+1} \\ 0 & 1 \end{bmatrix}$ per cui ${}^{i+1}R = {}^{i+1}R^T$; iV_i e iW_i le conosciamo, l'unica cosa che mi manca è ${}^{i+1}V_{i+1,i}$, cioè la velocità relativa della Cerna $i+1$ rispetto alla i .

$${}^{i+1}V_{i+1,i} = d_{i+1} \cdot {}^{i+1}\hat{z}_{i+1} = d_{i+1} \cdot \begin{bmatrix} 0 \\ 0 \\ 1 \end{bmatrix} = \begin{bmatrix} 0 \\ 0 \\ d_{i+1} \end{bmatrix}$$

Se il giunto fosse rotoidale, ${}^{i+1}V_{i+1,i} = 0$

$${}^{i+1}V_{i+1,i} = \begin{cases} d_{i+1} \cdot {}^{i+1}\hat{z}_{i+1} & \text{PRISMATICO} \\ 0 & \text{ROTOIDALE} \end{cases}$$

$${}^0\bar{v}_0 \rightarrow {}^1\bar{v}_1 \rightarrow {}^2\bar{v}_2 \rightarrow \dots \rightarrow {}^N\bar{v}_N$$

* ${}^0\bar{v}_0$ devo conoscerla. Per i robot industriali è 0, in generale potrei avere il robot sopra una base mobile: in questo caso avrei \bar{v}_0 = velocità della base.

$$* \bar{v}_N = {}^N R {}^N \bar{v}_N$$

Ora mi manca calcolare la velocità angolare. Ma sempre la relazione trovata in precedenza per le ferme.

$${}^A w_{C,A} = {}^A w_{B,A} + {}^B R {}^B w_{C,B}$$

Postituisco $\{A\} = \{O\}$ $\{B\} = \{i\}$ $\{C\} = \{i+1\}$

$${}^0 w_{i+1,0} = {}^0 w_{i,0} + {}^i R {}^i w_{i+1,i}$$

${}^i R$ mi dà fastidio: moltiplico entrambi i membri per ${}^i R^{-1}$

$${}^0 R {}^0 w_{i+1,0} = {}^{i+1} R {}^i R {}^0 w_{i,0} + {}^{i+1} R {}^i R {}^i w_{i+1,i}$$

$${}^{i+1} w_{i+1} = {}^{i+1} R {}^i w_i + {}^{i+1} w_{i+1,i}$$

ancora una volta devo trovare ${}^{i+1} w_{i+1,i}$, cioè la velocità angolare relativa della ferma $i+1$ rispetto a i .

$${}^{i+1} w_{i+1,i} = \begin{cases} 0 & \text{PRISMATICO} \\ \dot{\vartheta}_{i+1} {}^{i+1} \vec{z}_{i+1} & \text{ROTOIDALE} \end{cases}$$

$${}^0 \bar{w}_0 \rightarrow {}^1 \bar{w}_1 \rightarrow {}^2 \bar{w}_2 \rightarrow \dots \rightarrow {}^N \bar{w}_N$$

* ${}^0 \bar{w}_0$ devo conoscerla, non sempre nulla.

Possiamo ora ad analizzare il caso in cui le velocità non sono costanti: parliamo di ACCELERAZIONI.

$${}^A\alpha_{P,A} = {}^A\dot{w}_{P,A} = \lim_{\Delta t \rightarrow 0} \frac{{}^A w_{P,A}(t+\Delta t) - {}^A w_{P,A}(t)}{\Delta t}$$

ACCELERAZIONE LINEARE
DEL PUNTO A RISPETTO ALLA
TERNA {A}

$${}^A\alpha_{B,A} = {}^A\dot{w}_{B,A} = \lim_{\Delta t \rightarrow 0} \frac{{}^A w_{B,A}(t+\Delta t) - {}^A w_{B,A}(t)}{\Delta t}$$

ACCELERAZIONE ANGOLARE
DELLA TERNA {B} RISPETTO
ALLA TERNA {A}

Anche per le accelerazioni si può usare la notazione compatta.

COMPOSIZIONE DI ACCELERAZIONI ANGOLARI

Prima ho ricavato ${}^A w_{C,A} = {}^A w_{B,A} + {}^A R {}^B w_{C,B}$ e ora basta derivare.

$${}^A\alpha_{C,A} = {}^A\ddot{w}_{C,A} = {}^A\ddot{w}_{B,A} + {}^A\ddot{R} {}^B w_{C,B} + {}^A\ddot{R} {}^B \dot{w}_{C,B}$$

$${}^A\alpha_{C,A} = {}^A\alpha_{B,A} + S({}^A w_{B,A}) {}^A R {}^B w_{C,B} + {}^A R {}^B \alpha_{C,B} =$$

$$\boxed{{}^A\alpha_{C,A} = {}^A\alpha_{B,A} + {}^A R {}^B \alpha_{C,B} + {}^A w_{B,A} \times {}^A R {}^B w_{C,B}}$$

Come prima, voglio un algoritmo ricorsivo per il calcolo.

$${}^i\alpha_{i+1,0} = {}^i\alpha_{i,0} + {}^iR {}^i\alpha_{i+1,i} + {}^i w_{i,0} \times {}^iR {}^i w_{i+1,i}$$

dove ho sostituito $\{A\} = 0$, $\{B\} = \{i\}$, $\{C\} = \{i+1\}$. Moltiplico per iR

$${}^{i+1}R {}^i\alpha_{i+1,0} = {}^{i+1}R {}^iR {}^i\alpha_{i,0} + {}^{i+1}R {}^iR {}^i\alpha_{i+1,i} + {}^{i+1}R {}^iR [{}^i w_{i,0} \times {}^iR {}^i w_{i+1,i}] =$$

$${}^{i+1}\alpha_{i+1} = {}^{i+1}R {}^i\alpha_i + {}^{i+1}\alpha_{i+1,i} + {}^{i+1}R [{}^i w_i \times {}^i w_{i+1,i}]$$

$${}^{i+1}\alpha_{i+1} = {}^{i+1}R {}^i\alpha_i + {}^{i+1}R {}^iR {}^i w_{i,0} \times {}^{i+1}R {}^iR {}^i w_{i+1,i} + {}^{i+1}\alpha_{i+1,i}$$

$${}^{i+1}\alpha_{i+1} = {}^i R {}^i \alpha_i + {}^i R {}^i w_i \times {}^{i+1} w_{i+1,i} + {}^{i+1} \alpha_{i+1,i}$$

Mi manca conoscere ${}^{i+1} \alpha_{i+1,i}$, cioè l'accelerazione angolare relativa della curva $i+1$ rispetto a i .

$${}^{i+1} \alpha_{i+1,i} = \begin{cases} 0 & \text{PRISMATICO} \\ \ddot{\theta}_{i+1} {}^{i+1} \dot{z}_{i+1} & \text{ROTATORIALE} \end{cases}$$

9/11/2009

COMPOSIZIONE DI ACCELERAZIONI

${}^A v_{P,A} = {}^A v_{B,A} + {}^A R {}^B v_{P,B} + {}^A w_{B,A} \times {}^A R {}^B p$ queste era la relazione per le velocità.

$${}^A a_{P,A} = ?$$

$$\begin{aligned} {}^A a_{P,A} &= {}^A \ddot{v}_{P,A} = {}^A \ddot{v}_{B,A} + {}^A R {}^B \ddot{v}_{P,B} + {}^A R {}^B \ddot{v}_{P,B} + {}^A w_{B,A} \times {}^A R {}^B p + \\ &+ {}^A w_{B,A} \times {}^A R {}^B p + {}^A w_{B,A} \times {}^A R {}^B p = \\ &= {}^A a_{B,A} + S({}^A w_{B,A}) {}^A R {}^B v_{P,B} + {}^A R {}^B a_{P,B} + {}^A \alpha_{B,A} \times {}^A R {}^B p + {}^A w_{B,A} \times S({}^A w_{B,A}) {}^A R {}^B p + \\ &+ {}^A w_{B,A} \times {}^A R {}^B v_{P,B} = \\ &= {}^A a_{B,A} + 2 \cdot {}^A w_{B,A} \times {}^A R {}^B v_{P,B} + {}^A R {}^B a_{P,B} + {}^A \alpha_{B,A} \times {}^A R {}^B p + {}^A w_{B,A} \times ({}^A w_{B,A} \times {}^A R {}^B p) + \\ & {}^A a_{P,A} = \overbrace{{}^A a_{B,A}}^1 + \overbrace{2 \cdot {}^A w_{B,A} \times {}^A R {}^B v_{P,B}}^2 + \overbrace{{}^A R {}^B a_{P,B}}^3 + \overbrace{{}^A \alpha_{B,A} \times {}^A R {}^B p}^4 + \overbrace{{}^A w_{B,A} \times ({}^A w_{B,A} \times {}^A R {}^B p)}^5. \end{aligned}$$

- 1) accelerazione relativa tra B e A
- 2) accelerazione relativa di P rispetto a B
- 3) accelerazione angolare di B rispetto ad A che one genera una linea
- 4) accelerazione centripeta
- 5) accelerazione di CORIOLIS

Consideriamo ora il manipolatore: $\{A\} = \{o\}$ $\{B\} = \{i\}$ $\rho = \{i+1\}$

$${}^0a_{i+1,0} = {}^0a_{i,0} + {}^iR {}^i{}^0a_{i+1,i} + {}^i\alpha_{i,0} \times {}^iR {}^iP_{i+1} + 2 {}^0w_{i,0} \times {}^iR {}^iV_{i+1,i} + {}^0w_{i,0} \times ({}^0w_{i,0} \times {}^iR {}^iP_{i+1})$$

lunga da
calcolare

\downarrow
descrivere ${}^0a_{i+1,0}$ secondo la terza i : moltiplicar per iR

$$\begin{aligned} {}^iR {}^0a_{i+1,0} &= {}^iR {}^0R {}^i{}^0a_{i,0} + \underbrace{{}^iR {}^0R {}^i{}^0a_{i+1,i}}_{{}^{i+1}R {}^i{}^0a_{i+1,i}} + {}^{i+1}R {}^iR \left({}^0\alpha_{i,0} \times {}^iR {}^iP_{i+1} \right) + \\ &+ 2 \underbrace{{}^{i+1}R {}^iR \left({}^0w_{i,0} \times {}^iR {}^iV_{i+1,i} \right)}_{{}^{i+1}R {}^iR \left[{}^0w_{i,0} \times \left({}^0w_{i,0} \times {}^iR {}^iP_{i+1} \right) \right]} + \\ &= {}^{i+1}R \cdot {}^i{}^0a_{i,0} + {}^{i+1}a_{i+1,i} + {}^{i+1}R \left({}^i\alpha_{i,0} \times {}^iP_{i+1} \right) + 2 {}^{i+1}iR {}^0w_{i,0} \times {}^{i+1}R {}^iR {}^iR {}^iP_{i+1} \\ &+ {}^{i+1}R \left[{}^i{}^0w_{i,0} \times {}^iR \left({}^0w_{i,0} \times {}^iR {}^iP_{i+1} \right) \right] \end{aligned}$$

$${}^{i+1}a_{i+1} = {}^{i+1}R \left[{}^i{}^0a_i + {}^i{}^0\alpha_i \times {}^iP_{i+1} + {}^i{}^0w_i \times ({}^i{}^0w_i \times {}^iP_{i+1}) \right] + {}^{i+1}a_{i+1,i} + 2 {}^{i+1}iR {}^i{}^0w_i \times {}^{i+1}R {}^i{}^0v_{i+1,i}$$

\downarrow moto da noto \downarrow noto \downarrow noto da noto \downarrow noto da noto \downarrow ? \downarrow ${}^i{}^0w_i$ \downarrow ?
 \downarrow ${}^{i+1}T$ \downarrow ${}^{i+1}T$ \downarrow ${}^{i+1}T$ \downarrow ${}^{i+1}T$

$${}^{i+1}v_{i+1,i} = \begin{cases} 0 & \text{ROTOIDALE} \\ {}^{i+1}\dot{z}_{i+1} & \text{PRISMATICO} \end{cases}$$

$${}^{i+1}q_{i+1,i} = \begin{cases} 0 & \text{ROTOIDALE} \\ {}^{i+1}\ddot{z}_{i+1} & \text{PRISMATICO} \end{cases}$$

Per che ${}^{i+1}w_{i+1} = {}^{i+1}R {}^i{}^0w_i + {}^{i+1}w_{i+1,i}$, sostituiscilo posto di questo ${}^{i+1}w_{i+1}$. Questo perché

${}^{i+1}R {}^i{}^0w_i$ se il giunto i è prismatico

$${}^{i+1}w_{i+1} = {}^{i+1}R {}^i{}^0w_i + {}^{i+1}w_{i+1} = \begin{cases} {}^{i+1}R {}^i{}^0w_i + {}^{i+1}w_{i+1} & \text{se il giunto } i \text{ è rotoidale,} \\ 0 & \text{ma poiché viene moltiplicato per } {}^{i+1}v_{i+1,i} \\ & \text{che è nulla per giunto rotoidale, ok} \end{cases}$$

$${}^0\alpha_0 \rightarrow {}^1\alpha_1 \rightarrow {}^2\alpha_2 \rightarrow \dots \rightarrow {}^n\alpha_n$$

$${}^0\alpha_0 \rightarrow {}^1\alpha_1 \rightarrow {}^2\alpha_2 \rightarrow \dots \rightarrow {}^n\alpha_n$$

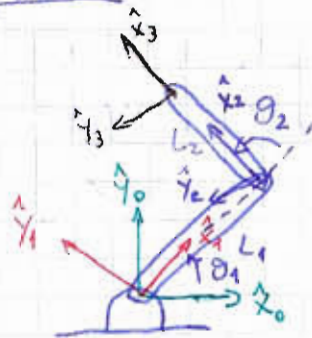
${}^0\alpha_0$ e ${}^0\alpha_0$ dipendono dalla situazione in cui è il manipolatore.

${}^0\alpha_0$ non è se il manipolatore è fermo perché è soggetto all'accelerazione di gravità.

$${}^0\alpha_0 = \begin{bmatrix} 0 \\ 0 \\ 0 \\ +g \end{bmatrix}$$

↳ perché va verso l'alto (ascensore), cioè verso opposto rispetto a quello della terra.

ESEMPIO



	d_{i-1}	θ_{i-1}	g_i	d_i
1	0	0	g_1	0
2	0	L_1	θ_2	0
3	0	L_2	0	0

Metto un'altra linea (3) nell'organico intessile ottenuto traslando la 2. Nell'ultima riga non c'è nessuna variabile di giunto.

$${}^0T = \begin{bmatrix} C_1 & -S_1 & 0 & 0 \\ S_1 & C_1 & 0 & 0 \\ 0 & 0 & 1 & 0 \\ 0 & 0 & 0 & 1 \end{bmatrix}$$

$${}^1T = \begin{bmatrix} C_2 & -S_2 & 0 & 1 \\ S_2 & C_2 & 0 & 0 \\ 0 & 0 & 1 & 0 \\ 0 & 0 & 0 & 1 \end{bmatrix} + P_2$$

$${}^2T = \begin{bmatrix} 1 & 0 & 0 & L_2 \\ 0 & 1 & 0 & 0 \\ 0 & 0 & 1 & 0 \\ 0 & 0 & 0 & 1 \end{bmatrix}$$

Applico ora le formule ricorsive appena viste.

$${}^{i+1}w_{i+1} = {}^iR \cdot {}^i w_i + {}^{i+1}w_{i+1,i}$$

$${}^{i+1}v_{i+1} = {}^iR \left({}^iv_i + {}^i w_i \times {}^i p_{i+1} \right) + {}^{i+1}v_{i+1,i}$$

o giri intorno al centro di rotazione

$$1) {}^1w_1 = {}^0R \cdot {}^0\dot{\psi}_0 + {}^1w_{1,0} = \dot{\theta}_1 \quad {}^1\hat{z}_1 = \begin{bmatrix} 0 \\ 0 \\ \dot{\theta}_1 \end{bmatrix}$$

$${}^1v_1 = {}^0R \left({}^0\dot{\psi}_0 + {}^0\dot{\psi}_0 \times {}^0p_1 \right) = 0$$

$$2) {}^2w_2 = {}^1R \cdot {}^1w_1 + {}^2w_{2,1} = \begin{bmatrix} c_2 & s_2 & 0 \\ -s_2 & c_2 & 0 \\ 0 & 0 & 1 \end{bmatrix} \cdot \begin{bmatrix} 0 \\ 0 \\ \dot{\theta}_1 \end{bmatrix} + \begin{bmatrix} 0 \\ 0 \\ \dot{\theta}_2 \end{bmatrix} = \begin{bmatrix} 0 \\ 0 \\ \dot{\theta}_1 \end{bmatrix} + \begin{bmatrix} 0 \\ 0 \\ \dot{\theta}_2 \end{bmatrix} = \begin{bmatrix} 0 \\ 0 \\ \dot{\theta}_1 + \dot{\theta}_2 \end{bmatrix}$$

$${}^2v_2 = {}^1R \left({}^0\dot{\psi}_1 + {}^1w_1 \times {}^1p_2 \right) = \begin{bmatrix} c_2 & s_2 & 0 \\ -s_2 & c_2 & 0 \\ 0 & 0 & 1 \end{bmatrix} \cdot \begin{bmatrix} \hat{x} & \hat{y} & \hat{z} \\ 0 & 0 & \dot{\theta}_1 \\ L_1 & 0 & 0 \end{bmatrix} = \begin{bmatrix} c_2 & s_2 & 0 \\ -s_2 & c_2 & 0 \\ 0 & 0 & 1 \end{bmatrix} \begin{bmatrix} 0 \\ L_1 \dot{\theta}_1 \\ 0 \end{bmatrix} =$$

$$= \begin{bmatrix} s_2 L_1 \dot{\theta}_1 \\ c_2 L_1 \dot{\theta}_1 \\ 0 \end{bmatrix}$$

$$3) {}^3w_3 = {}^2R \cdot {}^2w_2 + {}^3w_{3,2} = \begin{bmatrix} 0 \\ 0 \\ \dot{\theta}_1 + \dot{\theta}_2 \end{bmatrix}$$

$${}^3v_3 = {}^2R \left({}^2v_2 + {}^2w_2 \times {}^2p_3 \right) = \dots = \begin{bmatrix} L_1 s_2 \dot{\theta}_1 \\ L_1 c_2 \dot{\theta}_1 + (\dot{\theta}_1 \dot{\theta}_2) L_2 \\ 0 \end{bmatrix}$$

Ho risolto la cinematica differentiale diretta.

$${}^3w_3 = \begin{bmatrix} 0 & 0 \\ 0 & 0 \\ 1 & 1 \end{bmatrix} \cdot \begin{bmatrix} \dot{\theta}_1 \\ \dot{\theta}_2 \end{bmatrix}$$

$${}^3v_3 = \begin{bmatrix} L_1 s_2 & 0 \\ L_1 c_2 + L_2 & L_2 \\ 0 & 0 \end{bmatrix} \begin{bmatrix} \dot{\theta}_1 \\ \dot{\theta}_2 \end{bmatrix}$$

Qualcuno si è inventato questa cosa:

$$\begin{array}{l} \text{VELOCITÀ GENERALIZZATA DELLA TERNA UTENSILE} \\ {}^3\bar{U}_3 = \begin{bmatrix} {}^3U_3 \\ \dots \\ {}^3W_3 \end{bmatrix} = \begin{bmatrix} L_1 S_2 & 0 \\ L_1 C_2 + L_2 & L_2 \\ 0 & 0 \\ 0 & 0 \\ 0 & 0 \\ 1 & 1 \end{bmatrix} \cdot \begin{bmatrix} \dot{q}_1 \\ \dot{q}_2 \end{bmatrix} \end{array}$$

${}^3\bar{U}_3 = J_g(\bar{q}) \cdot \dot{\bar{q}}$

$\underbrace{{}^3J_g(\bar{q})}_{\rightarrow \text{JACOBIANO GEOMETRICO}}$

Un manipolatore a 6 giunti ha uno Jacobiano lungo pagine!
Meglio il metodo iterativo in generale.

${}^0U_3 = {}^0R {}^3U_3$

${}^0W_3 = {}^0R {}^3W_3$

componente relativa
dovuta al fatto
che il 1 ° giunto
si muove

$${}^0\bar{U}_3 = J_g(\bar{q}) \dot{\bar{q}} = \begin{bmatrix} {}^0U_3 \\ \dots \\ {}^0W_3 \end{bmatrix} = \underbrace{\left[\begin{array}{c|c|c|c} J_{v_1}(\bar{q}) & J_{v_2}(\bar{q}) & \dots & J_{v_N}(\bar{q}) \\ \hline \dots & \dots & \dots & \dots \\ J_{w_1}(\bar{q}) & J_{w_2}(\bar{q}) & \dots & J_{w_N}(\bar{q}) \end{array} \right]}_N \begin{bmatrix} \dot{q}_1 \\ \dot{q}_2 \\ \vdots \\ \dot{q}_N \end{bmatrix} \quad 11/11/2009$$

Ponere calcolare $J_{v_i}(\bar{q})$ e $J_{w_i}(\bar{q})$? Si. Ricava $J_{w_i}(\bar{q})$

$$\begin{aligned} {}^0W_N &= {}^0W_{N-1,0} + {}^N_R {}^{N-1}W_{N,N-1} = {}^0W_{N-1,0} + {}^0W_{N,N-1} = {}^0W_{N-2,0} + {}^0W_{N-1,N-2} + {}^0W_{N,N-1} \\ &= {}^0W_{1,0} + {}^0W_{2,1} + {}^0W_{3,2} + \dots + {}^0W_{N,N-1} \end{aligned}$$

Com'è fatto il generico termine ${}^0W_{i+1,i}$?

$${}^0W_{i+1,i} = {}^i_R {}^{i+1}W_{i+1,i} = {}^i_R \begin{cases} 0 & \text{PRISMATICO} \\ \dot{q}_{i+1} \cdot {}^iZ_{i+1} & \text{ROTOIDALE} \end{cases} = \begin{cases} 0 & \text{PRISMATICO} \\ {}^iR \dot{q}_{i+1} {}^iZ_{i+1} & \text{ROTOIDALE} \end{cases}$$

Essendo \dot{q}_i uno scalare, lo posso portare fuori:

$$= \dot{q}_{i+1} \begin{cases} 0 & \text{PRISMATICO} \\ {}^i R {}^0 \hat{z}_{i+1} & \text{ROTOIDALE} \end{cases} = \dot{q}_{i+1} \begin{cases} 0 & \text{PRISM.} \\ {}^i R {}^0 \hat{z}_{i+1} & \text{ROT.} \end{cases} = \dot{q}_{i+1} \begin{cases} 0 & \text{PRISM.} \\ {}^0 \hat{z}_{i+1} & \text{ROT.} \end{cases}$$

Definisco $J_{W_{i+1}} \triangleq \begin{cases} 0 & \text{PRISMATICO} \\ {}^0 \hat{z}_{i+1} & \text{ROTOIDALE} \end{cases}$, quindi ${}^0 w_{i+1,i} = J_{W_{i+1}}(\bar{q}) \cdot \dot{q}_{i+1}$

$${}^0 w_{n,0} = J_{W_1}(\bar{q}) \cdot \dot{q}_1 + J_{W_2}(\bar{q}) \cdot \dot{q}_2 + \dots + J_{W_N}(\bar{q}) \cdot \dot{q}_N =$$

$$= \begin{bmatrix} J_{W_1}(\bar{q}) & | & J_{W_2}(\bar{q}) & | & \dots & | & J_{W_N}(\bar{q}) \end{bmatrix} \begin{bmatrix} \dot{q}_1 \\ \dot{q}_2 \\ \vdots \\ \dot{q}_N \end{bmatrix}$$

$$J_{W_{i+1}}(\bar{q}) = \begin{cases} 0 & \text{PRISMATICO} \\ {}^0 \hat{z}_{i+1} & \text{ROTOIDALE} \end{cases}$$

$$J_{W_{i+1}}(\bar{q}) = \begin{cases} {}^0 \hat{z}_{i+1} & \text{PRISMATICO} \\ {}^0 \hat{z}_{i+1} \times [{}^0 p_i - {}^0 p_{i+1}] & \text{ROTOIDALE} \end{cases}$$

${}^0 \hat{z}_{i+1}$ lo ricavo dalla matrice di trasformazione omogenea:

$${}^{i+1} T = \begin{bmatrix} [{}^0 x_{i+1}; {}^0 y_{i+1}; {}^0 z_{i+1}] & [{}^0 p_{i+1}] \\ 0 & 0 & 0 & 1 \end{bmatrix} \quad {}^i T = \begin{bmatrix} {}^i R & [{}^i p_i] \\ 0 & 1 \end{bmatrix}$$

${}^0 J_g(\bar{q}) \neq {}^0 J_g(\bar{q})$ in generale, ma c'è una relazione tra i due, dato che descrivono la stessa velocità:

$${}^A \bar{v}_N = \begin{bmatrix} {}^A v_N \\ \vdots \\ {}^A w_N \end{bmatrix} = {}^A J_g(\bar{q}) \cdot \dot{q} \quad \text{ma} \quad {}^A v_N = {}^B R {}^B v_N$$

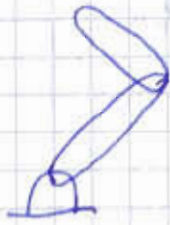
$${}^A w_N = {}^B R {}^B w_N$$

$${}^B \bar{v}_N = \begin{bmatrix} {}^B R {}^B v_N \\ \vdots \\ {}^B R {}^B w_N \end{bmatrix} = \begin{bmatrix} {}^B R & 0 \\ 0 & {}^B R \end{bmatrix} \begin{bmatrix} {}^B v_N \\ \vdots \\ {}^B w_N \end{bmatrix} = \begin{bmatrix} {}^B R & 0 \\ 0 & {}^B R \end{bmatrix} \cdot \underbrace{{}^B J_g(\bar{q}) \cdot \dot{q}}_{{}^B \bar{v}_N}$$

$${}^A\mathbf{J}_g(\bar{q}) = \begin{bmatrix} {}^0R & 0 \\ 0 & {}^0R \end{bmatrix} {}^0\mathbf{J}_g(\bar{q})$$

Questa matrice è singolare se 0R è singolare, ma 0R

Riprendo l'esempio fatto in precedenza e calcolo \mathbf{J}_g con il nuovo metodo:



$${}^0T = \begin{bmatrix} C_1 & -S_1 & {}^0\hat{z}_1 & {}^0p_1 \\ S_1 & C_1 & 0 & 0 \\ 0 & 0 & 1 & 0 \\ 0 & 0 & 0 & 1 \end{bmatrix} \quad {}^0\tilde{T} = \begin{bmatrix} C_{12} & -S_{12} & {}^0\hat{z}_2 & {}^0p_1 \\ S_{12} & C_{12} & 0 & 0 \\ 0 & 0 & 1 & 0 \\ 0 & 0 & 0 & 1 \end{bmatrix}$$

$${}^0\tilde{T} = \begin{bmatrix} C_{12} & -S_{12} & 0 & L_2C_{12} + L_1C_1 \\ S_{12} & C_{12} & 0 & L_2S_{12} + L_1S_1 \\ 0 & 0 & 1 & 0 \\ 0 & 0 & 0 & 1 \end{bmatrix}$$

Tutti i giunti sono rotoidali, quindi

$$\mathbf{J}_{w_i} = {}^0\hat{z}_i$$

$$\mathbf{J}_{v_i} = {}^0\hat{z}_i \times [{}^0p_N - {}^0p_i]$$

$$\mathbf{J}_g(\bar{q}) = \begin{bmatrix} \mathbf{J}_{v_1}(\bar{q}) & \mathbf{J}_{v_2}(\bar{q}) \\ -\mathbf{J}_{w_1}(\bar{q}) & -\mathbf{J}_{w_2}(\bar{q}) \end{bmatrix} = \begin{bmatrix} -L_2S_{12} - L_1S_1 & -L_2S_{12} \\ L_2C_{12} + L_1C_1 & L_2C_{12} \\ 0 & 0 \\ 0 & 0 \\ 1 & 1 \end{bmatrix}$$

$$\mathbf{J}_{v_1} = {}^0\hat{z}_1 \times [{}^0p_3 - {}^0p_1] = \begin{vmatrix} \hat{x} & \hat{y} & \hat{z} \\ 0 & 0 & 1 \\ a & b & 0 \end{vmatrix} = \begin{bmatrix} -b \\ a \\ 0 \end{bmatrix}$$

$$\mathbf{J}_{v_2} = \overset{\circ}{\mathbf{z}}_2 \times [\overset{\circ}{\mathbf{P}}_3 - \overset{\circ}{\mathbf{P}}_2] = \overset{\circ}{\mathbf{z}}_2 \times \begin{bmatrix} L_2 C_{12} + L_3 C_1 - L_1 C_2 \\ L_2 S_{12} + L_3 S_1 - L_1 S_2 \\ b' \end{bmatrix} = \begin{vmatrix} \hat{x} & \hat{y} & \hat{z} \\ 0 & 0 & 1 \\ a' & b' & 0 \end{vmatrix} = \begin{bmatrix} -b \\ a \\ 0 \end{bmatrix}$$

$$= \begin{bmatrix} -L_2 S_{12} \\ L_2 C_{12} \\ 0 \end{bmatrix}$$

Lo Jacobiano geometrico ha N colonne e 6 righe, dove N è il numero delle variabili di giunto.

Si può usare un Jacobiano ridotto, ignorando le righe nulli:

$$\overset{\circ}{\mathbf{U}}_3 = \begin{bmatrix} \overset{\circ}{v}_{x_3} \\ \overset{\circ}{v}_{y_3} \\ \overset{\circ}{w}_{z_3} \end{bmatrix} \leftarrow \text{nell'esempio} = \mathbf{J}_g(\bar{q}) \cdot \dot{\bar{q}}$$

\downarrow
3 righe

JACOBIANO ANALITICO

$$\bar{x} = \begin{bmatrix} \overset{\circ}{\mathbf{P}}_N \\ \vdots \\ \phi \end{bmatrix} = \begin{bmatrix} p_x(q_1(t), q_2(t), q_3(t), \dots, q_N(t)) \\ p_y(q_1(t), q_2(t), q_3(t), \dots, q_N(t)) \\ p_z(q_1(t), q_2(t), q_3(t), \dots, q_N(t)) \\ \beta(q_1(t), q_2(t), q_3(t), \dots, q_N(t)) \\ \gamma(q_1(t), q_2(t), q_3(t), \dots, q_N(t)) \end{bmatrix} \quad \begin{array}{l} \text{SPAZIO} \\ \text{OPERATIVO} \end{array}$$

$$\dot{\bar{x}} = \begin{bmatrix} \dot{\overset{\circ}{\mathbf{P}}}_N \\ \vdots \\ \dot{\phi} \end{bmatrix} = \begin{bmatrix} \frac{\partial p_x}{\partial q_1} \frac{dq_1}{dt} + \frac{\partial p_x}{\partial q_2} \frac{dq_2}{dt} + \dots + \frac{\partial p_x}{\partial q_N} \frac{dq_N}{dt} \\ \dots \\ \dots \\ \dots \\ \frac{\partial \gamma}{\partial q_1} \frac{dq_1}{dt} + \frac{\partial \gamma}{\partial q_2} \frac{dq_2}{dt} + \dots + \frac{\partial \gamma}{\partial q_N} \frac{dq_N}{dt} \end{bmatrix} =$$

DERIVATA
 POSIZIONE
 NELLO SPAZIO
 OPERATIVO

$$= \begin{bmatrix} \frac{\partial p_x}{\partial q_1} + \frac{\partial p_x}{\partial q_2} + \dots + \frac{\partial p_x}{\partial q_N} \\ \dots \\ \dots \\ \dots \\ \frac{\partial \gamma}{\partial q_1} + \dots + \frac{\partial \gamma}{\partial q_N} \end{bmatrix} \begin{bmatrix} \dot{q}_1 \\ \dot{q}_2 \\ \vdots \\ \dot{q}_N \end{bmatrix}$$

$$\boxed{\dot{\bar{x}} = \mathbf{J}_a(\bar{q}) \cdot \dot{q}}$$

JACOBIANO
ANALITICO

\dot{x}_a e \dot{J}_g sono uguali se e solo se $\dot{x} = {}^o\bar{v}_N$, cioè

$$\begin{bmatrix} {}^o\dot{P}_N \\ \vdots \\ \dot{\phi} \end{bmatrix} = \begin{bmatrix} {}^o\bar{v}_N \\ \vdots \\ {}^o\bar{w}_N \end{bmatrix} \quad {}^o\dot{P}_N \triangleq {}^o\bar{v}_{N,0}$$

quindi le prime tre componenti dei vettori sono uguali.

derivate delle notazione minima

~~DIVERSE~~

↳ velocità angolare della terna utile

$\dot{x} \neq {}^o\bar{v}_N$ quindi

$$\dot{J}_a(\bar{q}) \neq \dot{J}_g(\bar{q})$$

Ricaveremo che

$${}^o\bar{w}_N = T_{22}(\phi) \cdot \dot{\phi}$$

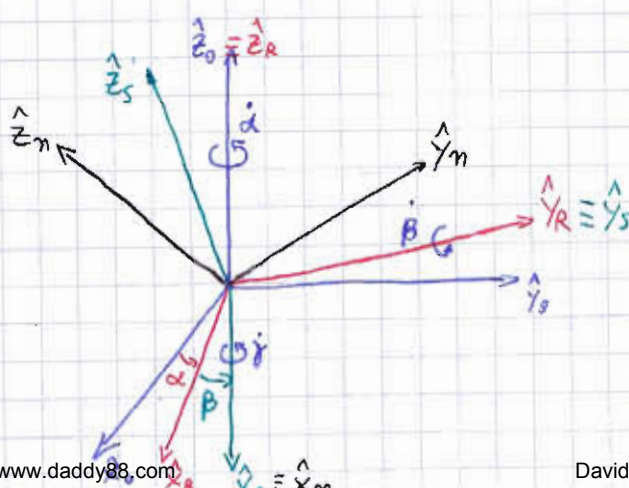
$${}^o\bar{v}_N = I_3 \cdot {}^o\dot{P}_N$$

$$\left\{ \begin{array}{l} {}^o\bar{v}_N = \begin{bmatrix} {}^o\bar{v}_N \\ \vdots \\ {}^o\bar{w}_N \end{bmatrix} = \begin{bmatrix} I_3 & {}^o\dot{P}_N \\ \vdots & \vdots \\ \bar{T}_{22}(\phi) \cdot \dot{\phi} \end{bmatrix} = \begin{bmatrix} I_3 & \overset{0}{\underset{\bar{T}_{22}(\phi)}{\text{---}}} \\ \overset{0}{\underset{\bar{T}_{22}(\phi)}{\text{---}}} & \bar{T}_{22}(\phi) \end{bmatrix} \begin{bmatrix} {}^o\dot{P}_N \\ \vdots \\ \dot{\phi} \end{bmatrix} = \underbrace{\begin{bmatrix} I_3 & 0 \\ 0 & \bar{T}_{22}(\phi) \end{bmatrix}}_{\dot{x}} \dot{J}_a(\bar{q}) \cdot \dot{\bar{q}} \\ {}^o\bar{v}_N = \dot{J}_g(\bar{q}) \cdot \dot{\bar{q}} \end{array} \right.$$

$$\Rightarrow \dot{J}_g(\bar{q}) = \underbrace{\begin{bmatrix} I_3 & 0 \\ 0 & \bar{T}_{22}(\phi) \end{bmatrix}}_{T(\phi)} \dot{J}_a(\bar{q})$$

16/11/09

Dove trovare $T_{22}(\phi)$



Mostrare la notazione minima per ogni motore: $z'y'x'$

α, β, γ non sono costanti, variano nel tempo

$${}^0W_{R,0} = \dot{\alpha} {}^0\hat{z}_0$$

$$\begin{aligned} {}^0W_{S,0} &= {}^0W_{R,0} + {}^0W_{S,R} = \dot{\alpha} {}^0\hat{z}_0 + \dot{\beta} {}^0\hat{y}_R = \dot{\alpha} {}^0\hat{z}_0 + \dot{\beta} {}^0R^R\hat{y}_R = \\ &= \dot{\alpha} {}^0\hat{z}_0 + \dot{\beta} R_z(\alpha) {}^R\hat{y}_R \end{aligned}$$

$$\begin{aligned} {}^0W_{N,0} &= {}^0W_{R,0} + {}^0W_{S,R} + {}^0W_{N,S} = \dot{\alpha} {}^0\hat{z}_0 + \dot{\beta} R_z(\alpha) {}^R\hat{y}_R + \dot{\gamma} {}^0\hat{x}_S = \\ &= \dot{\alpha} {}^0\hat{z}_0 + \dot{\beta} R_z(\alpha) {}^R\hat{y}_R + \dot{\gamma}_S {}^R\hat{R}^S {}^R\hat{x}_S = \dot{\alpha} {}^0\hat{z}_0 + \dot{\beta} R_z(\alpha) {}^R\hat{y}_R + \dot{\gamma}_R {}^R\hat{R}_S {}^R\hat{x}_S = \\ &= \dot{\alpha} {}^0\hat{z}_0 + \dot{\beta} R_z(\alpha) {}^R\hat{y}_R + \dot{\gamma} R_z(\alpha) R_y(\beta) {}^S\hat{x}_S = \end{aligned}$$

$$\begin{aligned} &= \dot{\alpha} \begin{bmatrix} 0 \\ 0 \\ 1 \end{bmatrix} + \dot{\beta} \begin{bmatrix} C\alpha & -S\alpha & 0 \\ S\alpha & C\alpha & 0 \\ 0 & 0 & 1 \end{bmatrix} \begin{bmatrix} 0 \\ 1 \\ 0 \end{bmatrix} + \dot{\gamma} \begin{bmatrix} C\alpha & -S\alpha & 0 \\ S\alpha & C\alpha & 0 \\ 0 & 0 & 1 \end{bmatrix} \begin{bmatrix} C\beta & 0 & S\beta \\ 0 & 1 & 0 \\ -S\beta & 0 & C\beta \end{bmatrix} \begin{bmatrix} 1 \\ 0 \\ 0 \end{bmatrix} = \\ &= \begin{bmatrix} 0 & -\dot{\beta} S\alpha \\ 0 & \dot{\beta} C\alpha \\ \dot{\alpha} & 0 \end{bmatrix} + \dot{\gamma} \begin{bmatrix} C\alpha C\beta & 0 & 0 \\ S\alpha C\beta & 0 & 0 \\ -S\beta & 0 & 0 \end{bmatrix} = \begin{bmatrix} -\dot{\beta} S\alpha + \dot{\gamma} C\alpha C\beta \\ \dot{\beta} C\alpha + \dot{\gamma} S\alpha C\beta \\ \dot{\alpha} - \dot{\gamma} S\beta \end{bmatrix} \end{aligned}$$

$$\begin{aligned} {}^0W_{N,0} &= \underbrace{\begin{bmatrix} 0 & -S\alpha & C\alpha C\beta \\ 0 & C\alpha & S\alpha C\beta \\ 1 & 0 & -S\beta \end{bmatrix}}_{T_{22}(\phi)} \begin{bmatrix} \dot{\alpha} \\ \dot{\beta} \\ \dot{\gamma} \end{bmatrix} \Rightarrow T_{22}(\phi) = \begin{bmatrix} 0 & -S\alpha & C\alpha C\beta \\ 0 & C\alpha & S\alpha C\beta \\ 1 & 0 & -S\beta \end{bmatrix} \end{aligned}$$

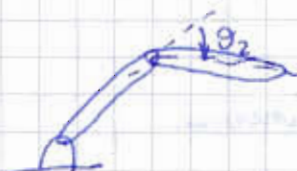
$$T(\phi) = \begin{bmatrix} I_3 & 1 & 0 \\ 0 & 1 & T_{22}(\phi) \end{bmatrix}$$

$$\bar{U}_N = {}^3J_g(\bar{q}) \dot{\bar{q}}$$

↳ variabile nel tempo, essendo dipendente dalle variabili aggiunto. Può essere pertanto che il rango della matrice abbassi. Questi punti si chiamano PUNTI DI SINGOLARITÀ CINEMATICA.

- In questi punti:
- si ha una perdita di mobilità della struttura, ovvero non possiamo assegnare alla struttura movimenti arbitrari;
 - possono esistere 0 soluzioni del problema di cinematica inversa;
 - in un intorno a piccole velocità nello spazio operativo possono corrispondere velocità 0 o elevatissime nello spazio dei giunti.

Ci sono singolarità cinematiche di frontiera (un braccio disteso) o interne allo spazio operativo (due bracci allineati).



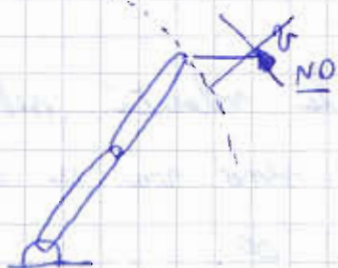
$${}^3J_g = \begin{bmatrix} L_1 \sin \theta_2 & 0 \\ L_1 \cos \theta_2 + L_2 & L_2 \end{bmatrix}$$

caso
ridotto

$$\det {}^3J_g = L_1 L_2 \sin \theta_2 \quad \text{in generale, } \text{rg} = 2$$

Se $\sin \theta_2 = 0$ ovvero $\theta_2 = 0, \pi$, $\text{rg} {}^3J_g = 1$

\Rightarrow i punti con $\theta_2 = 0, \pi$ sono punti di singolarità cinematica



$$\theta_2 = 0$$



$$\theta_2 = \pi$$

$$\theta_1 = \text{qualsiasi}$$

↳ 0 soluzioni cinematiche inverse

Non posso applicare una velocità fuori dello spazio di lavoro.

$${}^o J_g = \begin{bmatrix} -L_1 S_1 - L_2 S_{12} & -L_2 S_{12} \\ L_1 C_1 + L_2 C_{12} & L_2 C_{12} \end{bmatrix}$$

$$\det {}^o J_g = -L_1 L_2 S_1 C_{12} - \cancel{L_2^2 S_{12} C_{12}} + L_1 L_2 S_{12} C_1 + \cancel{L_2^2 S_{12} C_{12}} = \\ = L_1 L_2 (S_{12} C_1 - C_{12} S_1) = L_1 L_2 \sin(\theta_1 + \theta_2 - \theta_1) = L_1 L_2 \sin \vartheta_2$$

Estremamente lo stesso determinante.

Vediamo ora come a piccole velocità nello spazio operativo corrispondano grandi velocità nello spazio dei giunti.



$${}^o V_{3,0} = \begin{bmatrix} \dot{\epsilon} \\ 0 \end{bmatrix} \quad \dot{\epsilon} \rightarrow 0$$

$${}^o V_{3,0} = {}^o J_g(\bar{q}) \cdot \dot{\bar{q}} \Rightarrow \dot{\bar{q}} = {}^{o J_g^{-1}}(\bar{q}) \cdot {}^o V_{3,0} \quad \text{Calcolo l'inverso}$$

$$\dot{\bar{q}} \Rightarrow \frac{1}{L_1 L_2 \sin \theta_2} \begin{bmatrix} L_2 C_{12} & L_2 S_{12} \\ -L_1 C_1 - L_2 C_{12} & -L_1 S_1 - L_2 S_{12} \end{bmatrix} \begin{bmatrix} \dot{\epsilon} \\ 0 \end{bmatrix} = \begin{bmatrix} \dot{\theta}_1 \\ \dot{\theta}_2 \end{bmatrix}$$

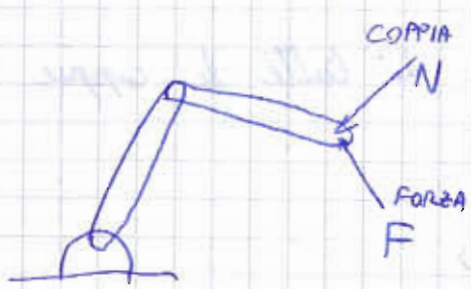
rapporto
matrice minori

$$\dot{\theta}_1 = \dot{\epsilon} \cdot \frac{L_2 C_{12}}{L_1 L_2 S_2}$$

$$\dot{\theta}_2 = \frac{-L_1 C_1 - L_2 C_{12}}{L_1 L_2 S_2}$$

per $\theta_2 = 0 \circ \pi$, la velocità subisce all'infinito, perché il seno va a 0 e il rapporto va a ∞

FORZE e COPPIE

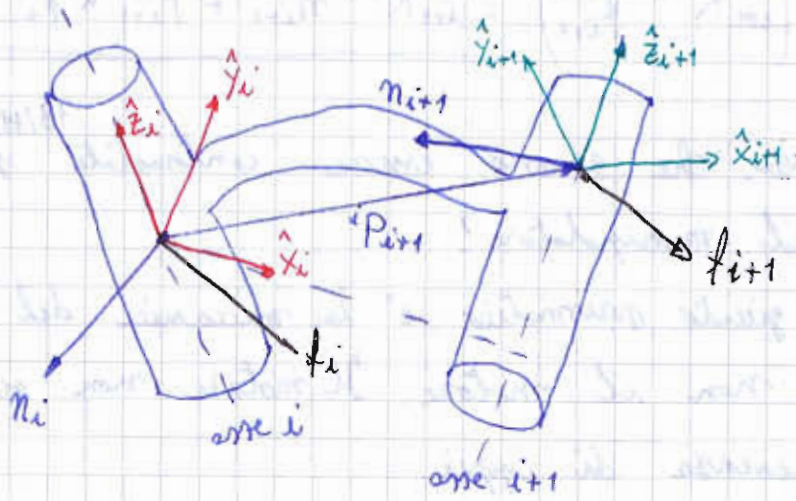


Voglio sapere le forze e le coppie presenti su tutti i giunti tali da mantenere fermo (in equilibrio) il manipolatore.

Consideriamo quindi il manipolatore dal punto di vista STATICO.

Dati $F_N, N_N \rightarrow f_{N-1}, n_{N-1} \rightarrow \dots \rightarrow f_1, n_1$

Cerco un algoritmo ricorsivo



f_{i+1} = forza che il braccio i esercita sul braccio $i+1$.

f_i = " " " " $i-1$ " " " i .

N_{i+1} = coppia che il braccio i esercita sul braccio $i+1$.

N_i = " " " " $i-1$ " " " i .

Per far stare in equilibrio il braccio, voglio che $\sum_k f_k = 0$

$$f_i - f_{i+1} = 0$$

$${}^i f_i = {}^{i+1} f_{i+1} = {}^{i+1} R \cdot {}^i f_{i+1}$$

conoscendo la forza $i+1$ posso calcolare quella i .

Tuttavia, deve essere 0 anche la somma di tutte le coppie perché l'oggetto sia immobile (non deve rotolare).

$$\sum_k n_k = 0 \quad {}^i n_i - {}^{i+1} n_{i+1} + {}^i P \times (-{}^i f_{i+1}) = 0$$

Anche le forze danno luogo a coppie:



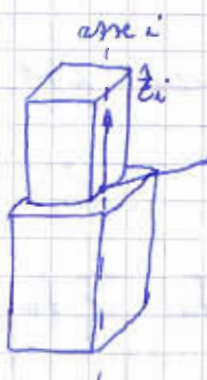
Il punto scelto per volutare le coppie è influente. Scelgo l'origine della terna i , così f_i mi dà coppia nulla.

$${}^i n_i = {}^{i+1} R \cdot {}^{i+1} n_{i+1} + {}^i P_{i+1} \times \left({}^{i+1} R \cdot {}^{i+1} f_{i+1} \right) = {}^{i+1} R \cdot {}^{i+1} n_{i+1} + {}^i P_{i+1} \times {}^i f_i$$

Sono queste le coppie e le forze che devono essere controllate per mantenere in equilibrio il manipolatore? 18/11/09

Se applico una coppia a un giunto prismatico i la meccanica del giunto che impedisce la rotazione, non il motore. Il motore non si accorge neanche della presenza di coppia.

Se applico una forza a un giunto prismatico, essa avrà una componente trasversale che si ricarica sulla meccanica del giunto e una componente longitudinale ricaricata sul motore.



GIUNTO PRISMATICO

$${}^i f_i \cdot \hat{z}_i = {}^i f_i' \cdot \hat{z}_i$$

Modotto
Motore

prendo solo la componente lungo \hat{z} .

Nel caso di GIUNTO ROTOIDALE le uniche componenti controllate del motore
è la componente \hat{z} delle coppie:

$${}^i n_i \cdot {}^i \hat{z}_i = {}^i n_i \cdot {}^i \hat{z}_i \quad \text{GIUNTO ROTOIDALE}$$

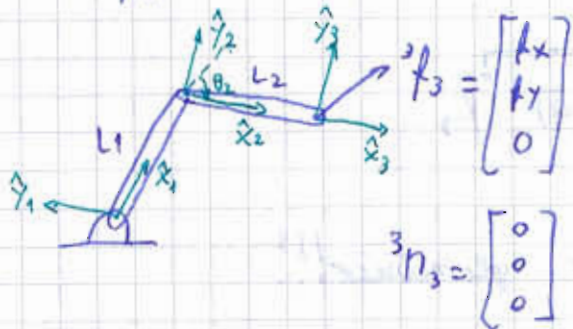
$${}^i f_i \cdot {}^i \hat{z}_i = {}^i f_i \cdot {}^i \hat{z}_i \quad \text{GIUNTO PRISMATICO}$$

Se che:

$${}^i f_i = {}_{i+1} R \cdot {}^{i+1} f_{i+1}$$

$${}^i n_i = {}_{i+1} R \cdot {}^{i+1} n_{i+1} + {}^i p_{i+1} \times {}^i f_i$$

Le applico al rotolo manipolatore:



Dove volutare le coppie. Applico l'algoritmo ricorsivo.

$$1) {}^2 f_2 = {}^2 R \cdot {}^3 f_3 = {}^2 I_d \cdot {}^3 f_3 = \begin{bmatrix} f_x \\ f_y \\ 0 \end{bmatrix}$$

nessuna
rotazione

$${}^2 n_2 = {}^2 R \cdot {}^3 n_3 + {}^2 p_3 \times {}^2 f_2 = 0 + \begin{bmatrix} L_2 \\ 0 \\ 0 \end{bmatrix} \times \begin{bmatrix} f_x \\ f_y \\ 0 \end{bmatrix} = \begin{bmatrix} \hat{x} & \hat{y} & \hat{z} \\ L_2 & 0 & 0 \\ f_x & f_y & 0 \end{bmatrix} = \begin{bmatrix} 0 \\ 0 \\ L_2 \cdot f_y \end{bmatrix}$$

$$2) {}^1 f_1 = {}^2 R \cdot {}^2 f_2 = \begin{bmatrix} c_2 & -s_2 & 0 \\ s_2 & c_2 & 0 \\ 0 & 0 & 1 \end{bmatrix} \cdot \begin{bmatrix} f_x \\ f_y \\ 0 \end{bmatrix} = \begin{bmatrix} f_x c_2 - f_y s_2 \\ f_x s_2 + f_y c_2 \\ 0 \end{bmatrix}$$

$${}^1 n_1 = {}^2 R \cdot {}^2 n_2 + {}^2 p_2 \times {}^1 f_1 = \begin{bmatrix} c_2 & -s_2 & 0 \\ s_2 & c_2 & 0 \\ 0 & 0 & 1 \end{bmatrix} \begin{bmatrix} 0 \\ 0 \\ L_2 f_y \end{bmatrix} + \begin{bmatrix} L_1 \\ 0 \\ 0 \end{bmatrix} \times \begin{bmatrix} f_x c_2 - f_y s_2 \\ f_x s_2 + f_y c_2 \\ 0 \end{bmatrix} = \begin{bmatrix} 0 \\ 0 \\ 0 \end{bmatrix}$$

$$= \begin{bmatrix} 0 \\ 0 \\ L_2 f_y \end{bmatrix} + \begin{vmatrix} \hat{x} & \hat{y} & \hat{z} \\ L_2 & 0 & 0 \\ f_x c_2 - f_y s_2 & f_x s_2 + f_y c_2 & 0 \end{vmatrix} = \begin{bmatrix} 0 \\ 0 \\ L_2 f_y \end{bmatrix} + \begin{bmatrix} 0 \\ 0 \\ L_2 (f_x s_2 + f_y c_2) \end{bmatrix}$$

Il motore dovrà bilanciare una coppia per ogni giunto

$$\tau_1 = L_2 f_y + L_1 s_2 f_x + L_1 c_2 f_y$$

$$\tau_2 = L_2 f_y$$

Risolviamo le due equazioni in forma matriciale:

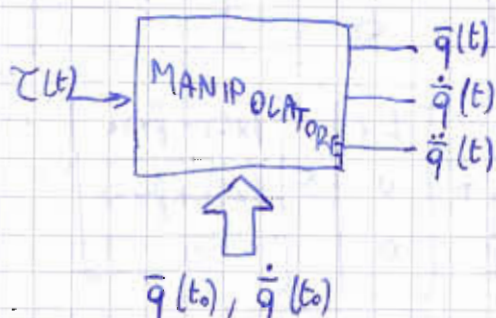
$$\begin{bmatrix} \tau_1 \\ \tau_2 \end{bmatrix} = \begin{bmatrix} L_1 s_2 & L_2 + L_1 c_2 \\ 0 & L_2 \end{bmatrix} \begin{bmatrix} f_x \\ f_y \end{bmatrix}$$

$$\bar{\tau} = {}^3 J_g^\top(\bar{q}) {}^3 f_3 \quad \text{e} \quad \bar{\tau} = {}^0 J_g^\top(\bar{q}) {}^0 f_3$$

Ho scoperto un altro uso dello Jacobiano geometrico!!!

DINAMICA DIRETTA E INVERSA

Il problema della dinamica DIRETTA è, dati i valori delle variabili di giunto, delle velocità di giunto (per l'istante t_0), delle coppie fornite ai motori per $t \in [t_0, T]$, trovare quanto valgono le variabili del giunto, le velocità di giunto e le accelerazioni per un generico istante t :



Il problema della dinamica INVERSA è trovare quel $\vec{\omega}$ la cui azione
che ha generato un certo moto, dati: $\vec{q}(t)$, $\dot{\vec{q}}(t)$, $\ddot{\vec{q}}(t)$.

$$\bar{F} = m \cdot \ddot{\vec{r}}$$

LEGGE DI NEWTON

$$N = J \cdot \ddot{\vec{\omega}}$$

+
momento di
inertie

LEGGE DI EULER

$$J = m \cdot r^2$$

$r = \sqrt{x^2 + y^2 + z^2}$



$$dJ = \rho dV \cdot r^2$$

$$\int dJ = \int \rho dV r^2$$

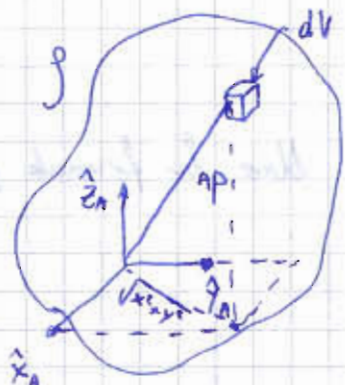
$$J \triangleq \int_V r^2 \rho dV$$

L'estensione al caso vettoriale di $N = J \cdot \ddot{\vec{\omega}}$ è molto complessa.

Considera la matrice TENSORE DI INERZIA così fatta:

$$I = \begin{bmatrix} I_{xx} & -I_{xy} & -I_{xz} \\ -I_{yx} & I_{yy} & -I_{yz} \\ -I_{zx} & -I_{zy} & I_{zz} \end{bmatrix}$$

Come si calca? Considera un solido



$$\vec{r}_P = \begin{bmatrix} x \\ y \\ z \end{bmatrix}$$

DISTANZA
AL QUADRATO MASSA INFINITESIMA

$$I_{xx} = \int_V (y^2 + z^2) \rho dV \quad I_{yy} = \int_V (x^2 + z^2) \rho dV \quad I_{zz} = \int_V (x^2 + y^2) \rho dV$$

$$I_{xy} = \int_V xy \rho dV \quad I_{xz} = \int_V xz \rho dV \quad I_{yz} = \int_V yz \rho dV$$

$I_{zz} \rightarrow$ momento d'inerzia del corpo rispetto all'asse \hat{z}_A .

$I_{xy}, I_{yz}, I_{xz} \rightarrow$ PRODOTTI D'INERZIA

Il momento d'inerzia dipende dalla scelta della terna fissa.

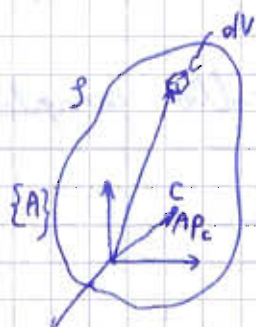
Arrivo alla seconda legge della dinamica di Euler

$$\bar{N} = {}^c I \alpha + \omega \times {}^c I \omega$$

↑ ↑
 terna del velocità
 baricentro angolare angolare

LEGGI DI EULERO

BARICENTRO



$${}^a p = \begin{bmatrix} x \\ y \\ z \end{bmatrix}$$

$${}^a p_c = \frac{\int_V {}^a p g dV}{\int_V g dV} = \frac{1}{m} \int_V \begin{bmatrix} x \\ y \\ z \end{bmatrix} g dV = \begin{bmatrix} p_x \\ p_y \\ p_z \end{bmatrix}$$

$$p_x = \frac{1}{m} \int_V x g dV \quad p_y = \frac{1}{m} \int_V y g dV \quad p_z = \frac{1}{m} \int_V z g dV.$$

ALGORITMO

1) Valutazione di tutte le velocità di giunto. Utilo la formula già ricavata

$${}^{i+1} w_{i+1} = {}^i R {}^i w_i + \dot{\theta}_{i+1} {}^{i+1} \hat{z}_{i+1}$$

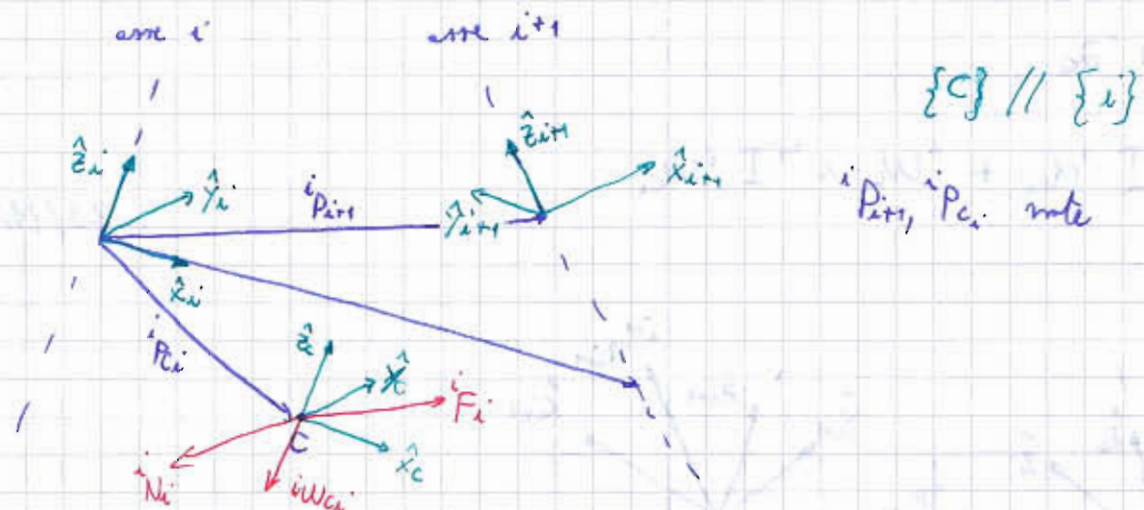
$${}^{i+1} v_{i+1} = {}^i R ({}^i v_i + {}^i w_i \times {}^i p_{i+1}) + \dot{\theta}_{i+1} {}^{i+1} \hat{z}_{i+1}$$

2) Valutazione di tutte le accelerazioni di giunto.

$${}^{i+1} \alpha_{i+1} = {}^i R {}^i \ddot{\alpha}_i + {}^i R {}^i w_i \times \dot{\theta}_{i+1} {}^{i+1} \hat{z}_{i+1} + \ddot{\theta}_{i+1} {}^{i+1} \hat{z}_{i+1}$$

$${}^{i+1} \alpha_{i+1} = {}^i R (\ddot{\alpha}_i \times {}^i p_{i+1} + {}^i w_i \times ({}^i w_i \times {}^i p_{i+1}) + {}^i \ddot{z}_i) + 2 {}^i w_i \times \dot{\theta}_{i+1} {}^{i+1} \hat{z}_{i+1} + \ddot{\theta}_{i+1} {}^{i+1} \hat{z}_{i+1}$$

3) Calcolo velocità e accelerazioni del bocentro



$${}^i w_{ci} = {}^i R {}^c w_{ci} = I_d {}^c w_{ci}$$

$\{c\} // \{i\}$

Considero il bocentro come terza successiva e uso le relazioni già trovate.

$${}^i w_{ci} = {}^i R {}^i w_i + \omega = {}^i w_i$$

Trovare ${}^i \alpha_{ci}$ con gli "sterni" passaggi

$${}^i \alpha_{ci} = {}^i R {}^c \alpha_{ci} = {}^c \alpha_{ci} \circ = {}^i R {}^i \alpha_i = {}^i \alpha_i$$

$${}^i \ddot{\alpha}_{ci} = {}^i R {}^c \ddot{\alpha}_{ci} = {}^c \ddot{\alpha}_{ci} \Rightarrow = {}^i R [{}^i \alpha_i \times {}^i p_{ci} + {}^i w_i \times ({}^i w_i \times {}^i p_{ci}) + {}^i \ddot{\alpha}_i]$$

Riassumendo

$${}^i w_{ci} = {}^i w_i$$

$${}^i \alpha_{ci} = {}^i \alpha_i$$

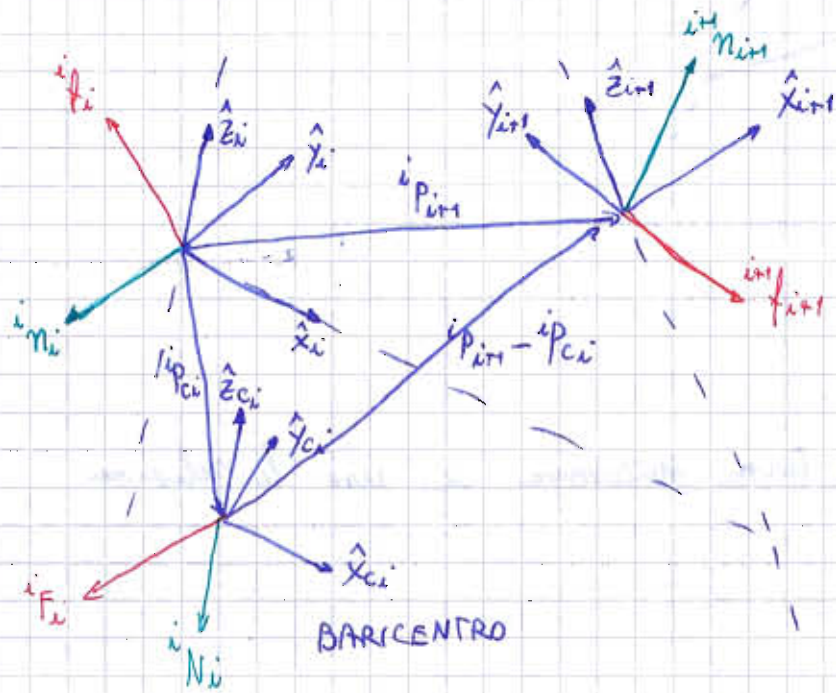
$${}^i \ddot{\alpha}_{ci} = {}^i \ddot{\alpha}_i + {}^i \alpha_i \times {}^i p_{ci} + {}^i w_i \times ({}^i w_i \times {}^i p_{ci})$$

4) Calcolo momenti e forze della ferma i .

$$^i\bar{F}_i = m \cdot ^i\ddot{x}_a$$

$$^iN_i = c_i I \cdot ^i\dot{x}_{ci} + ^iW_{ci} \times c_i I \cdot ^i\dot{w}_{ci}$$

23/11/09



$$5) ^i\bar{F}_i = f_i - f_{fix} = f_i - iR^{i+1}f_{fix} \Rightarrow f_i = ^i\bar{F}_i + iR^{i+1}f_{fix}$$

$$\begin{aligned} ^iN_i &= iN_i - iN_{i+1} - iP_{ci} \times f_i + (iP_{i+1} - iP_{ci}) \times (-f_{fix}) = \\ &= iN_i - iR^{i+1}iN_{i+1} - iP_{ci} \times i\dot{f}_i - iP_{i+1} \times i\dot{f}_{fix} + iP_{ci} \times i\dot{f}_{fix} = \\ &= iN_i - iR^{i+1}iN_{i+1} - iP_{ci} \times (i\dot{f}_i - iR^{i+1}f_{fix}) - iP_{i+1} \times iR^{i+1}f_{fix} \end{aligned}$$

$$iN_i = iN_i + iR^{i+1}iN_{i+1} + iP_{ci} \times i\dot{f}_i + iP_{i+1} \times iR^{i+1}f_{fix}$$

6) Estraggo solo forze e coppie che agiscono sul motore, ovvero quelle che agiscono lungo l'asse Z .

$$\ddot{\boldsymbol{z}}_i = \begin{cases} {}^i\boldsymbol{n}_i^\top \ddot{\boldsymbol{z}}_i & \text{se rotazionale} \\ {}^i\boldsymbol{f}_i^\top \ddot{\boldsymbol{z}}_i & \text{se primitivo.} \end{cases}$$

In $\ddot{\boldsymbol{F}}_i$ e $\ddot{\boldsymbol{N}}_i$ (risultanti di forze e coppie) si nasconde anche la forza di gravità.

Poniamo anche esprimere forze e coppie in forme chiuse:

$$\ddot{\boldsymbol{F}} = \boxed{M(\ddot{\boldsymbol{q}}) \cdot \ddot{\boldsymbol{q}}} + \boxed{C(\ddot{\boldsymbol{q}}, \dot{\ddot{\boldsymbol{q}}})} + \boxed{G(\ddot{\boldsymbol{q}})}$$

EQUAZIONE DEL MANIPOLATORE

TERMINI INERZIALE CONTRIBUTI DI FORZE CENTRIPETA E DI CORIOLIS GRAVITÀ

$M(\ddot{\boldsymbol{q}}) \rightarrow$ matrice d'inerzia

CONTROLLO DEI MANIPOLATORI

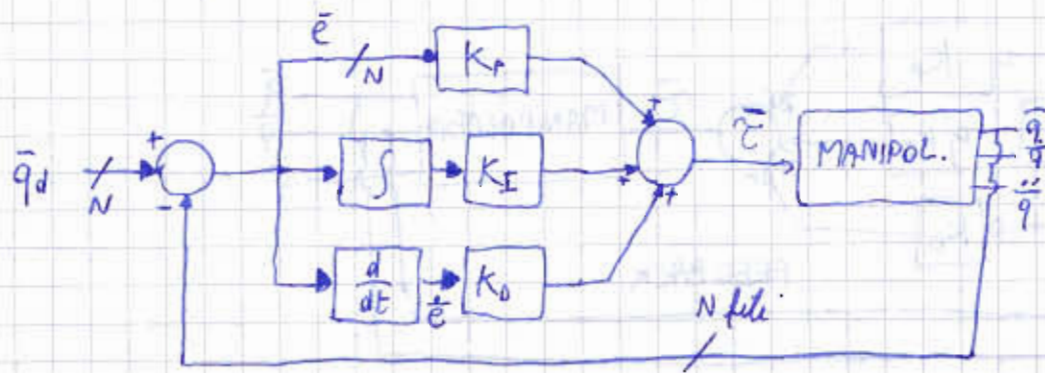
$\ddot{\boldsymbol{q}}(t)$ → variabili di giunto reali

$\ddot{\boldsymbol{q}}_d(t)$ → variabili di giunto desiderate.



Il monte deve mettere il controllore: PID A GIUNTI INDIPENDENTI

↓



sono i regolatori (N)
che sono indipendenti
non i giunti che si muovono come gli peli

\ddot{e} → errore di inseguimento

VANTAGGI

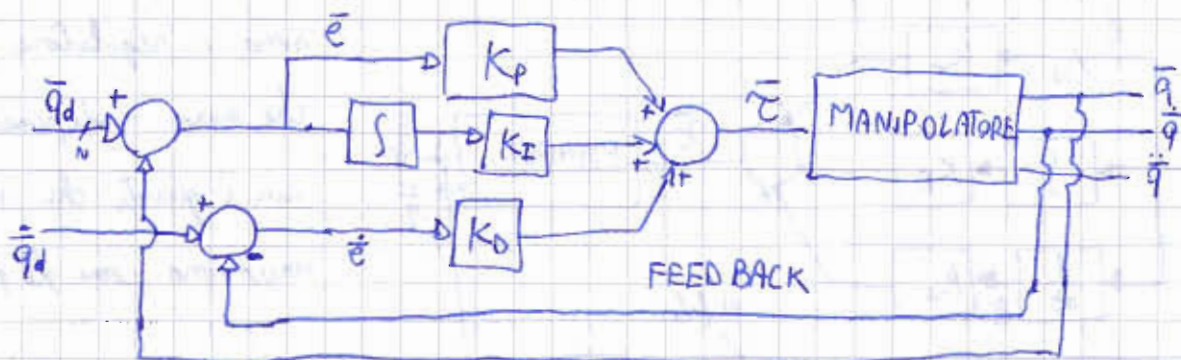
- Regolatore che si può tarare anche non sapendo niente del manipolatore, giocando sui parametri K_p, K_I, K_o . Anche perché le equazioni che stanno dietro al PID sono non lineari.

SVANTAGGI

- Le equazioni sono mutuamente accoppiate, ovvero muovendo il giunto 1 si muove anche il giunto 2.
- Il regolatore è lineare mentre il manipolatore è non lineare, il che significa che le equazioni del manipolatore cambiano a seconda della posizione dei giunti; pertanto regolando il PID per una posizione questo non vale più per un'altra posizione.
- La derivata ha trasformato di Laplace S, ovvero è un sistema IMPROPRIO perché il grado del numeratore è maggiore di quello del denominatore, quindi non è realizzabile. Ma è un approssimante proprio $\frac{S\alpha}{S+\alpha}$. Oppure, dato che:

$$\bar{e} = \bar{q}_d - \bar{q} \stackrel{\frac{d}{dt}}{\Rightarrow} \dot{\bar{e}} = \dot{\bar{q}}_d - \dot{\bar{q}}$$

Calcolo la derivata così:



Quanto è il circuito REALE.

$$\bar{e} = K_p \bar{e} + K_I \int_0^t \bar{e}(z) dz + K_D \dot{\bar{e}} \quad \text{con } K_p, K_I, K_D \text{ matrici diagonali}$$

Se c'è un errore, il PID chiude più coppie per eliminarlo. Posso migliorarlo cercando di prevenire l'errore (FEED FORWARD).

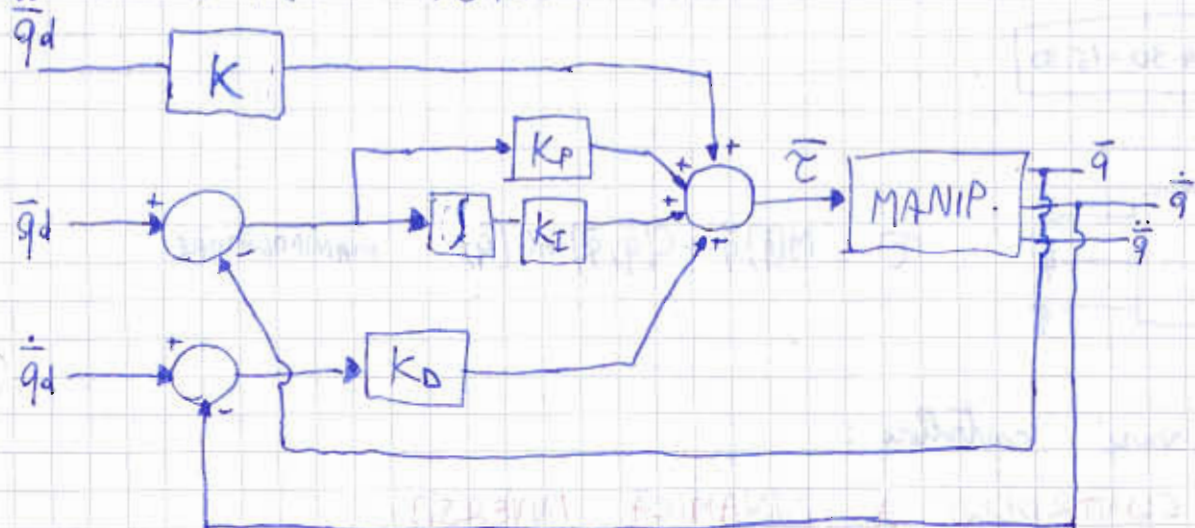
Per implementarlo, trovo il \bar{e} desiderato per far fare al manipolatore esattamente quello che voglio io risolvendo l'equazione del manipolatore nelle variabili di giunto desiderate:

$$\bar{e}_d = M(\bar{q}_d) \ddot{\bar{q}}_d + C(\bar{q}_d, \dot{\bar{q}}_d) + G(\bar{q}_d)$$

In realtà, non sempre sono disponibili tutte le informazioni sul manipolatore, ma solo una parte, ad esempio $\bar{e} = M(\bar{q}) \ddot{\bar{q}}$.

Lascio quindi il FEEDBACK per colmare questa mancanza di informazioni.

PID A GIUNTI INDIPENDENTI CON AZIONE DI FEED FORWARD



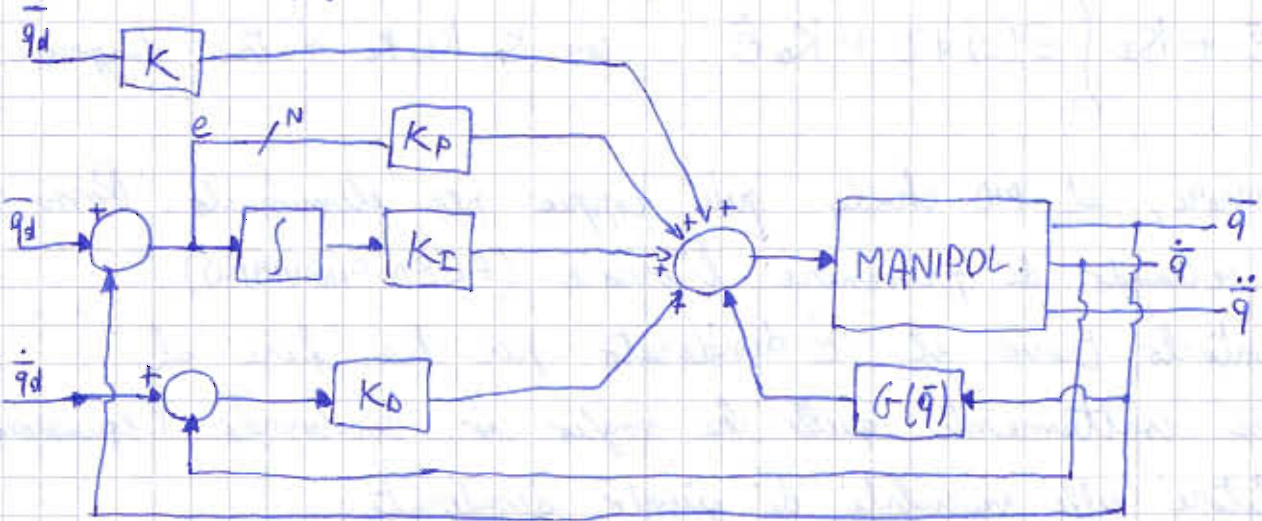
Metto K al posto di $M(\bar{q})$ perché non sempre lo conosco. Approssimo.

$$\bar{e} = K_p \bar{e} + K_I \int_0^t \bar{e}(z) dz + K_D \dot{\bar{e}} + K \bar{q}_d$$

Questo controllore è più preciso perché prevede gli errori.

Ma posso ancora migliorarlo, considerando e sfruttando la conoscenza di $G(\bar{q})$, che di solito è semplice da valutare.

PID CON COMPENSAZIONE DI GRAVITÀ



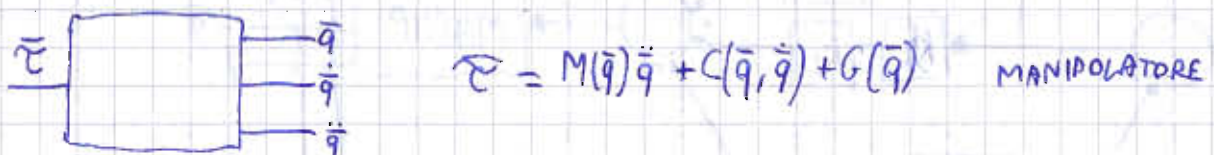
$$\ddot{\tau} = K_p \bar{e} + K_I \int_0^t \bar{e}(\tau) d\tau + K_D \dot{\bar{e}} + K \ddot{q}_d + G(\bar{q})$$

$$G(\bar{q}) = \begin{bmatrix} G_1(\bar{q}_1, \bar{q}_2, \dots, \bar{q}_n) \\ G_2(\bar{q}_1, \bar{q}_2, \dots, \bar{q}_n) \\ \vdots \\ G_n(\bar{q}_1, \bar{q}_2, \dots, \bar{q}_n) \end{bmatrix}$$

Non è più a giunti indipendenti

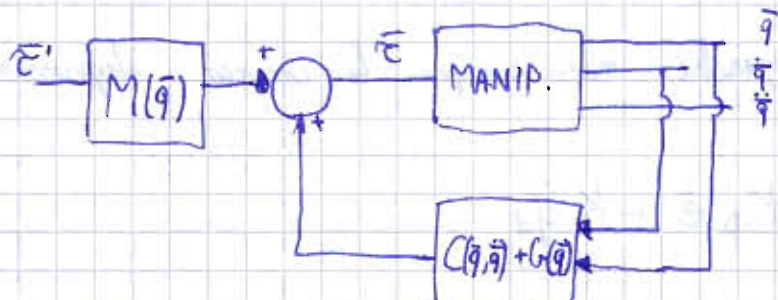
25/11/09

26/11 LAB 14.30 - 16.30



Vediamo ora vari controllori:

CONTROLLO A DINAMICA INVERSA



$$\ddot{\tau} = M(\bar{q}) \ddot{\tau}' + C(\bar{q}, \dot{\bar{q}}) + G(\bar{q})$$

CONTROLORE

Eguagli le due equazioni

$$M(\ddot{q})\ddot{q} + C(\dot{\bar{q}}, \ddot{q}) + G(\bar{q}) = M(\ddot{q})\ddot{z}' + C(\dot{\bar{q}}, \ddot{q}) + G(\bar{q})$$

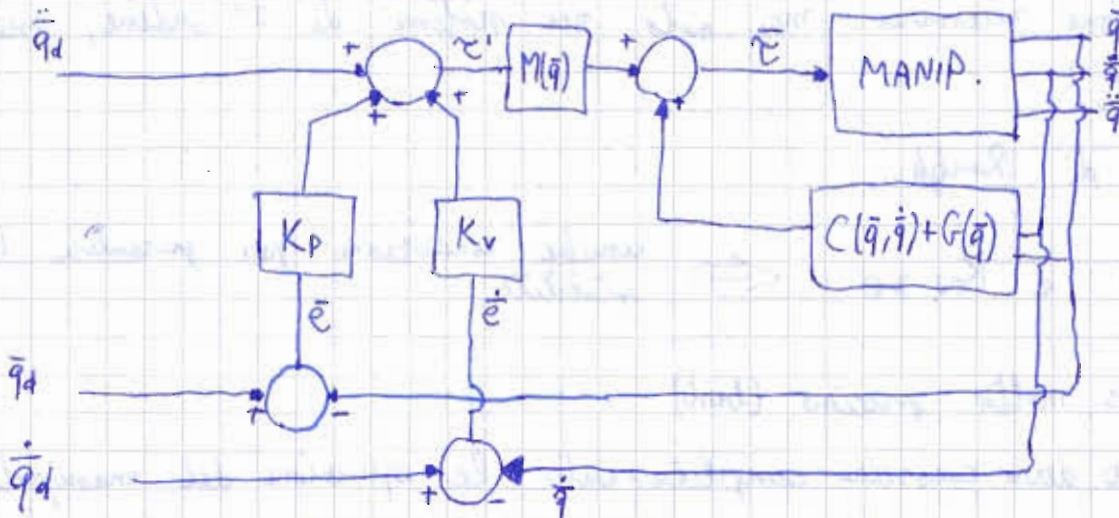
↑
sempre definita positiva ($\text{Re}(\text{eig}) > 0$), quindi è invertibile

$$\underbrace{M^{-1}(\ddot{q})M(\ddot{q})}_{\text{Id}}\ddot{q} = \underbrace{M^{-1}(\ddot{q})M(\ddot{q})}_{\text{Id}}\ddot{z}' \Rightarrow \boxed{\ddot{q} = \ddot{z}'}$$

Il legame tra il nuovo ingresso \ddot{z}' e le uscite è diventato perfettamente lineare. Quindi, cambiando z' si modifica solo \ddot{q} , \Rightarrow DISACCOPPIAMENTO

$$\ddot{z}' = \ddot{\bar{q}}_d + K_v \dot{\bar{e}} + K_p \bar{e} \text{ annulla l'errore di inseguimento.}$$

SISTEMA COMPLESSIVO



$$\begin{cases} \ddot{z}' = \ddot{\bar{q}} \\ \ddot{z}' = \ddot{\bar{q}}_d + K_v \dot{\bar{e}} + K_p \bar{e} \end{cases} \Rightarrow \ddot{\bar{q}} = \ddot{\bar{q}}_d + K_v \dot{\bar{e}} + K_p \bar{e} \Rightarrow \underbrace{\ddot{\bar{q}}_d - \ddot{\bar{q}}}_{\ddot{e}} + K_v \dot{\bar{e}} + K_p \bar{e} = 0$$

$$\Rightarrow \ddot{\bar{e}} + K_v \dot{\bar{e}} + K_p \bar{e} = 0$$

K_p e K_v sono le stesse matrici diagonali viste in precedenza. Pertanto le equazioni sono tutte disaccoppiate.

$$\ddot{\bar{e}}_i + K_{v,i} \dot{\bar{e}}_i + K_{p,i} \bar{e}_i = 0$$

Ogni equazione e gli errori che compiono riguardano solamente quell'giunto

L'errore a regime tende a 0? Guardo la trasformata di Laplace.

$$s^2 E_i(s) - s e_i(0) - \dot{e}_i(0) + K_{vi} [s E_i(s) - e_i(0)] + K_{pi} E_i(s) = 0$$

$$E_i(s) [s^2 + K_{vi} s + K_{pi}] = \dot{e}_i(0) + e_i(0) [s + K_{vi}]$$

$$E_i(s) = \frac{\dot{e}_i(0) + e_i(0) \cdot [K_{vi} + s]}{s^2 + K_{vi} s + K_{pi}}$$

TRASFORMATA DI LAPLACE DELL'ERRORE

Studio la stabilità: se i modi del sistema sono asintoticamente stabili, si usa il CRITERIO DI ROUGH:

1) Verifico che i reuni del denominatore siano tutti dello stesso segno.

Condizione necessaria $m_2 > 0$, nota per sistemi di 2° ordine, anche sufficiente!

2) Tabella di Rough...

$K_{vi} > 0$ e $K_{pi} > 0 \iff$ uniche condizioni per garantire la stabilità.

VANTAGGI \rightarrow molto preciso (bent)

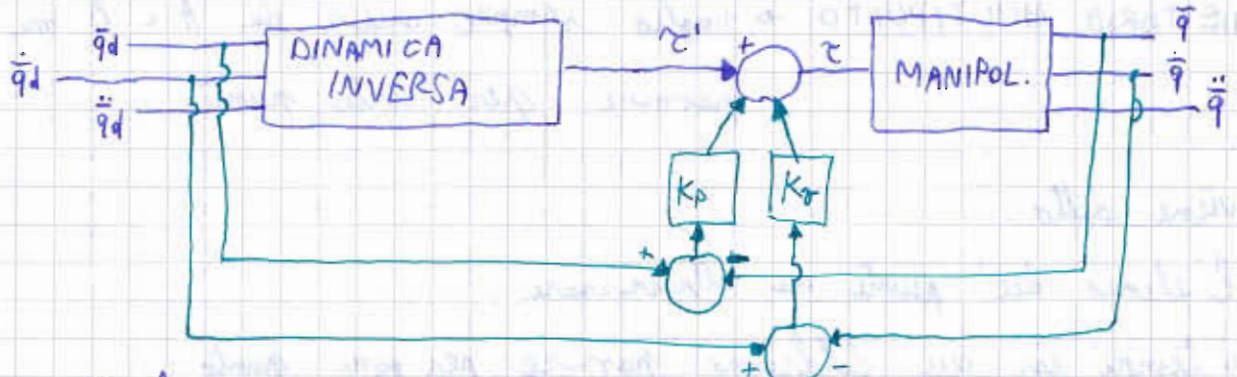
SVANTAGGI \rightarrow devo conoscere completamente le equazioni del manipolatore, matrici complesse da calcolare in ogni istante

CONTROLLO A COPPIA PRECALCOLATA

Evita il calcolo in linea delle dinamica inversa del manipolatore, a scapito di un lieve peggioramento della precisione:

$$\ddot{\bar{x}} = M(\bar{q}) \ddot{\bar{q}} + C(\bar{q}, \dot{\bar{q}}) + G(\bar{q}) \quad \text{MANIPOLATORE}$$

$$\ddot{\bar{x}} = M(\bar{q}_d) \ddot{\bar{q}}_d + C(\bar{q}_d, \dot{\bar{q}}_d) + G(\bar{q}_d)$$



Il problema è che non conosce
precisamente le equazioni del
manipolatore a causa del ritardo,
per cui $\bar{q}, \dot{\bar{q}}, \ddot{\bar{q}}$ saranno diverse
da quelle imposte \Rightarrow AGGIUNGO IL FEED BACK!

VANTAGGI \rightarrow i calcoli "perenti" li posso fare fuori linea

SVANTAGGI \rightarrow le equazioni non sono più disaccoppiate e lineari e, quindi,
agendo su un giunto si hanno minime ripercussioni anche
sugli altri.

$$\begin{cases} z' = M(\bar{q}_d) \ddot{\bar{q}}_d + C(\bar{q}_d, \dot{\bar{q}}_d) + G(\bar{q}_d) \\ z = z' + k_p \bar{e} + k_v \dot{\bar{e}} \end{cases}$$

CONTROLORE

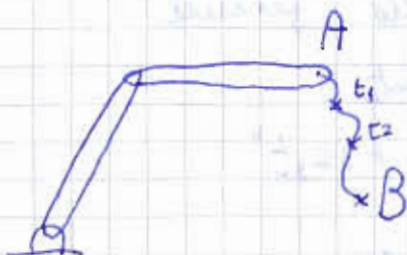
$$M(\bar{q}) \ddot{\bar{e}} + K_v \dot{\bar{e}} + K_p \bar{e} = 0$$

\downarrow
non diagonale

PIANIFICAZIONE DI TRAIETTORIE

$$\bar{q}_d(t) = \text{SET POINT}$$

Voglio portare il manipolatore
dal punto A al punto B
(TRAIETTORIA PUNTO-PUNTO)



TRAETTORIA MULTIPUNTO \rightarrow voglio sempre andare da A a B ma devo passare per altri punti.

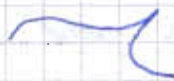
Gi viene detto:

- l'elenco dei punti da attraversare
- i tempi in cui dobbiamo passare per ogni punto.

La pianificazione si può fare

- nello spazio dei giunti (più facile)
- nello spazio operativo

La traiettoria deve essere più morbida possibile, senza "cuspidi" che accorciano la vita del manipolatore e rendono difficile il lavoro del controllore.



PIANIFICAZIONE PUNTO-PUNTO MEDIANTE SPLINE CUBICHE

$$\begin{array}{ccc} {}^B_T T(0) & \xrightarrow{\hspace{2cm}} & {}^B_T T(t_f) \\ \text{cinematica inversa} \downarrow & & \downarrow \\ \bar{q}_0 = \begin{bmatrix} q_{01} \\ q_{02} \\ \vdots \\ q_{0N} \end{bmatrix} & \xrightarrow{\hspace{2cm}} & \bar{q}_{t_f} = \begin{bmatrix} q_{t_f 1} \\ q_{t_f 2} \\ \vdots \\ q_{t_f N} \end{bmatrix} \end{array}$$

Faccio una pianificazione per ogni giunto

$$q_d(t) = q_0 + q_1 t + q_2 t^2 + q_3 t^3$$

SPLINE CUBICA (polinomio di 3° grado)

traiettoria che voglio generare

→ conosco le derivate

$$\dot{q}_d(t) = q_1 + 2q_2 t + 3q_3 t^2$$

$$\ddot{q}_d(t) = 2q_2 + 6q_3 t$$

$$\left\{ \begin{array}{l} q_d(0) = q_0 \leftarrow \text{uno di questi} \\ q_d(t_f) = q_f \leftarrow \text{uno di questi} \\ \dot{q}_d(0) = 0 \quad \text{parto da fermo} \\ \dot{q}_d(t_f) = 0 \quad \text{arrivo fermo} \end{array} \right.$$

$$\left\{ \begin{array}{l} q_0 = q_0 \\ q_0 + a_1 t_f + a_2 t_f^2 + a_3 t_f^3 = q_f \\ q_1 = 0 \\ q_1 + 2a_2 t_f + 3a_3 t_f^2 = 0 \end{array} \right. \quad \begin{array}{l} \leftarrow \text{già trovato!} \\ \leftarrow \text{già trovato!} \end{array}$$

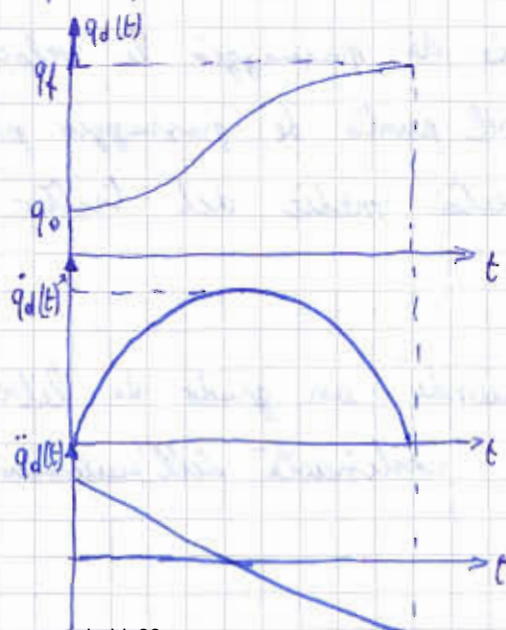
$$\left\{ \begin{array}{l} q_0 = q_0 \\ q_1 = 0 \\ q_f - q_0 = a_2 t_f^2 + a_3 t_f^3 \\ 0 = 2a_2 t_f + 3a_3 t_f^2 \end{array} \right. \rightsquigarrow \left\{ \begin{array}{l} q_0 = q_0 \\ q_1 = 0 \\ q_2 = -\frac{3a_3 t_f^4}{2t_f} \\ q_f - q_0 = -\frac{3}{2} a_3 t_f^3 + a_3 t_f^3 \end{array} \right.$$

$$\left\{ \begin{array}{l} q_3 = \frac{2(q_0 - q_f)}{t_f^3} \\ a_2 = -\frac{3}{2} t_f \cdot \frac{2(q_0 - q_f)}{t_f^3} = -\frac{3(q_0 - q_f)}{t_f^2} \end{array} \right.$$

Risultando:

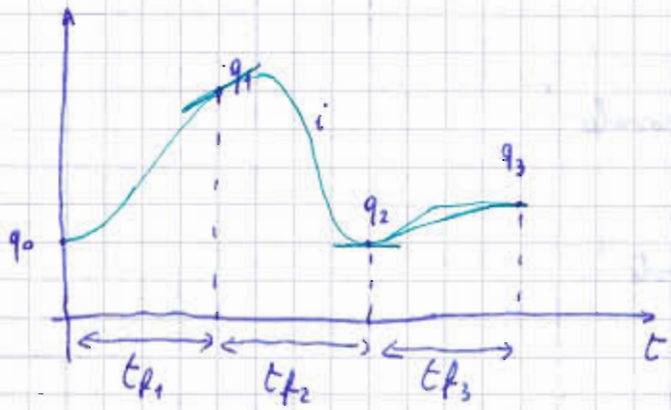
$$\boxed{\begin{array}{l} q_0 = q_0 \\ q_1 = 0 \\ q_2 = \frac{3(q_f - q_0)}{t_f^2} \\ q_3 = -\frac{2(q_0 - q_f)}{t_f^3} \end{array}}$$

Ho pianificato la mia traiettoria.



Ecco si chiede di calcolare l'istante di tempo in cui la velocità è massima.

TRAIETTORIE MULTIPUNTO



Mi ricordo che dove fare traiettorie dolci. Per farlo, impongo che la velocità di arrivo in un punto sia uguale alla velocità di partenza da quel punto per andare verso il successivo.

$$\begin{cases} q_d(0) = q_i \\ q_d(t_{fin}) = q_{i+1} \\ \dot{q}_d(0) = \dot{q}_i \\ \dot{q}_d(t_{fin}) = \dot{q}_{i+1} \end{cases}$$

Come le calcolo? Ci sono vari metodi:

1) L'utente ci dà la velocità che vuole nello spazio operativo ($\bar{v} = J_g(\bar{q}) \dot{\bar{q}}$)

$$\boxed{\dot{\bar{q}} = J_g^{-1}(\bar{q}) \bar{v}}$$

2) Se c'è un'inversione di velocità, nel punto di passaggio la velocità la prendo nulla. Se non c'è inversione, nel punto di passaggio prendo come velocità la media delle due velocità medie del tratto precedente e successivo.

3) Non impongo velocità di passaggio; ho quindi un grado di libertà in più che mi gioco imponendo la continuità dell'accelerazione che mi dà curve ancora più dolci.

ESEMPIO: $\theta_0 \xrightarrow{t_{F_1}} \theta_v \xrightarrow{t_{F_2}} \theta_f$ devo pianificare le traiettorie

$$\theta_1(t) = \theta_{10} + \alpha_{11}t + \alpha_{12}t^2 + \alpha_{13}t^3$$

$$\theta_2(t) = \theta_{20} + \alpha_{21}t + \alpha_{22}t^2 + \alpha_{23}t^3$$

8 incognite \Rightarrow 8 equazioni

$$\left\{ \begin{array}{l} \theta_1(0) = \theta_{10} = \theta_0 \\ \dot{\theta}_1(t_{F_1}) = \theta_v \end{array} \right.$$

$$\theta_2(0) = \theta_v$$

il tempo si riadatta ad ogni passaggio da un punto di passaggio

$$\theta_2(t_{F_2}) = \theta_f$$

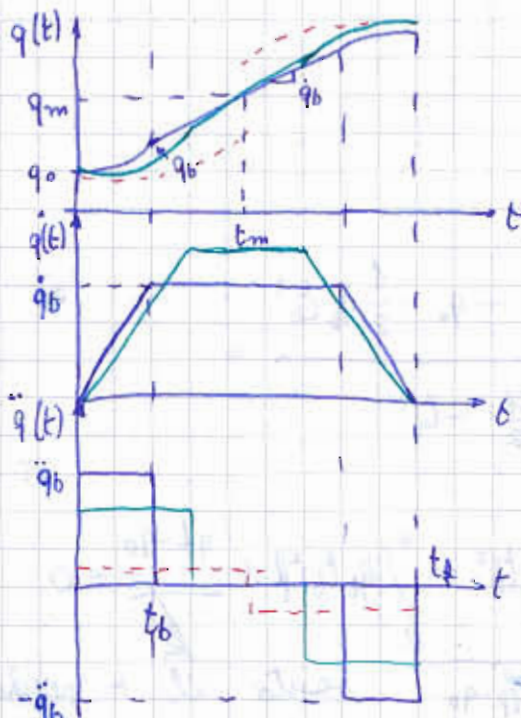
$$\ddot{\theta}_1(0) = 0$$

$$\dot{\theta}_2(t_{F_2}) = 0 \text{ velocità finale nulla}$$

$$\dot{\theta}_1(t_{F_1}) = \dot{\theta}_2(0) \text{ impongo continuità velocità}$$

$$\ddot{\theta}_1(t_{F_1}) = \ddot{\theta}_2(0) \text{ impongo continuità nell'accelerazione}$$

TRAIETTORIE LINEARI - QUADRATICHE



altro caso

Integrale della velocità:



Integrale dell'accelerazione



Impongo l'accelerazione

le parabole non si intersecano più.

$$1) 0 \leq t \leq t_b$$

$$\ddot{q}(t) = \ddot{q}_b$$

$$\dot{q}(t) = \dot{q}'_0 + \int_0^t \ddot{q}(\tau) d\tau = \ddot{q}_b \cdot t$$

$$q(t) = q_0 + \int_0^t \dot{q}(\tau) d\tau = q_0 + \ddot{q}_b \cdot \frac{t^2}{2}$$

$$2) t_b \leq t \leq t_f - t_b : \quad \ddot{q}(t) = 0$$

$$\dot{q}(t) = \dot{q}_b + \int_{t_b}^t \ddot{q}(t') dt' = \dot{q}_b$$

$$q(t) = q_b + \int_{t_b}^t \dot{q}(t') dt' = q_b + \dot{q}_b(t-t_b) = q_0 + \frac{1}{2} \ddot{q}_b t_b^2 + \dot{q}_b t_b (t-t_b) =$$

$$= q_0 - \frac{1}{2} \ddot{q}_b t_b^2 + \dot{q}_b t_b$$

$$3) t_f - t_b \leq t \leq t_f : \quad \ddot{q}(t) = -\ddot{q}_b$$

$$\dot{q}(t) = -\ddot{q}_b(t-t_f)$$

$$q(t) = q_f - \frac{1}{2} \ddot{q}_b (t-t_f)^2$$

Si ricavano dagli integrali simili
e prima o guardando le
equazioni viste prima

q_0, q_f, t_f sono noti (dati del problema). Mi mancano \ddot{q}_b, t_b e \dot{q}_b .
Uno di questi lo devo fissare (di solito l'accelerazione) e gli altri due
li trovo automaticamente: $\ddot{q}_b t_b = \dot{q}_b$

$q_m \rightarrow$ metà traiettoria

$$t_m = \frac{t_f}{2} \text{ essendo la traiettoria simmetrica}$$

$$q_m = \frac{q_f + q_0}{2}$$

$$\dot{q}_b = \frac{q_m - q_b}{t_m - t_b} \Rightarrow \ddot{q}_b t_b = \frac{q_m - q_b}{t_m - t_b} = \frac{\frac{q_0 + q_f}{2} - q_b - \frac{1}{2} \ddot{q}_b t_b^2}{\frac{t_f}{2} - t_b} =$$

fine tratta
parabolico

$$\ddot{q}_b t_b \frac{t_f}{2} - \ddot{q}_b t_b^2 = \frac{q_f}{2} - \frac{q_0}{2} - \frac{1}{2} \ddot{q}_b t_b^2 \Rightarrow \frac{1}{2} \ddot{q}_b t_b^2 - \frac{1}{2} \ddot{q}_b t_b t_f + \frac{q_f - q_0}{2} = 0$$

$$t_b = \frac{\ddot{q}_b t_f \pm \sqrt{\ddot{q}_b^2 t_f^2 - 4 \ddot{q}_b (q_f - q_0)}}{2 \ddot{q}_b} = \frac{t_f}{2} \pm \sqrt{\frac{t_f^2}{4} - \frac{q_f - q_0}{\ddot{q}_b}}$$

scarto il + perché
 t_b sicuramente $< \frac{t_f}{2}$

$$t_b = \frac{t_f}{2} - \sqrt{\frac{t_f^2}{4} - \frac{q_f - q_0}{\ddot{q}_b}}$$

Se $\ddot{q}_b \rightarrow$ calcolo $t_b \rightarrow$ calcolo $\dot{q}_b = \ddot{q}_b t_b$.

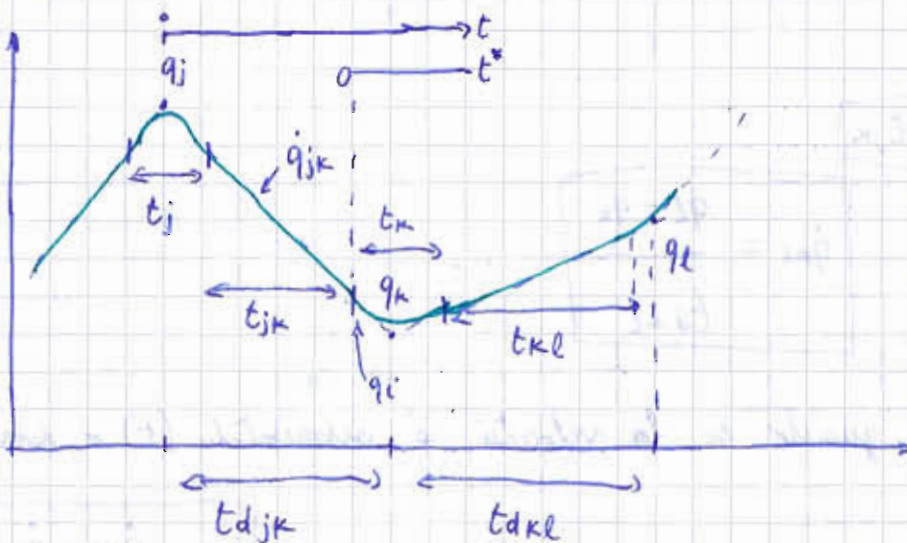
La soluzione del problema esiste se $\Delta \geq 0$, ovvero che:

$$\frac{t_f^2}{4} - \frac{q_f - q_0}{\ddot{q}_b} \geq 0 \quad \frac{t_f^2}{4} \geq \frac{q_f - q_0}{\ddot{q}_b}$$

$$\ddot{q}_b \geq 4 \frac{q_f - q_0}{t_f^2}$$

dove scegliere piccolo per evitare oscillazioni.
Ma non basta.

PIANIFICAZIONE MULTIPUNTO LINEARE-QUADRATICA



In questo caso NON PASSO per q_j , q_k , q_l seppure mi ci avvicini molto. Sono noti $|\ddot{q}_j|$, $|\ddot{q}_{kl}|$ e $|\ddot{q}_{lk}|$, il resto è incognito.

1) $\frac{t_j}{2} \leq t \leq \frac{t_j}{2} + t_{jk}$ tratto rettilineo

$$\ddot{q}(t) = 0$$

$$\dot{q}(t) = \dot{q}_{jk}$$

$$q(t) = q_j + \int_0^t \dot{q}(x) dx = q_j + \dot{q}_{jk} t$$

2) $t^* = t - \frac{t_j}{2} - t_{jk}$

$$\frac{t_j}{2} + t_{jk} \leq t \leq t_{djk} + \frac{t_k}{2}$$

tratto parabolico

$$\ddot{q}(t) = \ddot{q}_k \text{ costante}$$

$$\dot{q}(t) = \dot{q}_{jk} + \int_0^{t^*} \ddot{q}(x) dx = \dot{q}_{jk} + \ddot{q}_k t^*$$

$$q(t) = q_j + \int_0^{t^*} \dot{q}(x) dx = q_j + \int_0^{t^*} (\dot{q}_{jk} + \ddot{q}_k x) dx = q_j + \dot{q}_{jk} t^* + \frac{1}{2} \ddot{q}_k t^{*^2}$$

$$q_i = q_j + \dot{q}_{jk} \cdot t = q_j + \dot{q}_{jk} \left(\frac{t}{2} j + t_{jk} \right)$$

$$q(t) = q_j + \dot{q}_{jk} \left(\frac{t}{2} j + t_{jk} \right) + \dot{q}_{jk} \left(t - \frac{t}{2} j - t_{jk} \right) + \frac{1}{2} \ddot{q}_k \left(t - \frac{t}{2} j - t_{jk} \right)^2$$

$$\begin{cases} q(t) = q_j + \dot{q}_{jk} t + \frac{1}{2} \left(t - \frac{t}{2} j - t_{jk} \right)^2 \end{cases}$$

$$\dot{q}(t) = \dot{q}_{jk} + \ddot{q}_k \left(t - \frac{t}{2} j - t_{jk} \right)$$

$$\ddot{q}(t) = \ddot{q}_k$$

Non conosco $\ddot{q}_k, \dot{q}_{jk}, t_j, t_{jk}$

$$\dot{q}_{jk} = \frac{\Delta q}{\Delta t} = \frac{q_k - q_j}{t_{djk}}$$

$$\dot{q}_{kl} = \frac{q_l - q_k}{t_{dkl}}$$

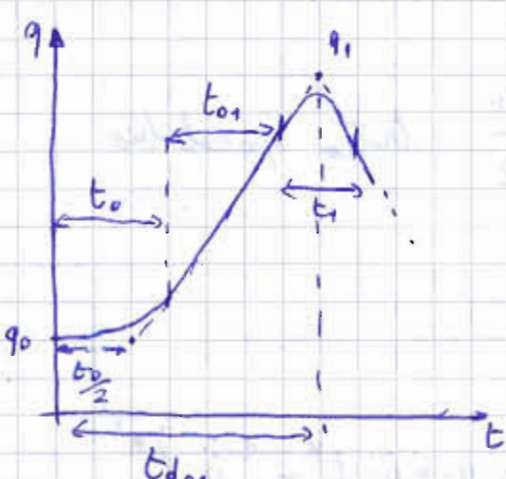
$\ddot{q}_k = |\ddot{q}_k| \operatorname{sgn}(\dot{q}_{kl} - \dot{q}_{jk})$, guardo se la velocità è aumentata (+) o diminuita (-)

Alla fine del tratto parabolico avrà: $\dot{q}_{kl} = \dot{q}_{jk} + \ddot{q}_k t_k \Rightarrow t_k = \frac{\dot{q}_{kl} - \dot{q}_{jk}}{\ddot{q}_k}$ stesso modo per t_j

$$t_{jk} = t_{djk} - \frac{t_j}{2} - \frac{t_k}{2}$$

Non resto ora che fare i calcoli per il primo e l'ultimo punto.

Per quanto riguarda il primo punto, fino un punto distante 2/12/09



t_0 da q_0 .

$$1) \dot{q}(t) = \ddot{q}_0$$

$$\dot{q}(t) = \ddot{q}_0 t$$

$$q(t) = q_0 + \frac{1}{2} \ddot{q}_0 t^2$$

Conosco $q_0, q_1, t_{d01}, |\ddot{q}_0|$ per $t \in [0, t_0]$

$\ddot{q}_0 = |\ddot{q}_0| \cdot \text{sign}(q_1 - q_0)$ perché sono fermo e se voglio arrivare a q_1 devo accelerare.

$$\dot{q}_{01} = \frac{\Delta q}{\Delta t} = \frac{q_1 - q_0}{t_{d01} - \frac{t_0}{2}} = \ddot{q}_0 t_0 \Rightarrow q_1 - q_0 = \ddot{q}_0 t_{d01} t_0 - \frac{1}{2} \ddot{q}_0 t_0^2$$

$$\ddot{q}_0 t_0^2 - 2 \ddot{q}_0 t_{d01} t_0 + 2(q_1 - q_0) = 0$$

$$t_0 = \frac{\ddot{q}_0 t_{d01} \pm \sqrt{\ddot{q}_0^2 t_{d01}^2 - 2 \ddot{q}_0^2 (q_1 - q_0)}}{\ddot{q}_0} = t_{d01} \pm \sqrt{t_{d01}^2 - \frac{2(q_1 - q_0)}{\ddot{q}_0}}$$

Essendo $t_0 < t_{d01}$ come si vede dalla figura il + lo posso scartare

$$t_0 = t_{d01} - \sqrt{t_{d01}^2 - \frac{2(q_1 - q_0)}{\ddot{q}_0}}$$

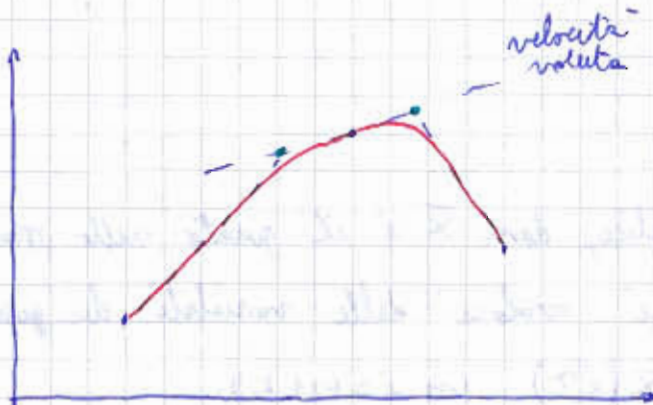
$$\dot{q}_{01} = \ddot{q}_0 t_0$$

$$t_{01} = t_{d01} - t_0 - \frac{t_1}{2}$$

$$t_1 = \frac{\Delta V}{\Delta a}$$
 come l'altra volta.

Per il punto finale il ragionamento è lo stesso.

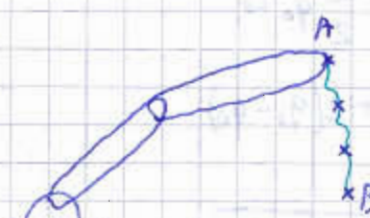
- Il difetto di queste traiettorie è che non passo per i punti di via, ma ci sono alcune situazioni in cui questo non mi va bene.



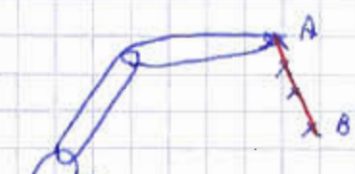
aggiungo due punti auxiliari e poi procedo come fino ad ora passo per il punto voluto e non per quelli auxiliari

PIANIFICAZIONE NELLO SPAZIO OPERATIVO

Nello spazio dei giunti ho il punto iniziale, quello finale e qualche punto di via. Con la cinematica inversa ricavo i corrispondenti punti nello spazio dei giunti e pianifico giunto per giunto. Quando il robot si muoverà, mi viene assicurato il percorso o la vicinanza per i punti, ma in mezzo non so cosa farò.



Nei casi in cui è importante la forma della traiettoria, devo pianificare direttamente nello spazio operativo, ma è più complesso.

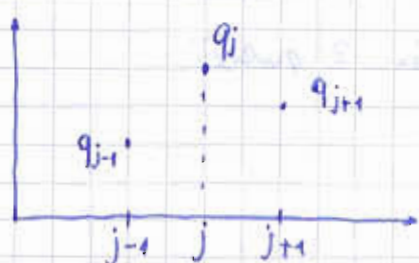


L'utente mi assegna ${}^B T(0)$ e ${}^B T(t_f)$. Voglio sapere ${}^B T(t)$ per $t \in [0, t_f]$. Quello che mi fa operativamente è passare da ${}^B T(0)$ e ${}^B T(t_f)$ alle informazioni nello spazio operativo.

$$\begin{array}{ccc} {}^B T(0) & {}^B T(t_f) & \\ \downarrow & \downarrow & \\ \bar{x}_0 = \begin{bmatrix} x_0 \\ y_0 \\ z_0 \\ \alpha_0 \\ \beta_0 \\ \gamma_0 \end{bmatrix} & \bar{x}_{t_f} = \begin{bmatrix} x_{t_f} \\ y_{t_f} \\ z_{t_f} \\ \alpha_{t_f} \\ \beta_{t_f} \\ \gamma_{t_f} \end{bmatrix} & \begin{array}{l} B \rightarrow \text{Base Frame} \\ T \rightarrow \text{Tool Frame} \end{array} \end{array}$$

Mi calcolo $\bar{x}(t)$ che è più semplice, dove \bar{x} è il punto nello spazio operativo. Ma a me servono i valori delle variabili di giunto! Allora DISCRETIZZO: calcolo $\bar{x}(i\tau)$ con $i=0, 1, 2, 3, \dots$
e $\tau = \text{TEMPO DI SAMPLING}$ (tipicamente 1ms)

Poi, trasduco $\bar{x}(i\tau)$ in $\bar{q}_d(i\tau)$, cioè punti nello spazio dei giunti, risolvendo il problema di cinematica inversa. E qui sta il problema computazionale! Dovrò fare migliaia di conversioni (e ogni ms). Inoltre, per i controllori mi serve sapere anche $\dot{\bar{q}}_d(i\tau)$ e $\ddot{\bar{q}}_d(i\tau)$, ma per come ho riservato $\bar{q}_d(i\tau)$ non ho una funzione analitica da derivare. Dovrò quindi dedurre l'equazione della velocità, stimandola



con il rapporto incrementale:

$$\dot{\bar{q}}_d = \frac{\bar{q}_d(i\tau) - \bar{q}_d[(i-1)\tau]}{\tau}$$

Il problema è che, a causa del rumore, il

segna oscillerà e questo dà fastidio al controllore.

Lo stesso vale per l'accelerazione, che sarà ancora più rumorosa approssimando un segnale già approssimato!

$$\ddot{\bar{q}}_d = \frac{\dot{\bar{q}}_d(i\tau) - \dot{\bar{q}}_d[(i-1)\tau]}{\tau}$$

Potrò evitare le approssimazioni calcolando i valori precisi di $\dot{\bar{q}}_d$ (velocità), ma dovrò fare molti più calcoli. Essendo $\bar{x}(t)$ una equazione matematica nota le posso derivare:

$\bar{x}(t) \rightarrow \bar{x}(i\tau) \rightarrow \bar{q}_d(i\tau) \rightarrow \dot{\bar{q}}_d, \ddot{\bar{q}}_d$ approssimati

$$\dot{\bar{x}}(t) \rightarrow \dot{\bar{x}}(i\tau) \rightarrow \dot{\bar{q}}_d = J_x^{-1}(\bar{q}) \dot{\bar{x}} \rightarrow \ddot{\bar{q}}_d = \frac{\dot{\bar{q}}_d(i\tau) - \dot{\bar{q}}_d[(i-1)\tau]}{\tau}$$

Jacobiano
analitico

È lungo da calcolare

Rimane un problema: come calcolare $\bar{x}(t)$.

Ci sono vari modi, noi vediamo alcuni così particolari:

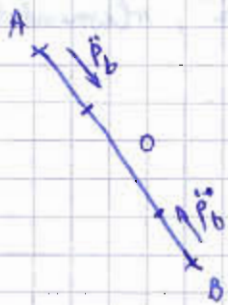
$$\vec{x}(t) = \begin{bmatrix} x(t) \\ y(t) \\ z(t) \\ \dot{x}(t) \\ \dot{y}(t) \\ \dot{z}(t) \end{bmatrix}$$

coordinate direzione (x, y, z)

diviso in due parti:

coordinate orientamento (α, β, γ)

1° CASO \rightarrow traiettoria rettilinea



Mostra la pianificazione lineare quadratica. Come al solito dividere il movimento in 3 parti.

- 1) accelerazione = \ddot{P}_b
- 2) accelerazione nulla
- 3) accelerazione = $-\ddot{P}_b$

Il "problema" è che questa volta pianifica tutte le componenti assieme.

PIANIFICAZIONE VETTORIALE.

$$1) \ddot{\vec{P}}(t) = \ddot{P}_b$$

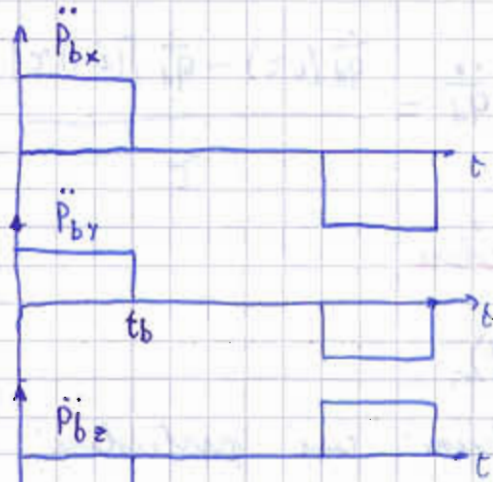
$$\dot{\vec{P}}(t) = \ddot{P}_b \cdot t$$

Come prima

$$\vec{P}(t) = \vec{P}_A + \frac{1}{2} \ddot{\vec{P}}_b t^2 = \begin{bmatrix} x_A \\ y_A \\ z_A \end{bmatrix} + \frac{1}{2} \begin{bmatrix} \ddot{P}_{bx} \\ \ddot{P}_{by} \\ \ddot{P}_{bz} \end{bmatrix} t^2$$

Come vincolo ho la direzione dell'accelerazione imposta \ddot{P}_b , che deve essere da A verso B.

Stesse equazioni per 2) e 3).

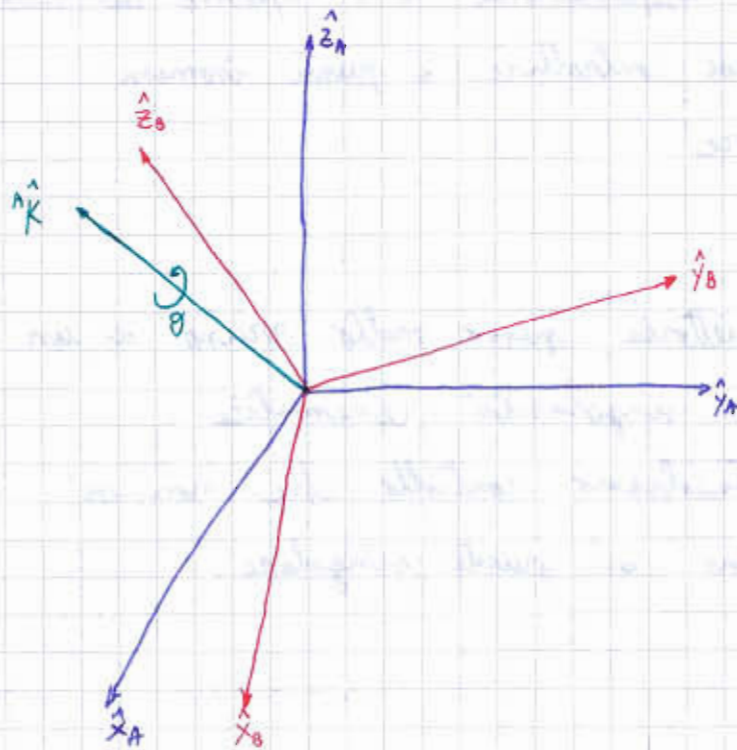


Se invece di negligenza \ddot{P}_b scegliessi la durata effettiva del tratto iniziale t_b

$$t_b \rightarrow \ddot{P}_b, \dot{\vec{P}}_b$$

Faccio la pianificazione scalare per le tre componenti e ottengo un vettore diretto proprio di A e B.

2° CASO → pianifico le traiettorie



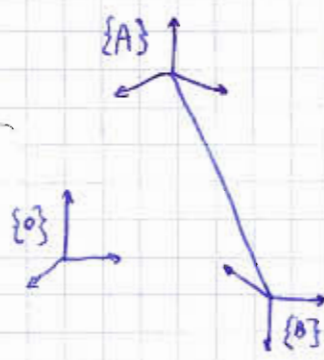
$${}^A\dot{K} = \partial {}^A\hat{K}$$

$${}^A\dot{b} = (\theta + 2\pi) {}^A\hat{K}$$

NOTAZIONE ASSE-ANGOLI

Quanto vale $R({}^A\hat{K})$ e quanto vale $R({}^A\dot{b})$? $R({}^A\hat{K}) = R({}^A\dot{b})$

Stesso orientamento \Rightarrow stesse matrici di rotazione



Quando arrivavo a {B} potevo arrivarci ruotando di θ o di $\theta + i2\pi$.

$$\begin{array}{c} j \\ \curvearrowleft \end{array} \quad \theta$$

$$\begin{array}{c} i \\ \curvearrowleft \end{array} \quad \theta + i2\pi$$

In generale vorrei il minor movimento possibile. Ma non sempre, se scelgo θ ho il movimento minimo.

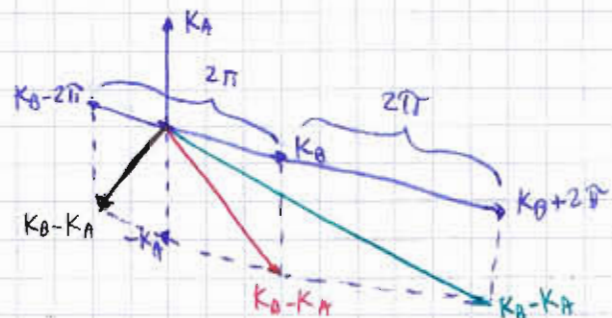
Vediamo $\|{}^B\dot{K}_B - {}^A\dot{K}_A\|$

$$\|{}^B\dot{K}_B - {}^A\dot{K}_A\| < \|{}^B\dot{K}_B - {}^A\dot{K}_B\| < \|{}^B\dot{K}_B - {}^A\dot{K}_A\|$$

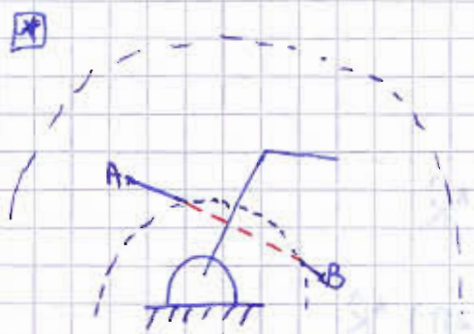
$$\uparrow \\ \theta - 2\pi$$

$$\uparrow \\ \theta$$

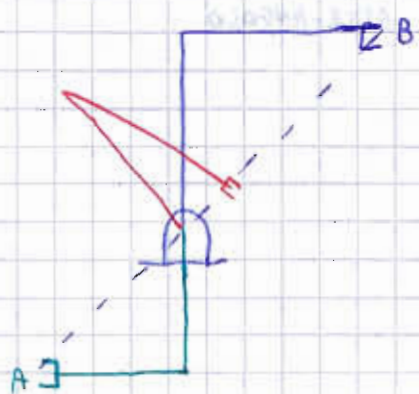
$$\uparrow \\ \theta + 2\pi$$



PROBLEMI DELLA PIANIFICAZIONE NELLO SPAZIO OPERATIVO



Traiettorie non possibili perché attraversano punti non appartenenti allo spazio di lavoro.
Dove quindi controllare i punti immutati dall'operatore



Con le traiettorie passa molto vicino a un punto di singolarità cinematica.
Con lo Jacobiano controllo che non si passi vicino ai punti singolari.